

11-168

АЗЭРБАЙЧАН ССР ЕЛМЛЭР АКАДЕМИЈАСЫ
АКАДЕМИЯ НАУК АЗЕРБАЙДЖАНСКОЙ ССР

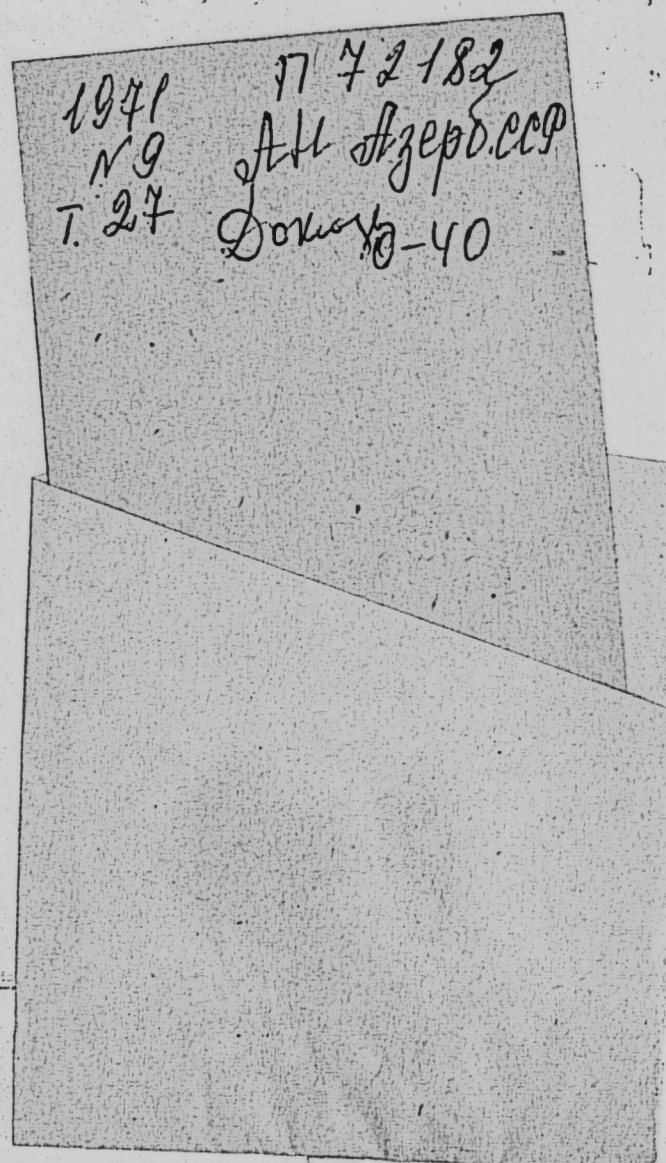
МЭРГҮЗЭЛЭР ДОКЛАДЫ

ТОМ XXVII ЧИЛД

9

«ЕЛМ» НЭШРИЛТАЫ
ИЗДАТЕЛЬСТВО «ЭЛМ»
БАКЫ—1971—БАКУ

АЗЭРБАЙЧАН ССР ЕЛМЛЭР АКАДЕМИЈАСЫ
АКАДЕМИЯ НАУК АЗЕРБАЙДЖАНСКОЙ ССР



МӘРУЗӘЛӘР ДОКЛАДЫ

ТОМ XXVII ЧИЛД

№ 9

ЕЛМ НЭШРИЈАТЫ
ИЗДАТЕЛЬСТВО "ЭЛМ"
БАКЫ - 1971 - БАКУ

Академия наук Азербайджанской ССР
Азәрбайҹан ССР Елмләр Академијасы

УДК. 517.246.9

МАТЕМАТИКА

К. И. ХУДАВЕРДИЕВ

ИССЛЕДОВАНИЕ СМЕШАННОЙ ЗАДАЧИ ДЛЯ ОДНОГО
КЛАССА ГИПЕРБОЛИЧЕСКИХ УРАВНЕНИЙ ВТОРОГО
ПОРЯДКА С НЕЛИНЕЙНОЙ ОПЕРАТОРНОЙ ПРАВОЙ ЧАСТЬЮ

(Представлено академиком АН Азербайджанской ССР А. И. Гусейновым)

В работе исследуется следующая одномерная смешанная задача:

$$\frac{\partial^2 u}{\partial t^2} - \frac{\partial^2 u}{\partial x^2} = F(u), \quad (1)$$

$$u(t,0) = u(t,\pi) = 0, \quad u(0,x) = \varphi(x), \quad u_t(0,x) = \psi(x), \quad (2)$$

где $0 \leq t \leq T < +\infty$, $0 < x \leq \pi$, φ —заданные функции, а F —некоторый нелинейный оператор. Вводится понятие слабо обобщенного* решения задачи (1), (2); с помощью принципа ненулевого вращения (см. [1], стр. 207) и метода последовательных приближений доказываются теоремы существования слабо обобщенного решения задачи (1), (2), причем в последнем случае показывается, что последовательные приближения сходятся к точному (слабо обобщенному) решению задачи (1), (2) с факториальной скоростью по метрике ниже приводимого пространства B_T ; доказываются две теоремы единственности и одна теорема о непрерывной зависимости от начальных данных $\varphi(x)$, $\psi(x)$ и от оператора F слабо обобщенного решения задачи (1), (2).

Обозначим через B_T совокупность всех функций вида $u(t,x) = \sum_{n=1}^{\infty} u_n(t) \sin nx$, рассматриваемых в области $D_T = [0,T] \times [0,\pi]$, где

каждая из функций $u_n(t)$ непрерывна на отрезке $[0, T]$ и $I(u) = \sum_{n=1}^{\infty} (\max_{0 \leq t \leq T} |u_n(t)|)^2 < +\infty$. Норму в B_T определим так: $\|u(t,x)\|_{B_T} = \sqrt{I(u)}$.

Очевидно, что B_T —банахово пространство.

Слабо обобщенным решением задачи (1), (2) назовем функцию $u(t,x)$, принадлежащую пространству B_T , принимающую начальное зна-

* Результаты, полученные автором для обобщенного, сильно обобщенного, почти всюду и классического решений задачи (1), (2), будут опубликованы в следующих заметках автора.

РЕДАКЦИОННАЯ КОЛЛЕГИЯ: Г. Б.Абдуллаев (главный редактор), Ш. А. Азиз-
беков, Г. А. Алиев, В. Ю. Ахундов, В. Р. Волобуев, А. И. Гусейнов, М. А. Дадашзаде
(зам. главного редактора), М. А. Кашкай, С. Д. Мехтиев, М. А. Толчибашев, Г. Г. Зей-
налов (ответств. секретарь).

Адрес: г. Баку, Коммунистическая, 10. Редакция «Докладов Академии наук
Азербайджанской ССР».

п72182

Центральная научная
БИБЛИОТЕКА
Академия наук Киргизской ССР

значение, равное $\varphi(x)$, в смысле $L_2(0,\pi)$, и удовлетворяющую интегральному тождеству

$$\int_0^T \int_0^\pi |u \cdot (V_{tt} - V_{xx}) - F(u) \cdot V| dx dt + \int_0^\pi \varphi(x) \cdot V_t(0, x) dx - \int_0^\pi \psi(x) \cdot V(0, x) dx = 0$$

при любой функции $V(t,x)$, дважды непрерывно дифференцируемой в замкнутой области D_T и удовлетворяющей условиям:

$$V(t,0) = V(t,\pi) = V(T,x) = V_t(T,x) = 0 \quad (0 \leq t \leq T, 0 \leq x \leq \pi).$$

Легко доказывается следующая

Лемма. Если функция $u(t,x) = \sum_{n=1}^{\infty} u_n(t) \sin nx$ является слабо

обобщенным решением задачи (1), (2) и $F(u(t,x)) \in L(D_T)$, то функции $u_n(t)$ удовлетворяют следующей счетной системе нелинейных интегральных уравнений:

$$u_n(t) = \varphi_n \cos nt + \frac{\psi_n}{n} \sin nt + \frac{2}{n\pi} \int_0^t \int_0^\pi F(u)_{\xi\xi} \cdot \sin n\xi \sin n(t-\tau) d\xi d\tau \quad (n=1,2,3,\dots),$$

где $\varphi_n = \frac{2}{\pi} \int_0^\pi \varphi(x) \sin nx dx$, $\psi_n = \frac{2}{\pi} \int_0^\pi \psi(x) \sin nx dx$, а $F(u)_{\xi\xi}$ — значение

функции $F(u(t,x))$ при $t = \tau$, $x = \xi$.

Примем следующие обозначения:

$$W(t,x) = \sum_{n=1}^{\infty} \left(\varphi_n \cos nt + \frac{\psi_n}{n} \sin nt \right) \sin nx, \quad (4)$$

$$P(u(t,x)) = \sum_{n=1}^{\infty} \frac{2}{n\pi} \int_0^t \int_0^\pi u(\tau, \xi) \sin n\xi \sin n(t-\tau) d\xi d\tau \cdot \sin nx. \quad (5)$$

Наконец, приведем основные из полученных результатов.

Теорема 1. Пусть

1. $\varphi(x) \in L_2(0,\pi)$, $\psi(x) \in L_2(0,\pi)$.

2. $F = F_1 + F_2$, причем:

а) Оператор F_1 действует из пространства B_T в $L(D_T)$ непрерывно и для любого $u \in B_T$ $|F_1(u)|_{L(0,\pi)} \leq a_1(t) + a_2(t) \|u\|_{B_T}^2 + a_3(t) \|u\|_{B_T}$, где $a_i(t) \in L(0,T)$ ($i = 1, 2, 3$) и $0 < \alpha < 1$.

б) Оператор F_2 действует из некоторого шара $K(\|u\|_{B_T} \leq C)$ в $L(D_T)$ непрерывно и ограниченно, где

$$C > C_0 \equiv \max \{y : 0 \leq y \leq (A_1 + A_2 \cdot y^\alpha) A_3\}^*,$$

$$A_1 \equiv \|W(t,x)\|_{B_T} + \frac{2}{\sqrt{6}} \|a_1(t)\|_{L(0,T)}, \quad A_2 \equiv \frac{2}{\sqrt{6}} \|a_2(t)\|_{L(0,T)}, \quad A_3 \equiv \exp \left\{ \frac{2}{\sqrt{6}} \|a_3(t)\|_{L(0,T)} \right\},$$

а функция $W(t,x)$ определена соотношением (4).

в) Оператор $F_1 + F_2 = F$ действует из шара K в $L_2(D_T)$.

г) $\inf_{u \in S} (\|u - Q(u)\|_{B_T} - \|Q_2(u)\|_{B_T}) > 0$, (7)

где S — граница шара K , $Q_1(u) = W + P F_1(u)$, $Q_2(u) = P F_2(u)$, а оператор P определен соотношением (5).

Тогда задача (1), (2) имеет по крайней мере, одно слабо обобщенное решение.

* Очевидно, что множество всех таких y -ов ограничено и замкнуто.

Эта теорема доказывается с помощью принципа ненулевого вращения.

Теорема 2. Пусть

1. $\varphi(x) \in L_2(0,\pi)$, $\psi(x) \in L_2(0,\pi)$.

2. Оператор F действует из пространства B_T в $L(D_T)$, причем для любого $u \in B_T$ $|F(u)| \leq a(t) + b(t) \|u\|_{B_T}$, где $a(t), b(t) \in L(0,T)$.

3. Для любых $U, V \in K_0$ ($\|u\|_{B_T} \leq C_0$) $|F(u) - F(V)| \leq C(t) \|u - V\|_{B_T}$, где

$$C_0 = \left\{ \|W(t,x)\|_{B_T} + \frac{2}{\sqrt{6}} \|a(t)\|_{L(0,T)} \right\} \cdot \exp \left\{ \frac{2}{\sqrt{6}} \|b(t)\|_{L(0,T)} \right\}, \quad (8)$$

$c(t) \in L(0,T)$ и функция $W(t,x)$ определена соотношением (4).

4. Оператор F действует из K_0 в $L_2(L_T)$.

Тогда задача (1), (2) имеет единственное слабо обобщенное решение $u(t,x)$, которое может быть найдено методом последовательных приближений, исходя из точки $u \in B_T$, причем скорость сходимости последовательных приближений $u_n(t,x)$ к точному решению $u(t,x)$ характеризуется так:

$$\|u_n(t,x) - u(t,x)\|_{B_T} \leq C_0 \cdot \frac{\left\{ \frac{2}{\sqrt{6}} \|C(t)\|_{L(0,T)} \right\}^n}{n!} \quad (n=0,1,2,\dots). \quad (9)$$

Теорема 3. Пусть

1. Оператор F действует из пространства B_T в $L(D_T)$.

2. Для любых $u, V \in B_T$ $|F(u) - F(V)| \leq a(t) \cdot \|U - V\|_{B_T}$, где для каждого $\tau \in (0,T)$ существует такое $\delta(\tau)$ ($0 < \delta(\tau) \leq T - \tau$), что $a(t) \in L(\tau, \tau + \delta(\tau))$. Тогда задача (1), (2) не может иметь более одного слабо обобщенного решения.

Теорема 4. Пусть

1. Оператор F переводит каждую функцию $u(t,x) \in B_T$ в некоторую функцию $F(u(t,x))$ от переменных t, x , определенную почти всюду в L_T , причем для любых $u \in B_T$ и $\tau \in [0,T]$ существуют $\varepsilon = \varepsilon(u, \tau)$ ($0 \leq \varepsilon \leq 1$) и $\delta = \delta(u, \tau)$ ($0 < \delta \leq T - \tau$), такие, что

$$\sup_{S \in (\tau, \tau + \delta)} \left\{ \frac{\int_{\tau}^S \|F(u)\|_{L_2(0,\pi)}^2 dt}{(s - \tau)^{\varepsilon}} \right\} \equiv C(\tau, u, \varepsilon, \delta) < +\infty. \quad (10)$$

2. Для любых $U, V \in B_T$ почти всюду в $(0, T)$: $|F(U) - F(V)| \leq a_{U,V}(t) \cdot \|U - V\|_{B_T}$, (11)

где для любых $\tau \in [0,T]$ существуют такие $\sigma = \sigma(U, V, \tau)$ ($0 \leq \sigma \leq \min \{\varepsilon(U, \tau), \varepsilon(V, \tau)\}$) и $\eta = \eta(U, V, \tau)$ ($0 < \eta \leq T - \tau$), что

$$\frac{2}{3\pi} \sup_{S \in (\tau, \tau + \eta)} \left\{ (s - \tau)^{-\sigma} \cdot \int_{\tau}^S (t - \tau)^{3+\sigma} \cdot a_{U,V}^2(t) dt \right\} \equiv q(U, V, \tau, \sigma, \eta) < 1. \quad (12)$$

Тогда задача (1), (2) не может иметь более одного слабо обобщенного решения.

Замечание. Из (12) видно, что в отдельных точках (даже в счетном числе точек) множества $[0,T]$, в зависимости от локальных свойств $F(u)$ и $F(V)$, функция $a_{U,V}(t)$ может иметь справа особенность до второго порядка включительно, а в отдельных точках (даже в

счетном числе точек) множества $(0, T]$ функция $a_{u,v}(t)$ слева может иметь сколь угодно сильную особенность.

Теперь наряду с задачей (1), (2) рассмотрим и следующую задачу:

$$\frac{\partial^2 u}{\partial t^2} - \frac{\partial^2 u}{\partial x^2} = \tilde{F}(t), u(t, 0) = \psi(t), u_t(t, 0) = \varphi(t). \quad (13)$$

С помощью неравенства Р. Беллмана (см. [2], стр. 188—189) доказывается следующая

Теорема 5. Пусть

1. $\varphi(x), \tilde{\varphi}(x), \psi(x), \tilde{\psi}(x) \in L_2(0, \pi)$.
 2. Операторы F и \tilde{F} действуют из пространства B_T в $L_2(D_T)$.
 3. Для любых $u, V \in B_T$ и $t \in [0, T]$:

$$\|F(u) - F(V)\|_{L(0,\pi)} \leq a(t) \|u - V\|_{B_t}, \quad \|F(u) - \tilde{F}(V)\|_{L(0,\pi)} \leq \tilde{a}(t) \|u - V\|_{B_t},$$

onde $a(t)$, $\dot{a}(t) \in L(0, T)$.

$$4. \sup_{V \in B_T} |||F(V) - \tilde{F}(V)|||_L(D_T) < +\infty.$$

Тогда для единственных слабо обобщенных решений $u(t,x)$ и $\tilde{u}(t,x)$, соответственно задач (1), (2) и (13), имеет место неравенство:

$$\|u(t,x) - \tilde{u}(t,x)\|_{B_T} \leq \left\{ \sqrt{\frac{\frac{2}{\pi}}{\frac{2}{\pi}} \| \tilde{v}(x) - \tilde{\varphi}(x) \|_{L_1(0,\pi)} + \frac{2}{\sqrt{6}} \| \tilde{w}(x) - \tilde{\psi}(x) \|_{L_1(0,\pi)}} + \right. \\ \left. + \frac{2}{\sqrt{6}} \cdot \sup_{V \in B_T} \| |F(V) - \tilde{F}(V)| \|_{L(D_T)} \right\} \cdot \exp \left\{ \frac{2}{\sqrt{6}} \| a(t) \|_{L(0,T)} \right\}. \quad (14)$$

ЛИТЕРАТУРА

1. Справочная математическая библиотека. Функциональный анализ. Изд-во „Наука“, М., 1964. 2. Беккенбах Э., Беллман Р. Неравенства. „Мир“, М., 1965.

Поступило 29, IV 1970

К. И. Худавердијев

Бир синиф икинчи тәртиб, сағ тәрәфи гејри-хәтти оператор олан һиперболик типли тәнликләр үчүн гојулмуш гарышыг мәсәләнниң тәлгиги.

ХУДАСЕ

Мәгаләдә (1), (2) мәсәләсинин зәиф үмумиләшмиш һәллиңә тәриф верилмиш вә сығыр олмајан фырланма принципинин вә ардычыл жаһынлашма үсулуның көмәклиji илә (1), (2) мәсәләсинин зәиф үмумиләшмиш һәллиңин варлығы һагында ики теорем исbat едилмишdir. Буядан башга, (1), (2) мәсәләсинин зәиф үмумиләшмиш һәллиңин јеканәлиji һагында ики вә мәсәләниң гојулушунуң сәлистилиji барәдә бир теорем исbat олунмушшдур.

One class the second compiling, the research of mixed problem permitted for the hyperbolictype equations which right side is operator

SUMMARY

In the article is given definition to the weak general solve problem (1), (2); two theorems are proved about the weak general solve problem (1), (2) by the help of whirl principle which has no zero and by the help of method of continuous approach. Besides it there are proved two theorems about the unity of weak general problem (1), (2) and one theorem about the smooth structure of problem.

УДК 517. 946

МАТЕМАТИКА

Б. С. МАМЕДОВА

ИССЛЕДОВАНИЕ ОБОБЩЕННОГО И КЛАССИЧЕСКОГО
РЕШЕНИЙ ОДНОМЕРНОЙ СМЕШАННОЙ ЗАДАЧИ
В КОНЕЧНОЙ ОБЛАСТИ ДЛЯ ОДНОГО КЛАССА
НЕЛИНЕЙНЫХ ПАРАБОЛИЧЕСКИХ УРАВНЕНИЙ
ВЫСОКОГО ПОРЯДКА

(Представлено академиком АН Азербайджанской ССР А. И. Гусейновым)

В данной работе исследуется следующая одномерная смешанная задача:

$$\left\{ \begin{array}{l} \frac{\partial u}{\partial t} - A(u) \cdot \sum_{i=0}^n \frac{\partial^i}{\partial x^i} \left(p_i(x) \frac{\partial u}{\partial x^i} \right) = \mu F(u) \\ u(0, x) = \varphi(x), \end{array} \right. \quad (1)$$

$$U_1(u) \equiv \sum_{i=0}^{2n-1} \left\{ \alpha_i \left. \frac{\partial^i u}{\partial x^i} \right|_{x=a} + \beta_{i+1} \left. \frac{\partial^i u}{\partial x^i} \right|_{x=b} \right\} = 0 \quad (i=1, 2, n), \quad (3)$$

где $0 \leq t < T < +\infty$, $a \leq x \leq b$ (a и b — конечные числа, $a < b$); A , F — некоторые нелинейные операторы; $p_i(x) \in C_{[a,b]}^{(i)}$ ($i = 0, n$), $p_n(x) \neq 0$ на $[a, b]$; φ — заданная на $[a, b]$ функция; α_i, β_i — постоянные числа; линейный дифференциальный оператор L , порожденный дифференци-

альным выражением $l(u) \equiv \sum_{i=0}^n \frac{d^i}{dx^i} \left(p_i(x) \frac{d^i u}{dx^i} \right)$ и краевыми ус-

ловиями $U_1(u) = 0$ ($i = 1, 2, n$), самосопряженный и отрицательно определенный, $\{-\lambda_k^2\}$ — последовательность его собственных значений, $0 < \lambda_1^2 < \dots < \lambda_k^2 < \dots \rightarrow +\infty$ ($\lambda_k > 0$), $\{v_k(x)\}$ — полная ортонормальная в $L_2(a, b)$ система соответствующих собственных (классических) функций; μ — параметр; всюду в данной работе предполагаем, что для собственных функций и их производных имеют место следующие оценки:

$$|v_k'(x)| \leq C_0 \cdot \lambda_k^{\frac{1}{2}} \quad (i = 0, 2, n; a < x \leq b; k = 1, \infty, C_0 > 0 — \text{постоянная}) \quad (4)$$

Условия, имеющиеся в постановке данной задачи, в дальнейшем в формулировках теорем не будем повторять.

В работе вводятся понятия обобщенного и классического решений задачи (1) — (3), с помощью усиленного и обычного принципов Шaudера доказываются теоремы существования таких решений. Решение задачи (1) — (3) будем искать в виде $u(t, x) = \sum_{k=1}^{\infty} u_k(t) v_k(x)$.

После применения формальной схемы метода Фурье к задаче (1) — (3) нахождение неизвестных функций $u_k(t)$ приводится к решению следующей счетной системы нелинейных интегральных уравнений:

$$u_k(t) = \varphi_k e^{-\lambda_k^2 \int_0^t \Lambda(u(s, x)) ds} + \mu \int_0^t \int_a^b F(u(\tau, \xi)) v_k(\xi) e^{-\lambda_k^2 \int_\tau^t \Lambda(u(s, x)) ds} d\xi d\tau, \quad (5)$$

$(t \in [0, T], k = 1, 2, 3, \dots),$

где $\varphi_k = \int_a^b \varphi(x) v_k(x) dx$.

С целью исследования задачи (1) — (3) введем некоторые вспомогательные факторы и определения.

1. Обозначим через $B_{a,T}^\beta$ совокупность всех функций вида $u(t, x) = \sum_{k=1}^{\infty} u_k(t) v_k(x)$, рассматриваемых в области $D_T \subset (0 \leq t \leq T, a \leq x \leq b)$, где функции $u_k(t)$ непрерывны на $[0, T]$ и удовлетворяют условию

$$\left\{ \sum_{k=1}^{\infty} (\lambda_k^{\alpha} \cdot \max_{0 \leq t \leq T} |u_k(t)|)^{\beta} \right\}^{1/\beta} \equiv I_T(u) < +\infty, \alpha > 0, \beta > 1.$$

В этом множестве нормы определим так: $\|u(t, x)\|_{B_{a,T}^\beta} = I_T(u)$.

Очевидно, что пространства $B_{a,T}^\beta$ — банаховы.

2. Пусть M — некоторое множество из $B_{a,T}^\beta$. Для каждой функции $u(t, x) = \sum_{k=1}^{\infty} u_k(t) v_k(x)$ функцию $u_k(t)$ назовем ее k -ой компонентой, обозначим через M_k совокупность k -ых компонент всех элементов множества M .

Справедлива следующая

Теорема 1. Для компактности множества $M \subset B_{a,T}^\beta$ необходимо и достаточно, чтобы:

а) Для каждого k ($k = 1, 2, 3, \dots$) множество M_k было компактным в $C[0, T]$;

б) При любом заданном $\epsilon > 0$ существовал номер $N = N(\epsilon)$,

один и тот же для всех $u \in M$, и такой, что $\left\{ \sum_{k=N(\epsilon)}^{\infty} (\lambda_k^{\alpha} \cdot \max_{0 \leq t \leq T} |u_k(t)|)^{\beta} \right\}^{1/\beta} < \epsilon$.

3. а) Обозначим через $L_+(0, T)$ совокупность всех почти всюду неотрицательных и интегрируемых на $[0, T]$ функций с метрикой, определяемой как в $L(0, T)$. Очевидно, что $L_+(0, T)$ — полное метрическое пространство.

б) Обозначим через E совокупность всех функций $u(t, x)$, непрерывных в области D_T вместе с производным $\frac{\partial^l u(t, x)}{\partial x^l}$ ($l = \overline{1, 2n}, -1$),

имеющих производную $\frac{\partial^{2n} u(t, x)}{\partial x^{2n}} \in L_2(D_T)$ и удовлетворяющих для $t \in [0, T]$ граничным условиям (3). В этом множестве норму определим так:

$$\|u(t, x)\|_E = \sum_{l=0}^{2n-1} \left\| \frac{\partial^l u(t, x)}{\partial x^l} \right\|_{C(D_T)} + \left\| \frac{\partial^{2n} u(t, x)}{\partial x^{2n}} \right\|_{L_2(D_T)}.$$

Очевидно, что E линейное нормированное пространство. Примем следующие определения.

Определение 1. Обобщенным решением задачи (1) — (3) назовем функцию $u(t, x)$, принадлежащую пространству $B_{0,T}^2$ и удовлетворяющую интегральному тождеству

$$\begin{aligned} & \int_0^T \left\{ u \cdot \frac{\partial W}{\partial t} + A(u) \cdot u \cdot \sum_{i=0}^n \frac{\partial^i}{\partial x^i} \left(p_i(x) \frac{\partial^i W}{\partial x^i} \right) + \varphi F(u) \cdot W \right\} dx dt + \\ & + \int_0^T \varphi(x) W(0, x) dx = 0 \end{aligned} \quad (6)$$

при любой функции $W(t, x)$, непрерывной в области D_T , вместе с производными $\partial W / \partial t$, $\partial^i W / \partial x^i$ ($i = \overline{1, 2n}$), удовлетворяющей для любого $t \in (0, T)$ условию $W(t, x) = 0$ и для любого $t \in (0, T)$ краевым условиям $U_i(W) = 0$ ($i = \overline{1, 2n}$).

Определение 2. Классическим решением задачи (1) — (3) назовем функцию $u(t, x)$, непрерывную в области D_T вместе со всеми производными, входящими в уравнение (1), и удовлетворяющую всем условиям (1) — (3) в обычном классическом смысле.

4. Лемма. Если функция $u(t, x) = \sum_{k=1}^{\infty} u_k(t) v_k(x)$ является обобщенным решением задачи (1) — (3), $A(u(t, x)) \in L_+(0, T)$ и $F(u(t, x)) \in L(D_T)$, то функции $u_k(t)$ удовлетворяют на $[0, T]$ системе (5).

А теперь приведем некоторые из полученных нами результатов.

Теорема 2. Пусть

1. $\varphi(x) \in L_2(a, b)$.

2. Оператор A действует из $B_{0,T}^2$ в $L_+(0, T)$ непрерывно, причем для любого $u \in B_{0,T}^2$ $A(u) \geq a_0 > 0$ почти всюду на $[0, T]$.

3. Для любого ограниченного множества $G \subset B_{0,T}^2$ при всех $u \in G$ имеет место: $A(u) \leq C_G(t) \in L(0, T)$.

4. Оператор F действует из $B_{0,T}^2$ в $L_2(D_T)$ непрерывно и для любого $u \in B_{0,T}^2$ $\|F(u(t, x))\|_{L_2(a, b)} \leq a_1(t) + a_2(t) \cdot \|u\|_{B_{0,T}^2}$, где $a_1(t), a_2(t) \in L_2(0, T)$.

Тогда задачи (1) — (3) имеют по крайней мере одно обобщенное решение.

Доказательство. В пространстве $B_{0,T}^2$ определим следующий

оператор P : $P(u) = P \left(\sum_{k=1}^{\infty} u_k(t) v_k(x) \right) = \sum_{k=1}^{\infty} \hat{u}_k(t) \cdot v_k(x)$,

где

$$\hat{u}_k(t) = \varphi_k e^{-\lambda_k^2 \int_0^t \Lambda(u(s, x)) ds} + \mu \int_0^t \int_a^b F(u(\tau, \xi)) v_k(\xi) e^{-\lambda_k^2 \int_\tau^t \Lambda(u(s, x)) ds} d\xi d\tau, \quad (7)$$

($k = 1, 2, 3, \dots$).

Пользуясь теоремой 1 для пространства $B_{0,T}^2$ и условиями данной теоремы, легко доказывается, что оператор P действует в $B_{0,T}^2$ вполне непрерывно.

Далее рассматриваются в $B_{0,T}^2$ уравнения.

$$u = \lambda P(u) \quad (\lambda \in [0, 1]) \quad (8)$$

и с помощью неравенства Р. Беллмана (см. [3], стр. 188—189) для всевозможных решений u_λ уравнений (8) устанавливается априорная оценка: $\|u_\lambda\|_{B_{0,T}^2} \leq C_1$, $\lambda \in [0, 1]$.

Следовательно, в силу усиленного принципа Шаудера (см. [4], стр. 206), оператор P имеет в пространстве $B_{0,T}^2$ по крайней мере, одну неподвижную точку $u(t, x)$.

Легко проверяется, что функция $u(t, x)$ удовлетворяет интегральному тождеству (5) и всем остальным требованиям обобщенного решения, т. е. $u(t, x)$ является обобщенным решением задачи (1) — (3).

Замечание 1. Если оператор F порожден функцией $F[t, x, u]$, т. е. $F(u(t, x)) = F[t, x, u(t, x)]$, то условие 4 теоремы 2 выполняется, например, если функция $F[t, x, u]$ непрерывна по совокупности своих переменных в области $D_T \times (-\infty, \infty)$ и $|F[t, x, u]| \leq a(t, x) + b(t) \cdot |u|$, где $a(t, x) \in L_2(D_T)$, $b(t) \in L_2(0, T)$.

Теорема 3. Пусть

1. $\sum_{k=1}^{\infty} \lambda_k^2 |\varphi_k| < +\infty$, $\varphi(x) \in C_{[a, b]}^{(2n)}$ и удовлетворяет граничным условиям (3).

2. Оператор A действует из шара K_0 ($\|u\|_{B_{2,T}^1} \leq R_0$) в $C[0, T]$, причем из K_0 в $L(0, T)$ он действует непрерывно и для любого $u \in K_0$ $A(u(t, x)) \geq a_0 > 0$ на $[0, T]$, где $R_0 > \sum_{k=1}^{\infty} \lambda_k^2 \|\varphi_k\|$.

3. Для любого $u \in K_0$ 几乎 на $[0, T]$, $A(u(t, x)) \leq C$, где C — постоянное число.

4. Оператор F действует из шара K_0 в пространство E непрерывно и ограничено.

Тогда при достаточно малых значениях $|\mu|$ задача (1) — (3) имеет, по крайней мере, одно классическое решение.

Доказательство. Оператор P , определенный соотношением (7), рассмотрим в шаре $(K_0 \cap \{u \in B_{2,T}^1 : \|u\|_{B_{2,T}^1} \leq R_0\})$. Если учесть, что для каждого

дого $u \in K_0 F(u(t, x))$ при фиксированных $t \in [0, T]$ принадлежат области определения оператора L и оператор L самосопряженный, то, очевидно, что $(F(u(t, x)), v_k(x)) = (F(u(t, x)), -\frac{1}{\lambda_k^2} Lv_k(x)) = -\frac{1}{\lambda_k^2} (L_x F(u(t, x)) v_k(x))$.

Тогда соотношения (7) примут следующий вид:

$$u_k(t) = \varphi_k e^{-\lambda_k^2 \int_0^t \Lambda(u(\tau, x)) d\tau} - \frac{\mu}{\lambda_k^2} \int_0^t \int_a^b L_\xi F(u(\tau, \xi)) v_k(\xi) e^{-\lambda_k^2 \int_\tau^t \Lambda(u(s, x)) ds} d\xi d\tau, \quad (9)$$

$(k = 1, \infty),$

$$\text{где } L_\xi F(u(\tau, \xi)) = \sum_{i=0}^n \frac{d^i}{d\xi^i} (p_i(x) \frac{d^i}{d\xi^i} F(u(\tau, \xi))).$$

Пользуясь теоремой 1, легко показывается, что оператор P , определенный при доказательстве теоремы 2, при достаточно малых значениях $|\mu|$ преобразует шар K_0 в себя, причем вполне непрерывно. Следовательно, при достаточно малых «значениях» $|\mu|$ оператор P имеет в $K_0 \subset B_{2,T}^1$, по крайней мере, одну неподвижную точку $u(t, x)$. Далее легко проверяется, что функция $u(t, x)$ является классическим решением задачи (1) — (3).

Замечание 2. Если оператор F порожден функцией $F[t, x, u]$, т. е. $F(u(t, x)) = F[t, x, u(t, x)]$, то условие 4 теоремы 3 выполняется если: а) функция $F[t, x, u]$ определена в области $D_T x[-R, R]$ и в этой же области непрерывна по совокупности своих переменных вместе с производными $\partial^i F[t, x, u] / \partial x^a \partial u^a$, $(i = \overline{0, 2n})$, где $R > \frac{C_0}{\lambda_1^2} R_0$, причем C — число, фигурирующее в неравенствах (4).

б) $\partial^i F[t, x, u] / \partial x^a \partial u^a \equiv 0$ при $x = b, t \in [0, T], u \in [-R, R], (i = \overline{1, 2n-1})$
при $x = a, t \in [0, T], u \in [-R, R], a_2 > 0$.

в) Функция $F[t, x, u]$ при фиксированных $t \in [0, T]$ и $u \in [-R, R]$ по x удовлетворяет граничным условиям (3).

Настоящая работа выполнена под руководством К. И. Худавердия, которому автор приносит свою глубокую благодарность.

ЛИТЕРАТУРА

- Бернштейн С. Н. Об одном классе функциональных уравнений с частными производными. Изв. АН СССР, серия матем., т. 4, № 1, 1940.
- Гусейнов А. И. Чандиров Г. И. Об одной теореме С. Н. Бернштейна. Уч. зап. АГУ им. С. М. Кирова, серия физ.-мат. и хим. наук, № 4, 1959.
- Бекенбах Ф., Беллман Р. Неравенства. Изд-во «Мир» 1965.
- Справочная математическая библиотека. Функциональный анализ. Изд-во «Наука». М., 1964.

Институт кибернетики

Поступило 8. XII 1970

Б. С. Маммедова

Бир синиф јүксәк тәртибли гејри-хәтти параболик типли тәнилекләр үчүн соңлу областда гојулмуш бир өлчүлү гарышыг мәсәләнин үмумиләшмиш вә классик һәлләринин тәдгиги

ХУЛАСЭ

Мәгәләдә (1) — (3) мәсәләсүнин үмумиләшмиш вә классик һәлләрин тә'риф верилмишdir. Шаудерин үмумиләшмиш вә адипринцип-

ләринин көмәклији илә (1) — (3) мәсәләсүнин үмумиләшмиш вә классик һәлләринин варлығы нағында теоремләр исbat едилмишdir.

B. S. Mamedova

Research of the generalized and classic solutions of the one-dimensional mixed problem in the finite domain for a class of nonlinear parabolic equations of high order

SUMMARY

The generalized and classic solutions of the mixed problem for a class of nonlinear parabolic equations are introduced. Using strong and usual Clauder principle theorems of existence of these solutions are proved.

ФИЗИКА ПОЛУПРОВОДНИКОВ:
И ДИЭЛЕКТРИКОВ

М. Д. ХОМУТОВА

О ВОЗМОЖНОСТИ ПОЯВЛЕНИЯ ПЕРЕМЕННОГО
ТОКА В ЦЕПИ С ПОЛУПРОВОДНИКОВЫМ ОБРАЗЦОМ,
ОБЛАДАЮЩИМ РЕКОМБИНАЦИОННОЙ НЕУСТОЙЧИВОСТЬЮ

(Представлено академиком АН Азербайджанской ССР Г. Б. Абдуллаевым)

В работе рассматривается возможность автоколебаний, связанных с рекомбинационной неустойчивостью полупроводникового образца. Образец включен последовательно в цепь с источником постоянного тока. Рассмотрение проводится в рамках модели Шокли—Рида как для биполярного, так и для униполярного образца. Показано, что при некоторых частных видах зависимости коэффициента захвата электронов от поля в цепи могут возникать автоколебания, которые не связаны с пространственной неоднородностью образца (образец пространственно однороден), они являются следствием изменения концентрации носителей со временем.

1. ОСНОВНЫЕ УРАВНЕНИЯ

Как было указано в работах [1, 2, 3], наличие в цепи, имеющей источник постоянного тока, полупроводникового образца обладающего неустойчивостью, может приводить в появлению переменного тока. Причем образец будет однородным по своим электрическим свойствам (никаких доменов: ни движущихся, ни покоящихся—в образце не будет). В работах [1, 2, 3] рассматривались различные частные случаи, когда возможно появление переменного тока. В них рассматривались случаи, когда имеется: 1) биполярный полупроводник, в котором времена жизни электронов и дырок зависят от поля, 2) униполярный проводник с центрами захвата двух типов, сечения захвата на которых зависят от напряженности поля в образце E , 3) полупроводник, в котором концентрация и подвижность электронов (дырок) зависят от E .

В настоящей работе будет рассмотрен еще один случай: полупроводники (как биполярные, так и униполярные), в которых имеются центры захвата одного типа, сечения захвата которых зависят от E . Рассмотрение будет проводиться на основе модели Шокли—Рида [4]. Кроме того, в отличие от работы [3], исследование уравнений будет проводиться без линеаризации—при помощи метода ван дер Поля.

Для случая пространственно однородного образца основные уравнения будут иметь вид:

$$\frac{\partial n}{\partial t} = e_{po}(Z - n)N^- - c_{po}(N - N^-)nf_n(E), \quad (1)$$

$$\frac{\partial p}{\partial t} = e_{po}(Z - p)(N - N^-)f_p(E) - c_{po}N^-p, \quad (2)$$

$$j_n = -\mu_n nE, \quad (3)$$

$$j_p = \mu_p pE, \quad (4)$$

$$p - n + Q - N^- = 0 \quad (5)$$

Здесь приняты следующие обозначения: n — плотность электронов в зоне проводимости, p — плотность дырок в валентной зоне, t — время, j_n — плотность потока электронов, j_p — плотность потока дырок, Z — число состояний в зоне, N — плотность ловушек, N^- — плотность ловушек, уже захвативших электрон, Q — алгебраическая сумма зарядов, закрепленных в единице объема (в это число не входят заряды, сидящие на ловушках N^-), μ_n и μ_p — подвижности электронов и дырок, c_{po} — вероятность перехода электрона из зоны проводимости на ловушку в отсутствии поля, e_{po} — вероятность перехода электрона с ловушки в зону проводимости, c_{po} — вероятность перехода электрона, находящегося на ловушке, в валентную зону, e_{po} — вероятность перехода электрона из валентной зоны на свободную ловушку. $f_n(E)$ — функция, показывающая, как меняется вероятность перехода электрона из зоны проводимости на свободную ловушку. Эта вероятность равна $c_{po}f_n(E) \cdot f_p(F)$ — функция, показывающая, как меняется вероятность перехода электрона из валентной зоны на свободную ловушку (указанныя вероятность равна $e_{po}f_p(E)$).

Уравнения (1), (2) являются следствием уравнений непрерывности, уравнения (3), (4) дают плотности потоков частиц, а уравнение (5) вытекает из уравнения Пуассона.

Если считать, что в цепи нет ни индуктивности, ни емкости, то напряженность поля в образце может быть представлена в виде:

$$E = \frac{E}{L \pm eRS (\mu_n n + \mu_p p)} \quad (6)$$

Здесь E — электродвижущая сила источника постоянного тока, находящегося в цепи, R — нагрузочное сопротивление, L — длина образца, S — его сечение.

2. АНАЛИЗ УРАВНЕНИЙ

Из уравнений (1) — (6) видно, что в системе возможны состояния равновесия, при которых $n = n_0$, $p = p_0$, $E = E_0$. Анализ устойчивости этих состояний, проведенный по методу Ляпунова [5], показал, что состояния равновесия могут являться неустойчивыми в том случае, когда условия:

$$\left. \frac{\partial f_n}{\partial E} \right|_0 > 0, \quad (7)$$

$$\left. \frac{\partial f_p}{\partial E} \right|_0 < 0, \quad (8)$$

выполняются порознь или вместе.

Здесь $\frac{\partial f_n}{\partial E} \Big|_0$ означает производную от $f_n(E)$ по E в равновесной

точке. Аналогичным образом $\frac{\partial f_p}{\partial E} \Big|_0$ является производной от $f_p(E)$ по E в равновесной точке.

Автоколебания могут возникнуть лишь тогда, когда $\frac{\partial f_n}{\partial E} \Big|_0$ и $\frac{\partial f_p}{\partial E} \Big|_0$ одновременно положительны или одновременно отрицательны, причем их модули находятся в определенных отношениях. Условия, которые накладываются на модули $\frac{\partial f_n}{\partial E} \Big|_0$ и $\frac{\partial f_p}{\partial E} \Big|_0$, зависят от n и p_0

(так же, как и от других особенностей образца) и являются довольно жесткими.

Исследование униполярного случая (чисто электронной проводимости) показывает, что возможны случаи как устойчивого, так и неустойчивого равновесия. Причем при положительных значениях $\frac{\partial f_n}{\partial E} \Big|_0$ и определенных соотношениях между c_{no} , e_{no} , N , n_0 , Q , f_{no} , $\frac{\partial f_n}{\partial E} \Big|_0$ равновесие может быть неустойчивым. Следует отметить, что неустойчивости равновесия способствует большое значение n_0 .

Что касается возможности появления автоколебаний в случае униполярного образца, то, считая f_n не функцией E , а функцией n (согласно уравнению (6)), можно рассмотреть различные частные случаи. Такое рассмотрение показало, что для $f_n(n)$, имеющего вид

$$f_n(n) = \frac{e_{no}(Z-n)(Q-n)-\omega\sqrt{a^2-n^2}}{c_{no}(N+n-Q)n}, \quad (9)$$

возможны автоколебания с частотой ω и амплитудой a .

Подставляя в выражение (9) зависимость n от E , полученную из уравнения (6)

$$n = \frac{E - EL}{EeRS\mu_n}, \quad (10)$$

мы получим интересующую нас функцию $f_n(E)$.

Таким образом, хотя в рамках модели Шокли—Рида автоколебания могут возникать довольно редко, они все-таки принципиально возможны.

ЛИТЕРАТУРА

1. Курова И. А., Каляников С. Г. ФТТ 5, 3224, 1963.
2. Бонч-Бруевич В. Л. Phys. Stat. Sol., 28, 687, 1968.
3. Волков А. Ф., Иглицын М. И., Переврова Л. Я., Фистуль В. И., Шульман А. Я. Труды IX Международной конференции по физике полупроводников, т. 2, 829. М., 1938.
4. Shockley W., Read W. T. Jr. Phys. Rev., 87(5), 835, 1952.
5. Андронов А. А., Витт А. А., Хайкин С. Э. Теория колебаний. Физматгиз, 1959.

АГУ им. Кирова

Поступило 29. IV 1970

М. Д. Хомутова

Рекомбинасијон дајаныгсызлығына малик
јарымкечиричи олан дөврдә дәжишән чәрәјаны јаранма
имканлары һагында

ХУЛАСӘ

Мәгәләдә рекомбинасијон дајаныгсызлығына малик јарымкечиричи нұмунәләрдә авторәгсләриң јаранма имканларына бағылыштырылған. Нұмунә дөврәдә сабит чәрәјән мәнбәји илә ардычыл бирләшдирилмешdir.

Нәзәри бағышлар Шокли-Рид модели чәрчиwәси дахилиндә биполляр вә униполляр нұмунәләр үчүн көрүлмушшүр. Мә'лум олмуштуркі, электронларын тутма әмсалының электрик саһесинде асылылығының бә'зи хүсуси налларында дөврәдә авторәгсләр мејдана чыха биләр. Бу авторәгсләр нұмунәнин фәзә бирчинслилиji илә әлагәдәр деjildir (нұмунә бирчинслидир). Бүнлар йүкдашылычыларын концентрациясының ваҳта көрә дәжишмәсінниң иәтичесидир.

M. D. Chomutova

About the possibility of appearance of changing current in the chain with the model of conductor possessing recombinational instability

SUMMARY

In the work considered she possibility of auto-vibration which is connected with the model of half-conductor of recombinational instability. The model is switched on chain by the source of constantly current in succession. In the artical shown that, in some particular forms dependence coefficient seizure the electrons from the field there will arise auto-vibration in the chain.

172182

Центральная научная
библиотека
Академии наук Киргизской ССР

УДК 537. 312. 62. 539. 216. 2. 537. 311. 33

ФИЗИКА

Ф. Ю. АЛИЕВ, И. Г. КЕРИМОВ, Ф. Р. ГОДЖАЕВ, Е. И. КАЛИНИНА,
Е. С. КРУПНИКОВ

СВЕРХПРОВОДИМОСТЬ ПЛЕНКИ ПОЛУПРОВОДНИКА CuS

(Представлено академиком АН Азербайджанской ССР Г. Б. Абдуллаевым)

Соединение CuS относится к числу вырожденных полупроводников с концентрацией электронов в массивном виде $n \sim 10^{22} \text{ см}^{-3}$, которое обладает гексагональной структурой.

Исследовались пленки CuS толщиной порядка $\sim 600 \text{ \AA}$, напыленные вакуумным испарением ($\sim 5 \cdot 10^{-5} \text{ м.м рт. ст.}$) на стеклянную подложку. Пленка CuS была выбрана в связи с тем, что в массивном виде этот полупроводник становится сверхпроводником при температуре $1,65^\circ\text{K}$ [1, 2]. Согласно же теории [3] в пленочном состоянии можно ожидать повышение температуры перехода по сравнению с массивными образцами (до 10°K). Пленки CuS на стеклянных подложках исследовались в широком интервале температур $-1,8-300^\circ\text{K}$, для чего нами были разработаны надежные омические контакты.

Применялся компенсационный метод измерения сопротивления. На рисунке приведена зависимость удельного сопротивления и

относительного сопротивления $r = \frac{\rho}{\rho_0}$ (ρ_0 — сопротивление при 273°K) от абсолютной температуры. Причем электропроводность вычисля-

лась по формуле [4]: $\frac{1}{\rho} = \sigma = \frac{I}{2\pi du} \ln \left(\frac{a + \frac{l}{2}}{a - \frac{l}{2}} \right)^2$,

где $I = 8,8 \mu\text{A}$, $a = \sqrt{\left(\frac{l}{2}\right)^2 - D}$; l — расстояние между контактами, D — диаметр контактной поверхности ($l = 1 \text{ см}$, $D = 0,3 \text{ см}$), u — разность потенциалов между контактами.

Из рисунка видно, что с понижением температуры от комнатной до 15°K наблюдается постепенное уменьшение сопротивления, как у полуметаллов, а начиная с 15°K , сопротивление резко падает. Такой спад сопротивления особенно в области гелиевой температуры, характерный для сверхпроводников, позволяет говорить о наличии сверхпроводящего перехода в полупроводниковой пленке CuS. (Причем при 273°K удельное сопротивление пленки $\rho = 55,4 \cdot 10^{-6} \text{ ом} \cdot \text{см}$ мень-

ше, чем у массивного образца $74 \cdot 10^{-6} \text{ ом} \cdot \text{см}$. [1]). Экстраполяция кривой зависимости r от T указывает на то, что температура перехода пленки CuS примерно равна: $T_c \approx (3,0 \pm 0,3)^\circ\text{K}$.

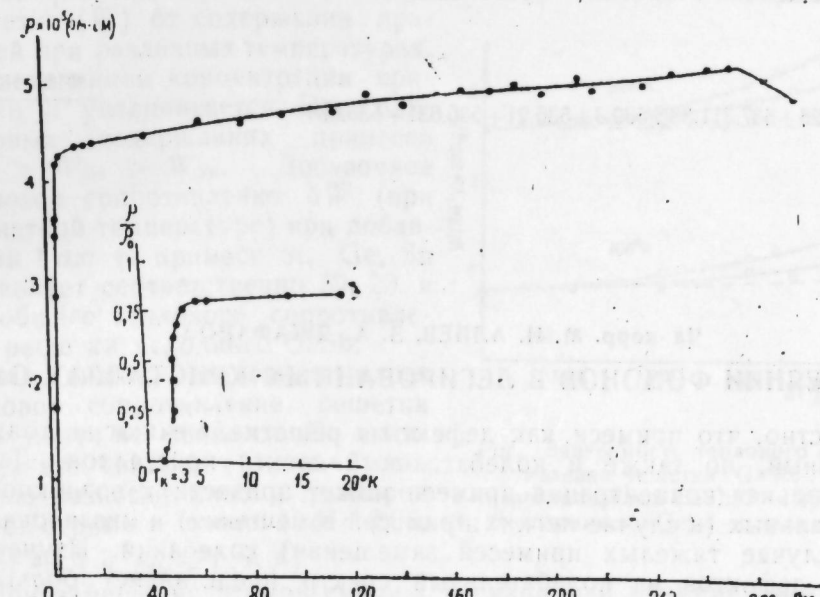


Рис.

Для уточнения температуры перехода пленки CuS и определения значения критического поля необходимо провести также и магнитные измерения. Следует отметить, что нарушение стехиометрии при получении пленки CuS приводит к исчезновению сверхпроводимости.

Авторы выражают благодарность акад. Г. Б. Абдуллаеву за предложенную тему и ценные советы при выполнении данной работы.

ЛИТЕРАТУРА

1. Майнер В. Измерения сверхпроводимости CuS с помощью жидкого гелия Z. Phys. N 1—12, 570, 1929. 2 Шенберг Д. Сверхпроводимость. ИЛ, 1955. 3. Тавгер Б. А., Демиховский Е. Я. О возможности явления сверхпроводимости в тонких неметаллических пленках. ЖЭТФ, 48 (2), 748, 1965. 4. Сандомирский В. Б. Квантовый эффект размеров в пленке полуметалла. ЖЭТФ, 52 (3), 159, 1967.

Институт физики

Ф. Ю. Алиев, И. Г. Керимов, Ф. Р. Годжайев,
Е. И. Калинина, Е. С. Крупников

CuS јарымкечиричинин назик тәбәгәсинин
ифраткечиричилини

ХУЛАСӘ

CuS јарымкечиричинин, галынылығы $6 \cdot 10^{-6} \text{ см}$, назик тәбәгәсіндегі 30°K -дә ифраткечиричилик мүшәнидә едилмишdir.

F. U. Aliev, I. G. Kerimov F. R. Godjayev, E. I. Kalinina, E. S. Krupnikov

Superconductivity of CuS semiconductor film

SUMMARY

The superconductivity has been observed in CuS semiconductor film having thickness $6 \cdot 10^{-6} \text{ cm}$ at 30°K .

Чл.-корр. М. И. АЛИЕВ, З. А. ДЖАФАРОВ

О РАССЕЯНИИ ФОНОНОВ В ЛЕГИРОВАННЫХ КРИСТАЛЛАХ GaSb

Известно, что примеси, как дефекты в решетке, меняют не только электронный, но также и колебательный спектр кристаллов. Даже незначительная концентрация примеси может привести к возникновению локальных (в случае легких примесей замещения) и квазилокальных (в случае тяжелых примесей замещения) колебаний. Изучение влияния дефектов на колебательный спектр представляет большой интерес, т. к. вызванные ими локальные или квазилокальные колебания могут существенно изменить термодинамические и кинетические характеристики кристаллов. Такие локальные колебания наблюдались методом инфракрасной спектроскопии в полупроводниках Si [1], GaAs [2], InSb [3], а также в ионных кристаллах легированных различными примесями.

Впервые влияние примесей на спектр тепловых колебаний решетки было рассмотрено И. М. Лишицем [4].

Учет влияния примесей на фононную теплопроводность был проведен Клеменсом [5], Берманом и др. [6]. Экспериментальное исследование теплопроводности решетки Ge, Si и полупроводниковых соединений типа $A^{III}B^{V}$ в широком концентрационном интервале примесей указало на существенный вклад рассеяния фононов на примесных центрах в теплопротивление [7].

Ранее при исследовании теплопроводности GaSb, легированного германием, нами было установлено, что этот вклад в основном обусловлен рассеянием фононов на локальных изменениях плотности [8]. Представляет интерес изучение теплопроводности GaSb, легированного кремнием, германием, оловом, т. е. примесями одинаковой валентности, но различной массы в широком интервале их концентраций (10^{17} — 10^{20} см $^{-3}$).

Изменение межатомных сил при введении этих примесей будет почти одинаковым, а изменение массы значительно отличающимся. Причем во всех случаях имеем дело с легкой примесью. Дефект массы $\epsilon = \frac{M - M'}{\bar{M}}$ (M и M' — массы взаимозамещающихся атомов, \bar{M} — средняя масса атомов решетки), ответственный за появление локальных колебаний, играет основную роль в параметре беспорядка при рассеянии фононов на точечных дефектах.

Образцы были получены методом зонного выравнивания, обладали проводимостью p -типа и были крупноблочными.

Измерения теплопроводности проводились абсолютным стационарным методом.

На рисунке представлена зависимость теплового сопротивления решетки (W) от содержания примесей при различных температурах. С увеличением концентрации примесей W увеличивается. При одинаковых содержаниях примесей $W_{Si} > W_{Ge} > W_{Sn}$. Добавочное тепловое сопротивление ΔW (при комнатной температуре) при добавлении 1 ат % примеси Si, Ge, Sn составляет соответственно 39, 20 и 3% общего теплового сопротивления решетки исходного GaSb.

Как видно, введением олова тепловое сопротивление решетки GaSb почти не меняется. По-видимому, это связано с незначительностью разности масс и размеров атомов сурьмы и олова ($\Delta M = 3,06$, $r_{Sn} = 1,40 \text{ \AA}$ и $r_{Sb} = 1,36 \text{ \AA}$).

При замещении атомов сурьмы германием и кремнием искажение решетки можно предполагать почти одинаковым ($r_{Ge} = 1,22 \text{ \AA}$, $r_{Si} = 1,18 \text{ \AA}$), но дефекты масс ϵ сильно отличаются. В случае Ge $\Delta M = 50$, а в случае Si $\Delta M = 94$. Вероятно, существенным влиянием дефекта массы можно объяснить большое значение теплового сопротивления GaSb, с примесью кремния.

Согласно теории Клеменса добавочное тепловое сопротивление W_i , обусловленное рассеянием фононов на точечных дефектах с учетом только локального изменения плотности, выражается формулой [5]: при $T > \Theta$

$$W_i = \frac{\pi \omega_D (1 - e) c}{6 \hbar v^2 N} \frac{(\Delta M)^2}{\bar{M}^2} \quad (1)$$

и при $T < \Theta$

$$W_i = \frac{\pi^2 (1 - e) c T}{0,9 \hbar N v^2} \frac{(\Delta M)^2}{\bar{M}^2}, \quad (2)$$

где N — число атомов, 1 см $^{-3}$,

v — 3,6 см/сек скорость звука в GaSb,

$$\omega_D = \frac{k \Theta}{\hbar} \text{ — частота Дебая,}$$

e — доля примесей.

В таблице приводится количественное сопоставление наблюдаемого теплового сопротивления $\Delta W_{\text{эксп}}$ с W_i , вычисленным по формулам (1) и (2) при разных содержаниях Ge и Si. Добавочное тепловое сопротивление для образца, легированного оловом, незначительное, поэтому в таблицу не включено.

Как видно, начиная с некоторой концентрации примесей, рассеяние фононов на них значительно, количественное согласие с экспериментом получается, как ожидалось из теории Клеменса, при больших содержаниях примесей.

Таким образом, на основании экспериментальных данных можно

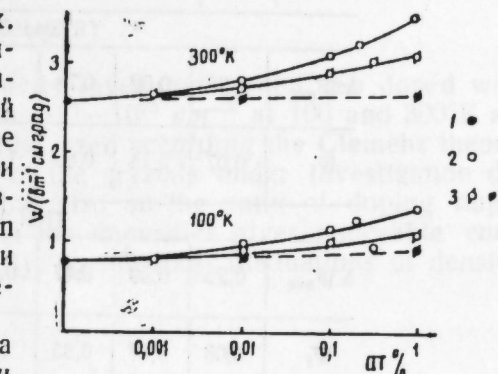


Рис. Зависимость теплового сопротивления решетки GaSb.
1—нелегированный GaSb; 2—с примесью Si; 3—с примесью Ge; 4—с примесью Sn.

About the phonon scattering in Heavily Doped crystals of Gallium antimonide

SUMMARY

The results of thermal conductivity investigation of CaSb doped with Si, Ge, Sn in concentration region 10^{17} – 10^{20} cm^{-3} at 100 and 300°K are presented. The received data are discussed according the Clemens theory. The lattice thermal resistivity W of the crystals under investigation depends not only on concentration but also on the nature of doping impurity. The scattering of phonons on the impurities gives noticeable contribution to W and is due, primarily, to the local fluctuations of density.

Am %	Si				Ge			
	0,05	0,1	0,5	1	0,05	0,1	0,5	1
При 300°K								
$\Delta W_{\text{ск}}^*$	0,38	0,52	0,74	1,02	0,28	0,34	0,46	0,52
W_i	0,07	0,14	0,63	1,36	0,02	0,04	0,20	0,39
При 100°K								
$\Delta W_{\text{ск}}^*$	0,25	0,39	0,47	0,55	0,13	0,20	0,27	0,33
W_i	0,08	0,17	0,85	1,7	0,02	0,05	0,24	0,49

заключить, что тепловое сопротивление решетки легированных кристаллов GaSb зависит не только от концентрации, но и от природы легирующей примеси.

Рассеяние фононов на примесях дает заметный вклад в теплосопротивление решетки и дополнительное теплосопротивление в основном создается локальными флуктуациями плотности.

ЛИТЕРАТУРА

1. Balkanski M., Nasarewicz W. J. Phys. Chem. Sol. 25, 437, 1964.
2. Гросс Е. Ф., Сафаров В. И., Седов В. Е., Марущак В. А. ФТТ, т. II, вып. 2, 348, 1960.
3. Goodwin A. R., Smith S. D. Phys. Lett. 17, 203, 1965.
4. Лишин И. М. ЖЭТФ, 12, 117, 1942.
5. Клеменс Р. Г. Proc. Roy. Soc. London, A. 208, 108, 1951.
6. Phys. Rev., 119, 507, 1960.
7. Bergman R., Foster E. L., Ziman J. M. Proc. Roy. Soc. London, A 237, 344, 1956.
8. Абдуллаев Г. Б., Алиев М. И., Ахмедли Г. Т., Араслы Д. Г., Сафаралиев Г. И. Сб. физико-химические свойства полупроводников $A^{III}B^V$ и $A^{III}B^{VI}$, стр. 305, 1967.
9. Джафаров З. А., Алиев С. А., Алиев М. И. Изв. АН Азерб. ССР, серия физ.-мат. наук, № 4, 1971.

Институт физики

Поступило 21. IV 1970

М. И. Элиев, З. А. Чәфәров

Жүксәк лекирә олунмуш GaSb кристалларында фононларын сәпилмәсі

ХУЛАСӘ

Мәгәләдә 100 вә 300°K-дә, кениш концентрасија интервалында 10^{17} – 10^{20} силициум, керманиум вә галај ашгарлары илә лекирә олунмуш GaSb кристалларында истиликтегірмәннің тәдгигиндән бәлс едилмишdir. Истилик мүгавимәтінин յалның концентрасијадан дејіл, ежни заманда, ашгарын нөвүндән дә асылышы мүшәнидә олунмушdur. Алынан нәтичәләр Клеменс нәзәријәсінә әсасән арашдырылмыш вә фононларын ашгар мәркәзләрдән сәпилмәснідә сыйлығын локал дәнішмәснін әсас рол ойнамасы көстәрілмишdir.

Т. К. Н. ШАХТАХТИНСКИЙ

ИССЛЕДОВАНИЕ ВЛИЯНИЯ ПРОЦЕССОВ ВИБРОАКТИВАЦИИ НА ПРОЧНОСТНЫЕ И ДЕФОРМАТИВНЫЕ СВОЙСТВА БЕТОНОВ

(Представлено академиком АН Азербайджанской ССР З. И. Халиловым)

На портландцементе „М-400“ Карадагского завода (нормальная густота 25 %) при разных водосодержаниях были изготовлены три серии (каждая из пяти групп) цементного теста (таблица).

№ серий бето- на	Состав бетона, кг/м ³		Предел прочности, кг/см ² образца в возрасте 28 дней		Величина	При значении средней погрешности, % по формулам (1 и 2) относит. данных эксперимента			
	Портланд- цемент .М-400-	Гравий песок 5–20 м.м.	Вода	Кубиков, R	Призм, R	$\alpha = \frac{E_0}{R}$	K	ϵ	E
1	413	1240 493	173	290	237	1000	1,4	3,67	3,56
2	413	1240 493	173	348	277	950	1,4	7,33	7,72
3	330	1303 519	165	217	174	1900	0,8	4,44	4,84
4	330	1303 519	165	270	217	1000	1,2	7,37	9,12
5	227	1370 545	162	152	127	2000	0,5	8,08	5,32
6	227	1370 545	162	177	140	1200	1,1	2,63	1,14

В каждой серии первая группа цементного теста принималась за контрольную и приготавлялась в течение 2 мин обычным перемешиванием без воздействия вибрации [1]. Остальные группы подвергались вибровактивации в течение 2 мин при разных значениях частоты и амплитуды колебания.

Изготовленные опытные образцы по 12 штук в каждой группе, размерами 2×2×2 см хранились в идентичных условиях и в возрасте 2 и 28 дней подвергались испытанию.

Результаты проведенных экспериментальных исследований показали, что:

1. Вибровактивация цементного теста способствует повышению прочности цементного камня как в раннем, так и в позднем его возрастах твердения.

Степень возрастания прочности цементного камня, при прочих равных условиях, для определенных пределов обратно пропорциональна водосодержанию цементного теста (рисунок).

2. Во всех значениях водосодержания цементного теста, проведенных при частоте 2900 $\frac{\text{кол}}{\text{мин}}$ (48,7 Гц) и амплитуде 0,25 мм, приобретаемая эффективность вибровактивации составляет 17–35% эффективности вибровактивации, получаемой при частоте 5000 $\frac{\text{кол}}{\text{мин}}$ (83,3 Гц) и амплитуде 0,065 мм.

3. Для активации цементного теста на виброустановке площадочного типа оптимальной амплитудой колебания следует принять:

a) 0,065 мм при работе по частоте 5000 $\frac{\text{кол}}{\text{мин}}$;

b) 0,54 мм, когда частота колебаний стандартная.

В первом случае повышение прочности цементного камня составляет 19–42%, а во втором — 12–22%. Здесь последние числа относятся к цементному тесту минимального водосодержания.

Для установления степени эффективности вибровактивации бетонной смеси, а также при влиянии параметров колебания на свойства бетонов при значениях цементоводного отношения 2,4; 2,0; 1,4 на базе местных заполнителей были изготовлены три серии (каждая по пять групп) опытных бетонных замесов.

Вибровактивация опытных замесов производилась в смесителе, смонтированном на верхней полке высокочастотного вибратора АзНИИГИМ.

Первые группы из каждой серии бетонных смесей (аналогично цементному тесту), как контрольные, были изготовлены способом обычного перемешивания при скорости вращения смесителя 22 об/мин без воздействия вибрации, а остальные опытные группы по каждой серии в отдельности при перемешивании подвергались воздействию вибрации разной частоты и амплитуды колебания.

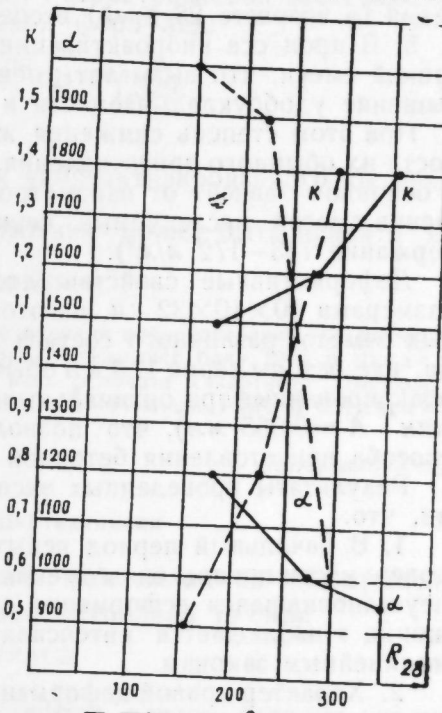


Рис. Зависимость α и K от прочности бетонов: 1—обычного приготовления;
2—вибровактивированного.

Из каждой серии после установления подвижности смеси было изготовлено по 6 образцов бетонных кубиков размерами $10 \times 10 \times 10$ см. Уплотнение их велось штыкованием (15–25 раз стержнем диаметром 10 мм) с последующим виброуплотнением в течение 3 сек на стандартном вибростоле. На второй день после формовки образцы кубиков подвергались твердению во влажных опилках.

Испытание образцов кубиков проводилось в два срока их твердения: в возрасте 2 и 28 дней. В каждый срок испытывалось по три образца-близнеца, усредненные данные которых принимались во внимание.

Результаты проведенных исследований показали, что:

1. Виброактивация бетонной смеси по сравнению с обычным перемешиванием способствует повышению прочности бетона как в раннем, так и в позднем возрастах твердения.

2. При прочих равных условиях прочность мелкозернистых виброактивированных бетонов во многом зависит от значения параметров колебания. Большая частота при малом значении амплитуды является более эффективной, чем малая частота при большой амплитуде.

3. Прочность виброактивированного бетона в подтверждении работ Ю. Я. Штаермана [2, 3], Г. И. Абдуллаева [1] и др., в зависимости от его цементоводного отношения, как для обычного бетона, может быть представлена пучками прямых, параметром, выражющим марки (активности) цемента.

4. Эффективность повышения прочности виброактивированного бетона на портландцементе, изготовленного на вибросмесителе типа АзНИИГИМ, по сравнению с прочностью бетона обычного приготовления (в возрасте 28 дней) в среднем может быть принята 20 %.

5. В процессе виброактивации происходит снижение вязкости бетонной смеси, что вызывает уменьшение ее жесткости, тем самым повышение удобоукладываемости и в целом качества бетонных изделий.

При этом степень снижения жесткости смесей относительно жесткости их обычного приготовления, выраженная коэффициентом $K_x < 1$, в основном зависит от параметров колебания и цементоводного отношения смесей исследуемых серий мелкозернистых бетонов (водосодержания 163–172 л/м³).

Деформативные свойства бетонов изучались на образцах призм размерами $10 \times 10 \times 32$ см, изготовленных из прежних опытных бетонных засмесов различного состава и цементоводного отношения (таблица, где бетоны серий 1, 3 и 5 обычного приготовления и 2, 4 и 6—виброактивированные при оптимальных параметрах колебания $\gamma = 5000$ кол/мин $A = 0,065$ мм), что позволило одновременно выявить влияние способа приготовления бетонной смеси на деформативность бетонов.

Результаты проведенных экспериментальных исследований показали, что:

1. В начальный период испытания, ввиду возникающей на опорной поверхности призмы силы трения, как и следовало ожидать, возникает неустановившаяся деформация сжатия. Далее с нарастанием напряжения σ наблюдается интенсивный рост деформации ϵ , подчиняемый нелинейным законам.

2. Характер кривой деформации виброактивированного бетона вполне сходен с характером деформации обычного бетона.

С ростом напряжения нарастание деформации в начальной фазе происходит медленно, затем она постепенно увеличивается, опережая рост напряжения. Далее наступает фаза, где рост деформации происходит без воздействия напряжения, как для обычного бетона, названной фазой текучести.

3. Исследуемый характер кривой деформации виброактивированного бетона (таблица) с некоторыми допущениями может быть представлен известным логарифмическим законом Л. И. Онищика [5]

$$\epsilon = \frac{1}{E_0} \int_{\sigma=0}^{\sigma} \frac{db}{1 - \left(\frac{b}{1,1R} \right)^K} \quad (1)$$

$$E = E_0 \left[1 - \left(\frac{v}{1,1R} \right)^K \right], \quad (2)$$

где $E_0 = \alpha R$ — начальный модуль упругости;

α и K — коэффициенты, представляющие исследуемый характер кривой деформации, определяемые данными таблицы и рисунка.

4. Для виброактивированного бетона нарастание величины α со снижением его прочности происходит менее интенсивно, чем для бетонов обычного приготовления (рисунок). Изложенная зависимость может быть представлена эмпирической формулой:

$$\alpha = \frac{8,81R - 6102}{1000} R + 2000. \quad (3)$$

5. С увеличением прочности виброактивированного бетона нарастание значения K происходит медленнее, чем это наблюдается для обычного приготовления (рисунок). Рассматриваемая зависимость может быть представлена эмпирической формулой:

$$K = \frac{0,0865 - 28}{1000} R + 1,329. \quad (4)$$

6. Отношение $\frac{R_{\text{призм}}}{R}$ как для виброактивированного бетона, так и для бетонов обычного приготовления может быть принято почти одинаковым (таблица).

ЛИТЕРАТУРА

- Абдуллаев Г. И. Исследование влияния вибролебаний на физико-механические и деформативные свойства бетонов. Канд. дисс. Баку, 1966. 2. Штаерман Ю. Я. Виброактивированный бетон. Гос. изд. „Сабчота сакартвело”, Тбилиси, 1963.
- Штаерман Ю. Я. Виброактивация цемента. Тбилиси, 1957. 4. Онищик Л. И. Каменные конструкции. Стройиздат, 1939.

АПИ им. Ленина

Поступило 2. XI 1970

Т. К. Н. Шахтахтински

Актив-титрэмә үсулуның мұхтәлиф мөйкәмлік вә деформасијалы хассәләрә малик олан бетонлара тә'сирі

ХУЛАСӘ

Мәгәләдә бу вахта гәдәр аз истигадә едилән титрэмә үсулу илә бетон гарышыларының мұхтәлиф тезликләрдә вә амплитудларда назырламасындан бәйс едилмишdir.

Еjни заманда, бетонун деформасија хассәләринин тәдгиги өյрәнилмишdir. Бу мәсәләнин исә һәм нәзәри вә һәм дә тәчрүби әһәмијәттән вардыр.

Т.-К. N. Shakhtakhtinskii

Study of vibroactivation processes effect upon the strength and deformation of concretes

SUMMARY

The dependence of strength and deformation of concretes upon the frequency and amplitude of vibrations in vibroactivation have been studied.

АЗЭРБАЙЧАН ССР ЕЛМЛЭР АКАДЕМИЯСЫНЫН МӘРУЗӘЛӘРИ

ДОКЛАДЫ АКАДЕМИИ НАУК АЗЕРБАЙДЖАНСКОЙ ССР

ТОМ XXVII

№ 9

1971

УДК 621. 316. 94.

ЭЛЕКТРОТЕХНИКА

Академик Ч. М. ДЖУВАРЛЫ, Г. А. МИРОНОВ

ВОЗНИКНОВЕНИЕ ЧЕТНЫХ ГАРМОНИК В РЕЖИМЕ ВКЛЮЧЕНИЯ НЕЛИНЕЙНОЙ ИНДУКТИВНОСТИ С СИММЕТРИЧНОЙ ХАРАКТЕРИСТИКОЙ НАМАГНИЧИВАНИЯ

Известно, что при насыщении нелинейной индуктивности симметричной характеристикой намагничивания $\Psi(i) = -\Psi(-i)$ под действием синусоидальной эдс в составе магнитного потока четные гармоники отсутствуют. Однако они могут возникать при подмагничивании индуктивности униполярным апериодическим током в переходных режимах после включения схемы с насыщающейся индуктивностью (рис.).

В соответствии со схемой имеем:

$$\frac{d^2\Psi}{dt^2} + \delta \frac{di^2}{dt} = V \cos(\omega t + \alpha), \quad (1)$$

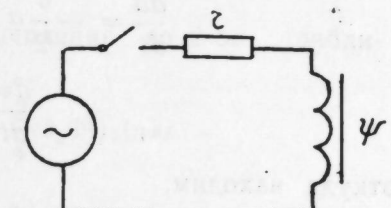


Рис.

где

$$i = b_1\Psi + b_3\Psi^3, \quad (b_1 \approx 1, \quad b_3 \ll b_1). \quad (2)$$

После подстановки (2) в (1), уравнение (1) представим в виде

$$\frac{d^2\Psi}{dt^2} + \omega_0^2\Psi = -\delta \frac{d\Psi}{dt} - 3b_3\delta\Psi^2 \frac{d\Psi}{dt} + V \cos(\omega t + \alpha), \quad (3)$$

причем в соответствии со схемой (рис.), собственная частота контура $\omega_0 = 0$.

Решение последнего уравнения (3) в 1-ом приближении можно представить в виде свободной и вынужденной составляющих:

$$\Psi = a \cos\varphi + \Phi \cos(\omega t + \gamma), \quad (4)$$

где переходные значения амплитуды a и φ для рассматриваемого нерезонансного случая, согласно [1], находятся из условий:

$$\frac{da}{dt} = \epsilon A_1(a),$$

(5)

$$\frac{d\varphi}{dt} = \omega_0 + \varepsilon B_1(a),$$

где коэффициенты первого приближения $A_1(a)$ и $B_1(a)$ определяются выражениями:

$$A_1 = -\frac{1}{4\pi^2\omega_0} \int_0^{2\pi} \int_0^{2\pi} f_o(a, \varphi, \theta) \sin\varphi d\varphi d\theta, \quad (6)$$

$$B_1 = -\frac{1}{4\pi^2\omega_0 a} \int_0^{2\pi} \int_0^{2\pi} f_o(a, \varphi, \theta) \cos\varphi d\varphi d\theta.$$

Здесь f_o — правая часть уравнения (3) для нулевого приближения (4), когда $a = \text{const}$ и $\varphi = \text{const}$.

Из (6) после подстановки в (6) значения f_o в пределе при $\omega_0 \rightarrow 0$ находим:

$$\varepsilon A_1 = -\frac{\delta}{2} a - \frac{3}{4} b_3 \delta a \left(\frac{a^2}{2} + \Phi^2 \right). \quad (7)$$

В соответствии с (7), решение (5) в 1-ом приближении будет:

$$\frac{da}{dt} = -\frac{\delta}{2} a \left[1 + \frac{3}{2} b_3 \left(\frac{a^2}{2} + \Phi^2 \right) \right],$$

$$\frac{d\varphi}{dt} = 0,$$

откуда находим:

$$a = a_0 \exp \left\{ -\frac{\delta}{2} \left[1 + \frac{3}{2} b_3 \left(\frac{a^2}{2} + \Phi^2 \right) \right] t \right\}, \quad (8)$$

$$\varphi = \varphi_0.$$

После чего полное решение (4) принимает вид:

$$\psi = a_0 \cos \varphi_0 \exp \left\{ -\frac{\delta}{2} \left[1 + \frac{3}{2} b_3 \left(\frac{a^2}{2} + \Phi^2 \right) \right] t \right\} + \Phi \cos(\omega t + \gamma). \quad (9)$$

Как видно из (9), в 1-ом приближении обнаруживается только одна свободная составляющая — апериодическая.

Рассмотрим гармоники, порождаемые апериодической составляющей. Выражения для них можно получить из решения 2-го приближения.

Во 2-ом приближении искомое потокосцепление:

$$\psi = a_0 \cos \varphi + \varepsilon u_1(a, \varphi, \theta) + \Phi \cos(\omega t + \gamma),$$

где

$$\frac{da}{dt} = \varepsilon A_1(a) + \varepsilon^2 A_2(a),$$

(5)

$$\frac{d\varphi}{dt} = \omega_0 + \varepsilon B_1(a) + \varepsilon^2 B_2(a)$$

$$u_1(a, \varphi, \theta) = -\frac{1}{2\pi^2} \sum_{m,n} \left\{ \frac{\cos(m\varphi + n\theta)}{\omega_0^2 - (m\omega_0 + n\omega)^2} \times \right. \\ \left. \times \int_0^{2\pi} \int_0^{2\pi} f_o(a, \varphi, \theta) \cos(m\varphi + n\theta) d\varphi d\theta + \right. \\ \left. + \frac{\sin(m\varphi + n\theta)}{\omega_0^2 - (m\omega_0 + n\omega)^2} \int_0^{2\pi} \int_0^{2\pi} f_o(a, \varphi, \theta) \sin(m\varphi + n\theta) d\varphi d\theta \right\}.$$

Здесь в $f_o(a, \varphi, \theta)$ входят значения a и φ , найденные в первом приближении.

В явном виде $u_1(a, \varphi, \theta)$ равно:

$$u_1(a, \varphi, \theta) = -\frac{\delta}{\omega} \Phi (1 + 3b_3 a^2 + \frac{3}{4} b_3 \Phi^2) \times \\ \times \sin \omega t - \frac{3}{4} \frac{\delta}{\omega} b_3 a \Phi^2 \sin 2\omega t - \\ - \frac{1}{12} \frac{\delta}{\omega} b_3 \Phi^3 \sin 3\omega t. \quad (10)$$

С учетом (10) выражение для потокосцепления во 2-ом приближении будет:

$$\psi = a_0 \cos \varphi_0 - \frac{\delta}{\omega} \Phi (1 + 3b_3 a^2 + \frac{3}{4} b_3 \Phi^2) \sin \omega t - \\ - \frac{3}{4} \frac{\delta}{\omega} b_3 a \Phi^2 \sin 2\omega t + \frac{1}{12} \frac{\delta}{\omega} b_3 \Phi^3 \sin 3\omega t + \\ + \Phi \cos(\omega t + \gamma), \quad (11)$$

где:

$$a = a_0 \exp \left\{ -\frac{\delta}{2} \left[1 + \frac{3}{2} b_3 \left(\frac{a^2}{2} + \Phi^2 \right) \right] t \right\}.$$

Из (11) видно, что в переходном процессе в потокосцеплении (магнитном потоке) содержатся как нечетные, так и четные гармоники:

$$\frac{3}{4} \frac{\delta}{\omega} b_3 a \Phi^2 \sin 2\omega t,$$

причем величина четных гармоник пропорциональна величине апериодической составляющей. Время их существования зависит также от продолжительности существования подмагничивающего потока.

При $t \rightarrow \infty$, в соответствии с (8), $a \rightarrow 0$.

После затухания апериодической составляющей и четных гармоник в потокосцеплении остаются только нечетные гармоники частоты вынуждающей эдс, что характерно для обычного режима насыщения:

$$\Psi = -\frac{\delta}{\omega} \Phi (1 + \frac{3}{4} b_3 \Phi^2) \sin \omega t -$$

$$-\frac{1}{12} \frac{\delta}{\omega} b_3 \Phi^3 \sin 3\omega t + \Phi \cos(\omega t + \gamma).$$

Таким образом, в переходном процессе в спектре магнитного потока содержатся как нечетные, так и четные гармоники. При подсоединении к нелинейной индуктивности колебательной системы, настроенной на четные гармоники, последние могут усиливаться до значительных амплитуд. Такое усиление в некоторых случаях может быть нежелательным явлением, как, например, при включении блочных передач со стороны низшего направления [2].

ЛИТЕРАТУРА

1. Богодюбов Н. Н., Митропольский Ю. А. Асимптотические методы в теории нелинейных колебаний. М., 1963. 2. Артемьев Д. Е. Внутренние перенапряжения в электротехниках без источников на стороне высшего напряжения. «Электрические стационары», № 9, 1961.

Институт физики

Ч. М. Чуварлы, Г. А. Миронов

Поступило 17. VII 1970

Симметрик магнитләшмә характеристикалы гејри-хәтти индуктивлийн дөврәјә бағланма режиминде чүт гармоникләрин жарапасы

ХҮЛАСӘ

Магнитләшмә симметрик магнитләшмә характеристикалы гејри-хәтти индуктивлийн дөврәјә бағланма режиминде чүт гармоникләрин жарапасы мүмкүннаты кәстәрләмешdir. Чүт гармоникләрә көкләнмиш еңিসаз системи гејри-хәтти индуктивләјә бағланып, онларда чүт гармоникләр кәсекин күчләнир. Белә күчләнмә бә'зи һаллarda истәнилмәжән һадиседir. Бу һадисә, мисал үчүн, блоклу өтүрүлмәләрдә трансформаторун алчаг кәркинилкли тәрәфдән бағланышында баш верир.

Ch. M. Juvarly, G. A. Mironov

The even harmonics, arising in regime of putting on of the nonlinear inductance with symmetric magnetizing characteristic

SUMMARY

There are given the theory of even magnetic flow harmonics arising by putting on of the nonlinear inductance and methods of calculation of amplitude and phase of doubled frequency harmonics.

АЗЭРБАЙЖАН ССР ЕЛМЛӘР АКАДЕМИЯСЫНЫН МӘРУЗӘЛӘРИ

ДОКЛАДЫ АКАДЕМИИ НАУК АЗЕРБАЙДЖАНСКОЙ ССР

ТОМ XXVII

№ 9

1971

УДК 678.742.542.91, 001.57

ОРГАНИЧЕСКАЯ ХИМИЯ

Ф. В. МАМЕДОВ, Ф. М. ТАГИЕВА, Г. С. КОЛЕСНИКОВ, Г. Т. ГУРГЕНИДЗЕ

СИНТЕЗ И ИССЛЕДОВАНИЕ ПРИВИТОГО СОПОЛИМЕРА НА ОСНОВЕ БУТИЛКАУЧУКА И АКРИЛОНИТРИЛА

(Представлено академиком АН Азербайджанской ССР М. А. Далиним)

Синтез сополимеров методом привитой сополимеризации дает возможность получить продукты с заранее заданными свойствами [1, 4].

Целью настоящей статьи является получение привитого сополимера на основе двухкомпонентной системы бутилкаучук-акрилонитрил. Реакцию проводили в среде бензола в присутствии инициатора—перекиси бензоила при температуре 70–80°C в течение 5 ч.

Полученный сополимер представляет собой эластичный продукт, не растворимый в бензоле, толуоле, бензине, частично растворимый в CCl_4 .

Продукт реакции экстрагировали бензином и бензолом для выделения непрореагированного каучука.

Содержание нитрильных групп в продукте реакции определяли методом омыления; оно составляло 23%, в экстрагированном привитом сополимере и в экстракте оно было равно 25,5 и 7%, т. е. при экстрагировании выделяется не каучук, а фракция привитого сополимера, содержащая небольшое количество поликарилонитрильных ветвей, содержание которой в продукте составляет до 30%.

Опыты проводились при различных соотношениях бутилкаучука и акрилонитрила. Весовое соотношение каучук:акрилонитрил составляло 19:1 и 1:4. Бензол брали в 4 раза больше суммы реагирующих веществ.

Были определены константы полимеризации, энергия активации, порядок и скорость реакции.

Для определения константы полимеризации по ходу реакции определяли изменение коэффициента рефракции, на основе чего был построен график «коэффициент рефракции—время» (рис. 1).

Одновременно по содержанию сухого остатка определяли конверсию акрилонитрила. Для этого через определенные промежутки времени в предварительно извещенный бюкс отбирали пробу реакционной смеси при помощи пинсетки Лунге-Рея. После выпаривания растворителя и непрореагированного мономера определяли величину сухого остатка.

Степень конверсии акрилонитрила вычисляли по следующей формуле:

$$x = \frac{\frac{a_3 - a_1}{a_2 - a_1} - c}{b} \cdot 100\%,$$

где: a_1 — вес бюкса, a_2 — вес бюкса с навеской, a_3 — вес бюкса с сухим остатком, b — содержание мономера в 1 г реакционной смеси, c — содержание каучука в 1 г реакционной смеси.

На основании полученных данных была построена зависимость "конверсия—время" (рис. 2).

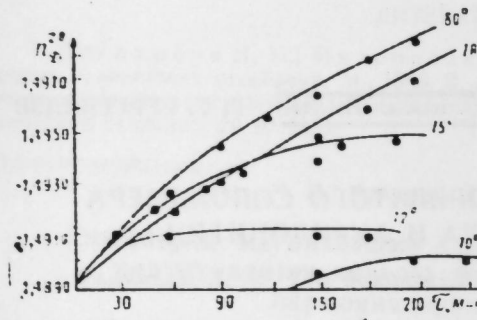


Рис. 1. Зависимость коэффициента преломления от времени.

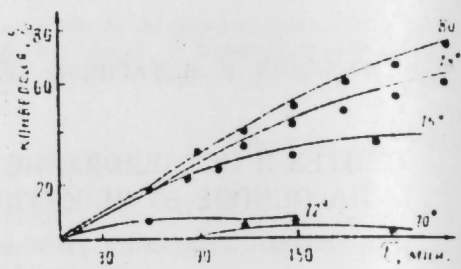


Рис. 2. Зависимость конверсии мономера от времени.

По данным рис. 1 и 2 была построена калибровочная кривая "коэффициент преломления—конверсия" (рис. 3).

Подобные определения проводили при температурах 70, 72, 75, 78 и 80°. Порядок реакции определяли аналитическим и графическим методами. Для определения порядка реакции аналитическим путем вычисляли константу скорости реакции по формуле [2]:

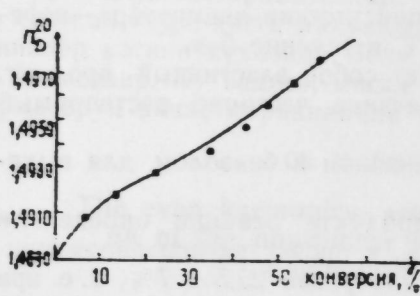


Рис. 3. Зависимость коэффициента преломления от конверсии.

где: a — исходная концентрация мономера;

x — концентрация мономера в момент времени t .

Полученные данные приведены в таблице.

Как видно из таблицы, значения константы скорости реакции полимеризации при одной и той же температуре колеблются незначительно и можно считать константу скорости постоянной, что служит доказательством того, что реакция 1-го порядка.

Таким образом, скорость реакции полимеризации акрилонитрила описывается уравнением [3]:

$$V = K [m] [I]^{\frac{1}{2}},$$

где: $[m]$ — концентрация мономера;

$[I]$ — концентрация инициатора, моль/л.

При исходной $[m] = 2,2$ моль/л и $[I] = 0,005$ моль/л скоростьreak-

Константы скорости реакции полимеризации акрилонитрила в растворе бутилкаучука в бензоле

Температура, °C	Время, сек	$K \cdot 10^5$, сек $^{-1}$	$K_{ср.} \cdot 10^5$, сек $^{-1}$
70	9 000	0,90	0,905
	12 600	0,91	
72	980	2,90	2,15
	1 800	2,10	
75	9 900	4,2	4,2
	10 800	4,2	
	12 600	4,2	
78	9 000	6,20	6,2
	10 800	6,20	
	12 600	6,18	
	14 400	6,20	
80	9 000	8,50	8,4
	10 800	8,40	
	12 600	8,40	
	14 400	8,40	

ции полимеризации акрилонитрила в растворе бутилкаучука в бензоле при 70, 72, 75, 78 и 80° равна $1,5 \cdot 10^{-6}$; $3,9 \cdot 10^{-6}$; $8,0 \cdot 10^{-6}$; $11 \cdot 10^{-6}$ и $14,9 \cdot 10^{-6}$ моль/л·сек соответственно.

Для реакции первого порядка имеется следующая зависимость между временем полупревращения мономера и константой скорости реакции [2]:

$$\tau_{1/2} = \frac{0,693}{K}.$$

Время полупревращения составляет при 70, 72, 75, 78 и 80° 21; 9; 4; 3 и 2,2 ч соответственно. Энергия активации процесса полимеризации акрилонитрила в растворе бутилкаучука в бензоле, найденная графически, оказалась равной 42,4 ккал/моль.

Выводы

- Получен привитый сополимер на основе двухкомпонентной системы бутилкаучук — акрилонитрил.
- Определены оптимальные условия проведения реакции.
- Определены скорость и энергия активации реакции сополимеризации.

ЛИТЕРАТУРА

- Хувинк Р., Ставерман А. Химия и технология полимеров. Изд-во "Химия", 1965.
- Лейдлер К. Кинетика органических реакций. Изд-во "Мир", 1966.
- Багдасарьян Х. С. Теория радикальной полимеризации. Изд-во "Наука", 1966.
- Колесников Г. С., Рустамов А. Г., Мамедов Ф. В. Высокомолекулярные соединения. Баку, 10, 66, 1968.

АЗИНЕФТЕХИМ

Поступило 5. XII 1969

Тәдгигатда бутилкаучук-акрилонитрил системиниң әсасында чалаг биркәполимер алынышдыр. Чалаг биркәполимерләшмә просесинин сүр'ети вә активләшмә енержиси тә'жин едилемниш, алыныш биркәполимерин бә'зи хассәләри өјрәнилмишdir.

F. V. Mamedov, F. M. Tagieva, G. S. Kolesnikov, G. T. Gurgenidze

Sintesis and investigation of graft copolymers on the basis of the butilresin and akrilonitril

SUMMARY

On the bases of butilresin and akrilonitril there were obtained the graft copolymers. There were studied the kinetical regularities of the process.

Академик С. Д. МЕХТИЕВ, Э. Т. СУЛЕЙМАНОВА, М. Р. МУСАЕВ,
Л. И. ХАСУМОВ, М. И. МИРГАСАНОВА

О КОНДЕНСАЦИИ ГИДРОАРОМАТИЧЕСКИХ АЛЬДЕГИДОВ
С МЕТИЛЭТИЛКЕТОНОМ

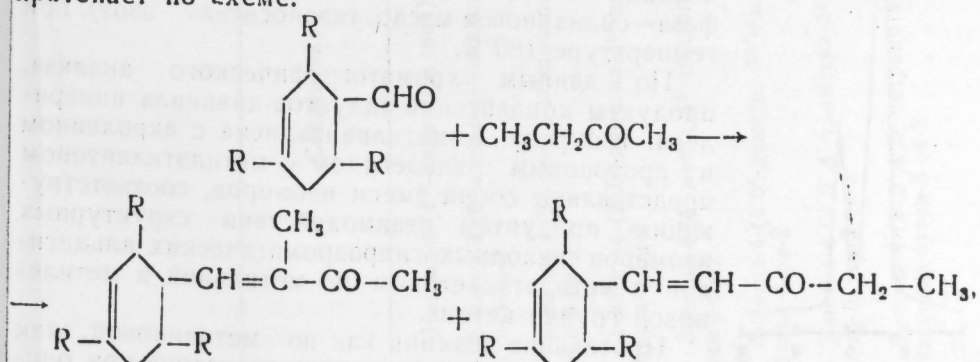
Гидроароматические альдегиды — аддукты сопряженных диеновых углеводородов и непредельных альдегидов алфатического ряда по Дильтсу и Альдеру [1] могут служить промежуточными соединениями для получения на их основе душистых, фармацевтических и других ценных продуктов органического синтеза.

В 1937 г. Б. Арбузов с сотрудниками [2] конденсацией 5-метилциклогексен-3-альдегида-1 с метилэтилкетоном получили соответствующие кетоны гидроароматического ряда с приятным фруктовым запахом.

В 1938 г. Н. Чаянов [3] описал конденсацию Δ^3 -тетрагидробензальдегида с метилэтилкетоном с получением тетрагидростирилэтилкетона с цветочным запахом.

Нами исследована реакция конденсации гидроароматических альдегидов — аддуктов дивинила, пиперилена, изопрена, 2,4-диметилпентадиена с акролином и кротоновым альдегидом — с метилэтилкетоном с целью синтеза потенциальных душистых веществ или промежуточных соединений для них.

Конденсация гидроароматических альдегидов с метилэтилкетоном протекает по схеме:



где $R = \text{CH}_3$ или H , и приводит к образованию непредельных цикли-

ческих кетонов гидроароматического ряда — Δ^3 -тетрагидробензилиденбутанонов с выходами 30—86% от теор.

Состав и строение продуктов реакции изучались методами газожидкостной хроматографии и инфракрасной спектроскопии.

ЭКСПЕРИМЕНТАЛЬНАЯ ЧАСТЬ

Исходные гидроароматические альдегиды получены нами конденсацией дивинила, пиперилена, изопрена и 2,4-диметилпентадиена с акролеином и кротоновым альдегидом по известной методике [1] нагреванием эквимолярных количеств диена и альдегида в запаянной стальной ампуле при температуре 200°C в течение 2,5 ч. Физико-химические свойства полученных гидроароматических альдегидов приводятся в [1].

Конденсацию гидроароматических альдегидов с метилэтилкетоном проводили в трехгорной колбе, снабженной механической мешалкой, обратным холодильником, капельной воронкой и термометром, помещенной в водяную баню при найденных для Δ^3 -тетрагидробензальдегида оптимальных условиях: молярном соотношении альдегида и кетона 1:25, температуре 60°C и продолжительности опыта 2 часа.

К перемешиваемой смеси гидроароматического альдегида и метилэтилкетона в определенном соотношении прикалывали 21,2% вес. от смеси реагентов катализатора — 20%-ного водного раствора KOH. По окончании опыта реакционную смесь, охлажденную до комнатной температуры, нейтрализовали разбавленной серной кислотой и после промывки и высушивания подвергали разгонке — атмосферной с отгонкой непрореагировавшей части метилэтилкетона, затем вакуумной — с выделением целевого продукта реакции. Полученные продукты конденсации подвергали повторной разгонке и анализу с применением, в частности, газожидкостного хроматографического и ИКС-методов.

Физико-химические свойства и выхода синтезированных соединений приводятся в табл.

Из синтезированных соединений лишь два описаны в литературе: Δ^3 -тетрагидробензилиденбутанон и 2-метил- Δ^3 -тетрагидробензилиденбутанон, полученные, соответственно, конденсацией Δ^3 -тетрагидробензальдегида [3] и 2-метил- Δ^3 -тетрагидробензальдегида [2] с метилэтилкетоном.

Хроматограммы некоторых из синтезированных соединений, снятые на аппарате „Цвет“ (длина колонки — 3 м, диаметр — 6 мм, неподвижная фаза — силиконовое масло, газоноситель — азот) при температуре 180°C.

По данным хроматографического анализа, продукты конденсации аддуктов дивинила пиперилена, изопрена, диметилпентадиена с акролеином и кротоновым альдегидом с метилэтилкетоном представляют собой смеси изомеров, соответствующих продуктам взаимодействия структурных изомеров исходных гидроароматических альдегидов с метилэтилкетоном по метильной и метиленовой группе кетона.

Протекание реакции как по метиленовой, так и по метильной группе метилэтилкетона при описанных условиях проведения эксперимента доказано на примере конденсации Δ^3 -тетрагидробензальдегида (аддукта дивинила с акролеином) с метилэтилкетоном.

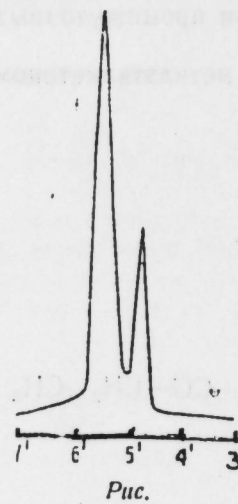


Рис.

Таблица

№ пп.	Соединения	Элементарный состав											
		MIR_D		C		H		O					
Выход на взят. альдегид, %	Темп. кип. °C/мм	d_4^{20}	n_D^{20}	найд.	выч.	найд.	выч.	найд.	выч.				
1	3-метил-4-(Δ^3 -циклогексенил)-бутен-3-он-2	85,9	150—152/20	0,9717	1,4990	49,5	49,9	80,63	80,48	9,91	9,75	9,45	9,75
2	3-метил-4-(б'-метил- Δ^3 -циклогексенил)-бу- тен-3-он-2	54,5	138—140/10	0,9527	1,4910	54,1	54,5	80,67	80,89	10,40	10,11	8,92	8,93
3	3-метил-4-(2'-метил- Δ^3 -циклогексенил)-бу- тен-3-он-2	49,1	136—138/20	0,9502	1,4930	54,4	54,5	80,39	80,89	10,47	10,11	9,13	8,93
4	3-метил-4-(2',6'-диметил- Δ^3 -циклогексенил)- бутен-3-он-2	31,5	122—124/14	0,9539	1,4960	58,7	59,1	80,67	81,25	10,80	10,41	8,52	8,33
5	3-метил-4-(4'-метил- Δ^3 -циклогексенил)-бу- тен-3-он-2	61,2	133—134/20	0,9490	1,4910	54,3	54,5	80,65	80,89	10,50	10,11	8,80	8,98
6	3-метил-4-(4'6'-диметил- Δ^3 -циклогексенил)- бутен-3-он-2	40,1	130—132/10	0,9515	1,4950	58,8	59,1	80,74	81,25	10,60	10,41	8,65	8,33
7	3-метил-4-(2',2',4'-триметил- Δ^3 -циклогексе- нил)-бутен-3-он-2	36,0	135—137/20	0,9540	1,4970	63,1	63,7	81,76	81,55	10,54	10,67	7,69	7,76
8	3-метил-4-(2',2',4',6'-тетраметил- Δ^3 -цикло- гексенил)-бутен-3-он-2	26,0	132—133/18	0,9565	1,4995	67,5	68,3	81,59	81,81	11,00	10,90	7,40	7,27

На хроматограмме полученного при этом Δ^3 -тетрагидробензилиденбутанона (рисунок) видны 2 пика, что свидетельствует о наличии в продукте реакции двух изомеров—продуктов конденсации Δ^3 -тетрагидробензальдегида с метилэтилкетоном по метиленовой и метильной группе кетона.

Инфракрасные спектры синтезированных соединений, снятые на спектрометре UR-20 с призмами NaCl и LiF, подтверждают наличие в молекуле синтезированных соединений двойной C=C-связи (1620—1640 cm^{-1}) и карбонильной группы (1710—1725 cm^{-1}).

Выводы

Конденсацией гидроароматических альдегидов—аддуктов дивинила, пиперилена, изопрена и 2,4-диметилпентадиена с акролеином и кротоновым альдегидом—с метилэтилкетоном в щелочной среде получен ряд Δ^3 -тетрагидробензилиденбутанонов.

Синтезированные соединения исследованы методами газожидкостной хроматографии и инфракрасной спектроскопии и охарактеризованы физико-химическими свойствами.

ЛИТЕРАТУРА

1. Diele O., Alder K. Ann. 460, 98, 1928, 470, 63, 1929.
2. Арбузов Б., Зиновьев З., Финк И. ЖХХ, т. VII, вып. 7, 2279, 1937.
3. Чайков Н. ЖХХ, 8, 460, 1938.
4. С. Д. Мехтиев и др., «ДАН Азерб. ССР», №7, 1971.

Институт нефтехимических процессов

Поступило 19. 1 1971

С. Ч. Мехтиев, Е. Т. Сулейманова, М. Р. Мусаев,
Л. И. Гасымов, М. И. Миргасанова

Hydroaromatic aldehydes-methylketone adducts
condensed in methylethylketone

ХУЛАСӘ

Дојмамыш дијен карбоидрокенләри—дивинил, пиперилен, изопрен вә 2,4-диметилпентадиенин акролеин вә кротон алдеһиди илә аддукту олан һидроароматик алдеһидләрин метилэтилкетонлы гәләви мүнхитдә конденсләшмәсендән бир сырға мұвағиг алитсиклик дојмамыш кетонлар алынышыдыр ки, буллар гурулушча әтирли маддә олан иронунан аналогларыдыр.

Алынаң бирләшмәләрин тәркиби вә гурулушу газ хроматографија вә һәмчинин инфрагырымызы спектроскопија үсуллары илә тәдгиг олуныш, онларын физики-химјәви хассаләри өјрәнилмишdir.

S. D. Mekhtiev, E. T. Suleimanova, M. R. Musaev,
L. Y. Kasumov, M. Y. Mirgasanova

About the condensation of hydroaromatic aldehydes
with methylethylketone

SUMMARY

By the reaction of hydroaromatic aldehydes-adducts of divinyl, piperylene, isoprene and 2,4-dimethylpentadiene with acrolein and crotonaldehyde in the presence of potassium hydroxide with methylethylketone some unsaturated alicyclic ketones are obtained and their properties are studied.

АЗЭРБАЙЖАН ССР ЕЛМЛӘР АКАДЕМИЈАСЫНЫН МӘРҮЗӘЛӘРИ

ДОКЛАДЫ АКАДЕМИИ НАУК АЗЕРБАЙДЖАНСКОЙ ССР

ТОМ XXVII

№ 9

1971

УДК 547.594.

НЕОРГАНИЧЕСКАЯ ХИМИЯ

Р. А. АБДУЛАГИМОВА, П. Ф. РЗА-ЗАДЕ, А. А. АБДУЛАГИМОВ

ИЗОТЕРМЫ РАСТВОРИМОСТИ СИСТЕМ

($\text{NaAlO}_2 + \text{NaOH}$)— NaVO_3 — Na_3PO_4 — H_2O и ($\text{NaAlO}_2 + \text{NaOH}$)—
— Na_2SO_4 — Na_3PO_4 — H_2O ПРИ 25°C

(Представлено академиком АН Азербайджанской ССР Г. Б. Шахтахтинским)

В настоящей статье излагаются диаграммы равновесных состояний системы ($\text{NaAlO}_2 + \text{NaOH}$)— NaVO_3 — Na_3PO_4 — H_2O при 25°C и результаты изучения натриевого фосфата алюминия оптически, термографически и методом инфракрасной спектроскопии. Тройные системы, входящие в четвертную ($\text{NaAlO}_2 + \text{NaOH}$)— NaVO_3 — Na_3PO_4 — H_2O , нами изучены ранее.

Опыты проводились в стальных нержавеющих сосудах с механическим перемешиванием при 25° в течение 155 ч. Затравочное отношение 1,0. Маточные растворы отделялись от осадков фильтрацией и анализировались на содержание в них Na_2O ; Al_2O_3 ; V_2O_5 ; P_2O_5 .

Для исследования влияния фосфора на процесс разложения алюминиевых растворов вводили добавки орто-фосфата натрия в количестве 0,5; 1,5; 2,0; 2,5; 10,0%, а для ванадия—метаванадата натрия в количестве 0,5—15,0%.

Системы изучались методом изотермической растворимости. Анализ растворов, а также осадки-пульпы производили объемным, весовым и фотоколориметрическим (также нефелометрическим) методами. Контроль за процессом велся путем периодического отбора жидкой фазы на анализ. Твердые фазы контролировались кристаллооптическим методом. Состав твердых фаз определялся анализом остатка по методу Шрейнемакерса.

Экспериментальные данные представлены в табл. I. В результате построена диаграмма растворимости (рис.). На диаграмме отложены весовые проценты компонентов— NaVO_3 , Na_3PO_4 и ($\text{NaAlO}_2 + \text{NaOH}$) по трем направлениям, параллельным соответствующим осям. Выбор масштаба произвольный. На диаграмме видны семь полей, соответствующих различным твердым фазам, кристаллизующимся в этой системе: $\text{Al}_2\text{O}_3 \cdot 2\text{Na}_2\text{O} \cdot 14\text{H}_2\text{O}$; $\text{Al}_2\text{O}_3 \cdot 2\text{Na}_2\text{O} \cdot 10\text{H}_2\text{O}$; $\text{NaVO}_3 \cdot 2\text{H}_2\text{O}$; $\text{Na}_3\text{PO}_4 \cdot 12\text{H}_2\text{O}$; $3\text{Al}_2\text{O}_3 \cdot 4\text{Na}_2\text{O} \cdot \text{P}_2\text{O}_5 \cdot 15\text{H}_2\text{O}$ и $4\text{Na}_2\text{O} \cdot \text{P}_2\text{O}_5 \cdot \text{V}_2\text{O}_5 \cdot 30\text{H}_2\text{O}$.

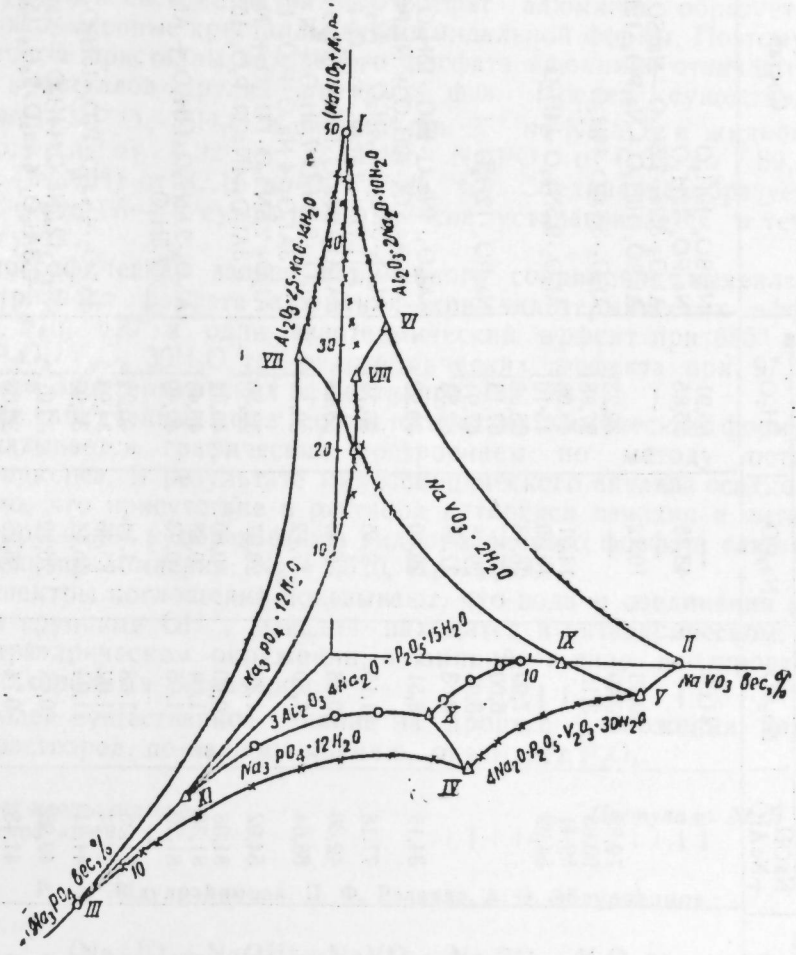
Каждое поле на диаграмме отвечает одной твердой фазе. В системе обнаружено новое соединение: $3\text{Al}_2\text{O}_3 \cdot 4\text{Na}_2\text{O} \cdot \text{P}_2\text{O}_5 \cdot 15\text{H}_2\text{O}$. Предел

Таблица 1

(NaAlO₂ + NaOH) — NaVO₃ — Na₃PO₄ · H₂O при 25°С

№ пп.	Состав жидкой фазы, %			Состав остатка			Состав
	NaOH + + NaAlO ₂	NaVO ₃	Na ₃ PO ₄	NaOH + + NaAlO ₂	NaVO ₃	Na ₃ PO ₄	
1	—	17,42	—	—	77,21	—	NaVO ₃ · 2H ₂ O
2	—	12,30	—	—	—	—	· Na ₃ PO ₄ · 12H ₂ O
3	—	12,05	5,21	—	12,11	43,15	4Na ₃ PO ₄ · P ₂ O ₅ · V ₂ O ₅ · 30H ₂ O + Na ₃ PO ₄ · 12H ₂ O
4	—	17,00	1,92	—	18,80	13,36	4Na ₃ AlO ₂ · P ₂ O ₅ · V ₂ O ₅ · 30H ₂ O + NaVO ₃ · 2H ₂ O
5	—	1,99	—	—	—	3,00	4Na ₃ AlO ₂ · 2Na ₂ O · 10H ₂ O + NaVO ₃ · 2H ₂ O
6	32,64	—	0,66	—	—	—	Al ₂ O ₃ · 2Na ₂ O · 10H ₂ O + Na ₃ PO ₄ · 12H ₂ O
7	29,60	0,22	—	57,87	15,22	—	—
8	42,17	0,49	—	54,89	15,44	—	—
9	46,48	—	0,26	59,41	—	—	Al ₂ O ₃ · 2Na ₂ O · 10H ₂ O
10	42,11	0,29	0,36	54,92	—	—	Al ₂ O ₃ · 2,5Na ₂ O · 14H ₂ O + Al ₂ O ₃ · 2Na ₂ O · 10H ₂ O
11	40,09	0,44	0,18	75,07	0,36	14,21	—
12	34,27	0,44	0,18	75,07	0,31	15,30	—
13	30,13	0,59	0,21	75,07	0,31	15,30	—
14	—	12,49	4,35	—	—	—	—
15	—	16,01	1,31	—	—	—	—
16	—	—	1,00	9,03	—	—	—
17	—	4,43	5,41	—	—	—	—
18	—	10,82	4,40	—	—	—	—
19	1,98	13,61	1,49	25,43	16,36	29,33	—
20	21,36	1,18	0,19	50,71	10,85	29,18	4Na ₂ O · P ₂ O ₅ · V ₂ O ₅ · 30H ₂ O + 3Al ₂ O ₃ · 2H ₂ O
21	15,44	2,40	0,26	50,71	10,85	29,15	×P ₂ O ₅ · 15H ₂ O + NaVO ₃ · 2H ₂ O
22	0,84	9,20	4,16	23,19	9,92	33,36	3Al ₂ O ₃ · 4Na ₂ O · P ₂ O ₅ · 15H ₂ O + Na ₃ PO ₄ · 12H ₂ O
23	0,29	0,19	7,34	42,85	0,34	36,58	3Al ₂ O ₃ · 2,5Na ₂ O · 14H ₂ O + 3Al ₂ O ₃ · 4Na ₂ O · 12H ₂ O
24	23,18	0,83	0,27	54,92	0,73	29,07	×P ₂ O ₅ · 15H ₂ O + Na ₃ PO ₄ · 12H ₂ O
25	19,93	0,61	0,22	41,53	0,32	36,28	3Al ₂ O ₃ · 4Na ₂ O · P ₂ O ₅ · 15H ₂ O + Na ₃ PO ₄ · 12H ₂ O
26	13,04	0,14	0,41	41,48	0,35	36,26	3Al ₂ O ₃ · 4Na ₂ O · P ₂ O ₅ · 15H ₂ O + 4Na ₂ O · P ₂ O ₅ · V ₂ O ₅ · 30H ₂ O
27	1,81	10,61	1,09	27,45	12,74	31,57	—
28	1,01	8,25	2,60	—	—	—	—
29	0,93	7,00	4,09	41,55	0,22	36,15	36,83
30	0,63	5,49	41,49	0,27	36,22	36,83	—

существования гидронатриевого фосфата алюминия в системе при 25° по NaVO₃ в жидкой фазе находится от 0,75 до 13,61, по Na₃PO₄ — 0,31—7,34%, а по (NaAlO₂ + NaOH) — 27,33—0,29% (вес. %). Полученное соединение образуется в системе через 40—55 суток и равновесие устанавливается в течение 75—80 суток.

Рис. Система (NaAlO₂ + NaOH) — Na₂SO₄ — Na₃PO₄ — H₂O

Экспериментальные данные по системе (NaAlO₂ + NaOH) — Na₂SO₄ — Na₃PO₄ · H₂O при 25° представлены в табл. 2. При построении диаграммы растворимости Na₃PO₄ весовые проценты компонентов (NaAlO₂ + NaOH); Na₂SO₄ отложены по трем направлениям, параллельным соответствующим осям.

Нами изучены также тройные системы, входящие в состав четвертной. Из тройной системы в первой — (NaAlO₂ + NaOH) — Na₂SO₄ — H₂O получены твердые фазы — Al₂O₃ · 3Na₂O · 7H₂O; Na₂SO₄ · 10H₂O, во второй — (NaAlO₂ + NaOH) — Na₂SO₄ — H₂O — Al₂O₃ · 2,5Na₂O · 14H₂O; Na₃PO₄ · 12H₂O и в третьей — Na₂SO₄ — Na₃PO₄ — H₂O — Na₂SO₄ · 12H₂O и Na₂SO₄ · 10H₂O.

На диаграмме видны шесть полей, соответствующих различным твердым фазам: Al₂O₃ · 2,5Na₂O · 14H₂O; Al₂O₃ · 3Na₂O · 7,5H₂O; Na₃PO₄ ·

№ пп.	Состав жидкой фазы, %				Состав остатка, %				Состав
	NaOH ⁺ NaAlO ₂	Na ₂ SO ₄	Na ₃ PO ₄	NaOH ⁺ + NaAlO ₂	Na ₂ SO ₄	Na ₃ PO ₄	H ₂ O		
1	—	21,90	—	—	44,09	—	—	55,91	Na ₂ SO ₄ ·10H ₂ O
2	—	7,46	12,30	—	—	—	—	56,85	Na ₃ PO ₄ ·12H ₂ O
3	21,15	20,75	2,10	—	20,89	10,12	—	—	Al ₂ O ₃ ·3Na ₂ O·7,5H ₂ O—Na ₂ SO ₄ ·10H ₂ O
4	—	0,29	0,39	—	79,82	—	—	32,23	Al ₂ O ₃ ·10H ₂ O+Na ₃ PO ₄ ·12H ₂ O
5	50,13	—	—	0,25	96,85	3,15	—	27,88	Al ₂ O ₃ ·3Na ₂ O·14H ₂ O
6	47,72	—	—	0,36	59,41	—	—	43,65	Al ₂ O ₃ ·9,5Na ₂ O·14H ₂ O
7	46,48	—	—	0,36	5,492	—	—	45,10	—
8	42,11	—	1,941	1,78	—	7,99	26,43	65,58	Na ₃ PO ₄ ·12H ₂ O
9	—	16,01	1,79	—	—	6,00	29,05	67,13	—
10	—	8,29	4,42	—	—	3,01	—	67,94	—
11	—	1,51	11,22	—	—	0,53	37,14	62,33	—
12	—	—	—	—	—	—	—	—	—
13	1,85	12,34	0,81	34,19	8,51	29,49	—	39,92	3Al ₂ O ₃ ·4Na ₂ O·P ₂ O ₅ ·15H ₂ O+Na ₃ PO ₄ ·12H ₂ O
14	32,16	0,92	0,38	77,18	1,15	9,45	—	36,73	Al ₂ O ₃ ·3Na ₂ O·7,5H ₂ O+Al ₂ O ₃ ·2,5Na ₂ O·14H ₂ O+3Al ₂ O ₃ ·4Na ₂ O·P ₂ O ₅ ·15H ₂ O
15	0,74	0,39	7,86	42,36	0,88	36,55	—	35,23	3Al ₂ O ₃ ·4Na ₂ O·P ₂ O ₅ ·15H ₂ O+Na ₃ PO ₄ ·12H ₂ O
16	28,34	1,65	0,28	68,64	7,40	17,12	—	30,18	Al ₂ O ₃ ·3Na ₂ O·7,5H ₂ O+Na ₂ SO ₄ ·10H ₂ O+3Al ₂ O ₃ ·4Na ₂ O·P ₂ O ₅ ·15H ₂ O
17	26,23	1,28	0,30	54,92	1,73	29,07	—	32,50	Al ₂ O ₃ ·2,5Na ₂ O·14H ₂ O+Na ₃ PO ₄ ·12H ₂ O+3Al ₂ O ₃ ·4Na ₂ O·P ₂ O ₅ ·15H ₂ O
18	46,00	0,44	0,26	81,88	0,90	0,65	—	40,82	—
19	42,62	0,63	0,43	81,36	1,04	0,88	—	40,45	Al ₂ O ₃ ·2,5Na ₂ O·14H ₂ O+Al ₂ O ₃ ·3Na ₂ O·7,5H ₂ O
20	37,92	1,01	0,55	81,20	1,05	0,93	—	40,49	—
21	30,23	1,31	0,46	—	—	—	—	40,22	—
22	28,42	1,61	0,39	81,08	1,08	1,14	—	—	—
23	28,00	1,45	0,28	44,24	11,02	25,46	—	34,93	3Al ₂ O ₃ ·4Na ₂ O·P ₂ O ₅ ·15H ₂ O+Na ₂ SO ₄ ·10H ₂ O
24	22,94	2,81	0,29	44,21	11,04	25,44	—	34,95	Al ₂ O ₃ ·2,5Na ₂ O·14H ₂ O+Na ₃ PO ₄ ·12H ₂ O+3Al ₂ O ₃ ·4Na ₂ O·P ₂ O ₅ ·15H ₂ O
25	26,07	1,36	0,54	49,98	0,68	26,32	—	39,61	—
26	26,10	1,21	0,19	41,48	0,74	36,25	—	36,06	—
27	22,00	1,61	0,64	41,48	0,63	36,25	—	36,17	—
28	18,06	1,09	0,58	—	—	—	—	35,98	—
29	2,42	0,01	0,81	41,48	1,12	36,15	—	30,41	—
30	0,65	2,46	2,06	41,46	0,62	36,24	—	—	—

· 12H₂O; Na₂SO₄·10H₂O; 3Al₂O₃·4Na₂O·P₂O₅·15H₂O. Как видно, на диаграмме основное место по размерам принадлежит полю кристаллизации натриевого фосфата алюминия. Поле натриевого фосфата алюминия граничит с полями почти всех фаз: Al₂O₃·2,5Na₂O·14H₂O; Al₂O₃·3Na₂O·7,5H₂O; Na₂SO₄·10H₂O; Na₃PO₄·12H₂O. Отсюда можно сделать вывод о том, что натриевый фосфат алюминия является наиболее устойчивой фазой.

В изученной системе натриевый фосфат алюминия образует прекрасно оформленные кристаллы дипирамидальной формы. Поэтому под микроскопом кристаллы натриевого фосфата алюминия отличаются от формы кристаллов других твердых фаз. Предел существования 3Al₂O₃·4Na₂O·P₂O₅·15H₂O в системе при 25° по Na₂SO₄ в жидкой фазе находится от 0,92 до 12,34; по Na₃PO₄ от 0,38 до 7,89, а по (NaAlO₂+NaOH) от 32,16 до 0,73 (вес, %). Соединение образуется в системе через 65–70 суток и равновесие устанавливается в течение 90–95 суток.

Термографическая запись полученного соединения выявила для гидронатриевого фосфата алюминия—три эндотермических эффекта при 100, 215, 990° и один экзотермический эффект при 655° и для 4Na₂O·P₂O₅·V₂O₅ 30H₂O три эндотермических эффекта при 97, 210, 885° и два экзотермических эффекта при 495, 785°.

Состав полученных фаз соответствует их химическим формулам, что доказывается графическим построением по методу остатков Шрейнемакерса. В результате микроскопического анализа осадков установлено, что присутствие в растворе пятиокиси ванадия и пятиокиси фосфора ведет к образованию гидронатриевого фосфата алюминия. Показатель преломления: Ng=1,520, Np=1,500.

ИК-спектры поглощения показывают, что вода в соединении представлена группами OH⁻, ванадий находится в октаэдрическом, фосфор—тетраэдрическом окружении, алюминий—в виде изолированных натрийкислородных тетраэдров.

Наиболее существенное влияние на процесс разложения алюминиевых растворов, по нашему мнению, оказывает P₂O₅.

Институт неорганической
и физической химии

Поступило 20. II 1971

Р. Э. Эбдулраимова, П. Ф. Рязаев, А. Э. Эбдулраимов

(NaAlO₂+NaOH)—NaVO₃—Na₃PO₄—H₂O в
(NaAlO₂+NaOH)—Na₂SO₄—Na₃PO₄—H₂O
системинин һәллөмасынын 25°C-дә изотерми

ХУЛАСЭ

(NaAlO₂+NaOH)—NaVO₃—Na₃PO₄—H₂O (NaAlO₂+NaOH)—Na₂SO₄—Na₃PO₄—H₂O-дан ибарәт системләр 25°C-дә ёјрәнилмисш вә 3Al₂O₃·4Na₂O·P₂O₅·15H₂O тәркибли йени бирләшмә алынышылдыр. Бу бирләшмәнин термограммы, рентгенограммы, спектри чәкилмиш, оптика хассасләре мүәјләнләширилмишләр.

Тәдгигатлар көстәрир ки, гәләви металларының фосфатлары алюминат мәһілләләрүүнүн парчаланымасына вә чөтин һәллөлан бирләшмәләрни әмәлә көлмәсина сәбәб олур.

Isotherms of dissolution of system
 $(\text{NaAlO}_2 + \text{NaOH}) - \text{NaVO}_3 - \text{Na}_3\text{PO}_4 - \text{H}_2\text{O}$
and $(\text{NaAlO}_2 + \text{NaOH}) - \text{Na}_2\text{SO}_4 - \text{Na}_3\text{PO}_4 - \text{H}_2\text{O}$ at 25°C

SUMMARY

Diagrams balanced conditions of system $(\text{NaAlO}_2 + \text{NaOH}) - \text{NaVO}_3 - \text{Na}_3\text{PO}_4 - \text{H}_2\text{O}$ and $(\text{NaAlO}_2 + \text{NaOH}) - \text{Na}_2\text{SO}_4 - \text{Na}_3\text{PO}_4 - \text{H}_2\text{O}$ at 25°C are stated and results of studying solium phosphate of aluminium optically, thermographycaly and by infra-red spectroscopy method.

The composition of got phases corresponds to their chemical formulas which is proved by graphic construction by method of Shreinemakers's residuum.

Академик Ш. Ф. МЕХТИЕВ, В. З. СИМХАЕВ

ОБ АНОМАЛЬНЫХ ДАВЛЕНИЯХ НИЖНЕКУРИНСКОЙ ВПАДИНЫ
(НА ПРИМЕРЕ МЕСТОРОЖДЕНИЯ КЮРОВДАГ)

Не останавливаясь подробно на эволюции развития представлений о механизме формирования АВПД [1, 2], следует отметить, что в настоящее время одни исследователи считают главной причиной появления АВПД геостатическое давление пород, другие же отдают предпочтение тектогенезу.

Анализ имеющегося фактического материала по месторождению Кюровдаг, расположенного в пределах Нижнекуринской впадины, показывает, что в формировании аномально высоких давлений основная роль принадлежит фактору тектогенеза и обусловливающемуся в связи с этим перетоком жидкостей по разрывным нарушениям нижележащих горизонтов в вышележащие.

Месторождение Кюровдаг в тектоническом отношении представляется собой брахиантклинальную складку, осложненную двумя основными продольными нарушениями, прослеживаемыми вдоль всей антиклинальной зоны Кюровдаг—Нефтечала. Помимо отмеченных нарушений, складка осложнена более мелкими продольными и поперечными нарушениями, делящими площадь на отдельные блоки.

Проведенные замеры начальных пластовых давлений в разрезе плиоценового комплекса отложений (апшерон, акчагыл, верхний отдел ПТ) месторождения Кюровдаг позволили выявить их энергетический потенциал, который в дальнейшем с успехом может быть использован при разработке и доразработке этого многопластового месторождения.

Замеры начальных давлений сведены в таблицу.

Согласно имеющимся табличным данным, нами выделяются три гидродинамических комплекса: апшеронский, акчагыльский и среднеплиоценовый, включающий верхи ПТ. Причем первые два комплекса (апшеронский и акчагыльский) с энергетических позиций идентичны, здесь величины начальных пластовых давлений в целом не превышают гидростатического напора. Лишь в отдельных скважинах (№ 600, 325), расположенных недалеко от основного продольного нарушения, пластовые давления превышают гидростатическое (см. табл.).

Наиболее четкая картина проявления аномально высоких пластовых давлений наблюдается в третьем гидродинамическом комплексе,

Отложения	№ скв.	Начальное пластовое давление, ат	$\frac{P_{пл.}}{P_{гидр.}}$
Средн. апшер.	600	64,4	1,07
	614	41,8	1,0
	615	33,5	1,0
	620	59,1	1,0
	654	106,5	1,0
	659	102,4	1,0
	325	163,7	1,06
Акчаг.	59	256,2	1,0
	243	247,9	1,1
	303	263,6	1,0
Прод. толща I горизонт	2	216,3	1,40
	7	230,0	1,43
	17	271,0	1,30
	42	205,2	1,70
	101	261,4	1,31
	102	259,3	1,40
	103	263,3	1,40
	104	293,4	1,33
	49	344,0	1,30
IV горизонт	286	405,0	1,51
	323	322,0	1,0
	324	351,5	1,03
	333	368,0	1,1
V горизонт	414	275,9	1,35
VI горизонт	505	272,2	1,17

включающем в себя с I по VI гор. верхнего отдела продуктивной толщи.

Детальный анализ замеров пластовых давлений показал, что природа АВПД продуктивной толщи месторождения Кюровдаг несет в себе тектоническую сущность. Причем формирование АВПД под влиянием тектогенеза происходит поэтапно. Каждый этап при существующей общности генезиса АВПД характеризуется разной формой распределения и передачи энергетических ресурсов осадочных образований.

Действительно, в результате первых фаз тектонических подвижек под влиянием миграции глубинных флюидов в пределах ПТ формируются АВПД. Чем глубже стратиграфически расположены горизонты, тем больше должно быть отношение $\frac{P_{пл.}}{P_{гидр.}}$. Подобный механизм составляет первый основной этап формирования АВПД в целом для верхов продуктивной толщи. Необходимо отметить, что в данном конкретном случае, высказанная мысль, из-за отсутствия большого количества фактического материала, подтверждается лишь в пределах

блока I "и", где в скв. № 4) начальное пластовое давление по II горизонту составляет 344,0 ат., а $\frac{P_{пл.}}{P_{гидр.}}$ = 1,30, в то время как в IV горизонте (скв. № 286) $P_{пл.} = 405$ ат., а $\frac{P_{пл.}}{P_{гидр.}}$ = 1,51. Как видим, $\frac{P_{пл.}}{P_{гидр.}}$ для IV горизонта больше, чем для II горизонта. Такая закономерность характерна для зон, расположенных далеко от разрывных нарушений. В случае же нахождения скважин у приразломных участков наблюдается иная картина распределения АВПД, т. е. здесь уже основную роль в гидродинамической зональности играет второй этап, сущность которого сводится к переформированию уже возникших АВПД. Причиной такого механизма являются последующие фазы тектонических подвижек, способствующие созданию новых и обновлению старых нарушений. Последнее приводит к разгрузке давлений в нижних горизонтах и передачи их в верхние. Таким образом, в низах разреза $\frac{P_{пл.}}{P_{гидр.}}$ становится меньше, чем в верхней части. Это отмечается по скважинам I—VI гор. Действительно, если в низах разреза (IV—VI гор.) $\frac{P_{пл.}}{P_{гидр.}}$ изменяется от 1,0 до 1,35, то в I горизонте отношение $\frac{P_{пл.}}{P_{гидр.}}$ достигает величины 1,40—1,70.

Ввиду того, что по I горизонту имеется большое количество замеров, приуроченных к различным частям структуры, нами установлена и горизонтальная гидродинамическая зональность, заключающаяся в уменьшении отношения $\frac{P_{пл.}}{P_{гидр.}}$ от сводовой (наиболее нарушенной) части структуры к крыльям складки. Так, в скв. №№ 2, 7, 42 отношение $\frac{P_{пл.}}{P_{гидр.}}$ соответственно равно 1,40, 1,43 и 1,70. Далее, по мере удаления от дизъюнктивных дислокаций (скв. № 17, 101, 104), отношение $\frac{P_{пл.}}{P_{гидр.}}$ варьирует в диапазоне 1,30—1,33.

Говоря о роли тектогенеза в формировании АВПД, не следует забывать о таком факторе, как литофациальная обстановка нахождения АВПД. Литологический фактор в некоторых случаях может выступать как форма сохранения возникших АВПД [1]. Это, возможно, касается замеренных давлений в скв. 102 и 103, где $\frac{P_{пл.}}{P_{гидр.}} = 1,40$, несмотря на то, что скв. № 102 и 103 находятся на значительном расстоянии от выявленных разрывных нарушений.

Итак, все вышеизложенное свидетельствует о том, что в апшеронско-акчагыльских отложениях, а также в продуктивной толще отмечаются аномальные давления. Последние наибольших значений достигают в продуктивной толще.

Природа возникновения АВПД нами связывается с тектогенезом, служащим транзитом флюида из нижележащих горизонтов в вышелег-

жащие, а также не отрицается роль литологического фактора и в некоторой степени фазового состояния флюида.

ЛИТЕРАТУРА

1. Аникиев К. А. Аномально высокие пластовые давления в нефтяных и газовых месторождениях. Изд-во „Недра“, Л., 1964.
2. Тхостов Б. А. Начальные пластовые давления в нефтяных и газовых месторождениях. Гостоптехиздат, 1960.

Институт геологии

Поступило 17 XII. 1969

Ш. Ф. Мехтиев, В. З. Симхайев

Ашағы Күр дүзәнлијинин аномал тәэзиги (Күровдағ жатағы үзрә)

ХУЛАСӘ

Мәгаләдә Күровдағ жатағының илк лај тәэзиги һағында мә'лumat верилмишdir. Мә'лumatлардан көрүнүр ки, аномал тәэзигин әмәлә кәлмәсі тектокенез илә әлагәдәр олуб, мәһлүлларын ашағы һоризонтлардан жуҳары һоризонтлара дөгру һәрәкәтиндә литологи амилин тәсири инкар олунмур.

Sh. F. Mekhtijev, V. Z. Simkhajev

On anomalous pressure of Kuyrovkura Depression (on the example of Kyurovdag deposit)

SUMMARY

Informations about the virgin pressure in Kyurovdag deposit are given in this article. It is seen from the data that the nature of origin of anomalous high formational pressure is connected with tectogenesis, served as transit of fluid from underlying horisont to overlying ones and the role of lithological faktor is not denied too.

АЗЭРБАЙЧАН ССР ЕЛМЛӘР АКАДЕМИЈАСЫНЫН МӘРУЗӘЛӘРИ

ДОКЛАДЫ АКАДЕМИИ НАУК АЗЕРБАЙДЖАНСКОЙ ССР

ТОМ XXVII

№ 9

1971

УДК 550.84

ГЕОХИМИЯ

Академик М. А. КАШКАЙ, В. А. ГРИНЕНКО, Н. М. ЗАИРИ

ИЗОТОПНЫЙ СОСТАВ СЕРЫ СУЛЬФИДОВ И ВМЕЩАЮЩИХ ПОРОД КАТЕХСКОГО КОЛЧЕДАНО- ПОЛИМЕТАЛЛИЧЕСКОГО МЕСТОРОЖДЕНИЯ В АЗЕРБАЙДЖАНЕ (ЮЖНЫЙ СКЛОНОВЬЕ БОЛЬШОГО КАВКАЗА)

Изучение изотопного состава серы в различных типах сульфидных месторождений позволило выяснить ряд принципиальных вопросов их генезиса. Наиболее определенно изотопный анализ позволяет выявить гомогенность источника серы, участвующей в рудообразовании, а в ряде случаев и некоторые процессы, протекавшие при отложении сульфидов.

Целью настоящей работы является получение на основании изучения вариаций изотопных отношений S^{32}/S^{34} , дополнительных данных для суждения о генезисе недавно открытого колчеданно-полиметаллического месторождения Катех вблизи аналогичной Филизчайской группы.

Несмотря на недостаточную геологическую изученность как всей Филизчайской группы месторождений южного склона Большого Кавказа, так и собственного Катехского колчеданно-полиметаллического месторождения, уже высказано несколько различных взглядов на их генезис, рассматривающихся с противоположных позиций. Одни авторы относят процесс образования группы месторождений к осадочно-экскавационному типу (осадочно-гидротермальному) с последующим наложением полиметаллов; другие — к гидротермально-метасоматическому; третьи видят в нем осадочно-метаморфическую концентрацию руд из глинисто-сланцевых пород; а некоторые объясняют образование месторождений на границе сероводородного геохимического барьера осаждением металлов из телес- и эпимеральных подземных вод трещинного типа.

Спорным вопросом во всех случаях обсуждения генезиса колчеданных месторождений является его син- или эпигенетический характер по отношению к вмещающим породам и источникам рудообразования. В течение последних десяти лет Филизчайская группа медных и полиметаллических месторождений колчеданного типа изучается комплексно. Управлением СМ Азербайджанской ССР по геологии, ЦНИГРИ Министерства геологии СССР и институтами Геологии и Неорганической и физической химии АН Азербайджанской ССР за это время накопился

большой фактический материал, позволяющий прийти к заключению о гидротермально-метасоматическом генезисе Филичайской группы, в том числе Катехского, а также и других рудопроявлений в Азербайджане, Кызылдере и Курту в Дагестанской АССР и т. п. Такого мнения о генезисе Филичайской группы месторождений придерживаются М. Б. Бородаевская, Н. К. Курбанов, С. Б. Зульфугаров и авторы данной статьи.

Медно-полиметаллические месторождения колчеданного типа в юго-восточной части Бэльца Кавказа расположены в специфической геолого-структурной зоне, охватывающей в пределах Азербайджана горные области Белоканского, Закатальского, Кахского районов, несомненно, продолжающиеся в Шекинском районе, возможно, и далее. В пределах Дагестанской АССР к этой зоне примыкают месторождения Кызылдере, Курту и др.

В этой зоне пока выявлены следующие крупные рудные концентры или районы: 1) Мазымчай-Белоканский; 2) Катехчай-Талачайский; 3) Карабай-Кишчайский и 4) Кызылдере-Куртинский. Обнаружение подобных рудных районов возможно в пределах Азербайджана, Дагестана и Грузии. М. А. Кашкай (1965) объясняет это наличием двух направлений взаимно пересекающихся дислокаций — продольного (общекавказского) и наложенного на него поперечного (антекавказского). Концентрация руд приворачивается в основном к узлам пересечения этих двух направлений дислокаций. В частности, к ряду структур антекавказского простирания приурочены месторождения Филичайской группы (что подтверждается геологической съемкой Б.А. Исаева, 1967). В подобных же геолого-структурных условиях располагается Катехчай-Талачайский рудный район.

Подобные научные обоснования, базирующиеся на геолого-структурных и металлогенических данных, позволяют ставить вопрос о дальнейших поисках руд филичайского типа к востоку от Белокано-Закатальского района — в Азербайджане, на севере и северо-востоке от него — в Дагестане и значительно западнее от р. Мазымчай — в Грузии.

Катехчайское месторождение, которому посвящена настоящая статья, приурочено к южному борту Тифанского антиклиниория, ограниченного с севера Гамзагорской, а с юга — Малкамудской надвиговыми зонами; между ними вырисовывается крупный приподнятый блок, названный Габиздаринской горст-антиклиналью. В пределах последней расположено собственно Катехское колчеданно-полиметаллическое месторождение.

По В. Н. Нагиеву (1968), Катехчайское месторождение сложено флишоидно-сланцевой толщой средней юры, в которой снизу вверх выделяются следующие свиты: 1) верхнесидеритовая (аален); 2) джиминская (аален); 3) хинанлугская (байос); 4) ленточно-сланцевая (бат). Наибольший интерес представляет верхнесидеритовая свита, в ней локализуются рудные тела месторождения. Эта свита представлена тремя подсвитами: а) флишоидной; б) песчано-сланцевой и в) глинисто-сланцевой с обильным содержанием алевролито-сидеритовых конкреций. Тонкослоистая флишоидная подсвита слагает низы данной свиты. Ритм флиша колеблется от нескольких ми до 5—6 см, а в грубых — 15—20 см. Средняя часть свиты сложена породами песчано-сланцевой подсвиты, которая характеризуется неравномерным чередованием преобладающих пропластков глинистых сланцев с песчаниками. Венчают разрез верхнесидеритовой свиты отложения конкреционной подсвиты. Алевролито-сидеритовые конкреции распространены в монотонных глинистых сланцах, образуя в одних случаях самостоятельные горизон-

ты, а в других — находясь в рассеянном виде. Полностью верхнесидеритовая свита эрозией не вскрыта и ее видимая мощность = 520 м. Развита она в сводовых частях антиклинальных складок, протягивающихся в субширотном направлении вдоль Малкамудского надвига и Гамзагорского разлома.

Рудные тела месторождения морфологически подразделяются на следующие типы: а) массивные галенит-сфalerит-пиритовые; б) обломковидные галенит-сфalerит-пиритовые; в) штокверково- прожилковые — галенит-сфalerит-пиритовые; г) пятнисто-вкрашенные галенит-сфalerит-пиритовые.

О МЕТОДИКЕ ИССЛЕДОВАНИЯ

Для изотопного анализа серы были отобраны мономинеральные пробы сульфидов. В случаях тесного срастания отдельных минеральных индивидов, сера их выделялась химическим разложением. Химическая подготовка образцов и определение изотопного состава серы в пробах проводились по известной методике (В. Устинов, В. Гриненко, 1967). За стандарт была принята сера троилитовой фазы метеорита Каньон-Дьябло, с соотношением $S^{32}/S^{34} = 22:22$. Измерения изотопного состава серы проводились на масс-спектрометре МС-1305 с точностью $\pm 0,3\%$.

ОБСУЖДЕНИЕ РЕЗУЛЬТАТОВ

Главной задачей, которую авторы ставили при изучении изотопных вариаций серы на Катехском месторождении, являлось выяснение источника серы рудных минералов: имела ли она биогенное происхождение или была привнесена из глубинного высокотемпературного очага? При постановке такого вопроса мы исходили из следующих положений.

Известно, что изотопный состав серы сульфидов различных типов гидротермальных месторождений показывает средние значения δS^{34} в диапазоне от +20 до —10‰ (Л. Гриненко и В. Гриненко, 1967). Однако пределы вариаций величины δS^{34} в каждом месторождении для основной массы сульфидов чаще всего составляют 6—7‰. С другой стороны) осадочные сульфиды, образовавшиеся в морях и лагунах в результате бактериальной редукции, показывают широкий диапазон изотопного состава серы — от значений δS^{34} , равных +40, до —45‰, причем они преимущественно обогащены изотопом S^{32} . Аналогичный характер вариаций изотопного состава наблюдается и для сульфидов, образовавшихся в результате смешения глубинных растворов, несущих металлы, с пластовыми сероводородными водами, поскольку сероводород последних в большинстве случаев является биогенным. Но наряду с подобными обособлениями сульфидов железа вмещающих толщ, среди рудных тел Катехского месторождения нами были обнаружены конкреции пирита, несущие признаки обработки их гидротермальными растворами.

Исходя из этого были проанализированы конкреции пирита из глинистосланцевой толщи Катехского месторождения и взятые по разрезу в 80—100 м выше от базального слоя вверх по руслу р. Большая Габиздере, а также исследовалась сера пиритов, рассеянных в глинистых сланцах безрудного и рудного интервалов, и, наконец, сера сульфидов рудных тел.

В центральной части конкреций, взятых из осадочных толщ, встречаются реликты глинистых сланцев (рис. 1, 2). Конкреция состоит из гарегатов тонкозернистого пирита в центральных частях до более

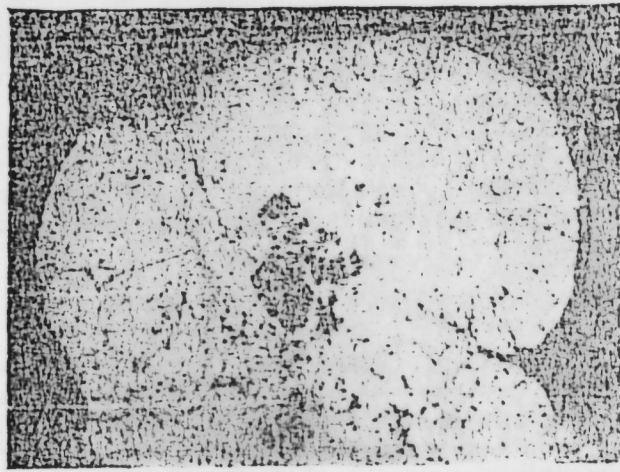


Рис. 1. Текстура конкреций пирита ($\times 4$).

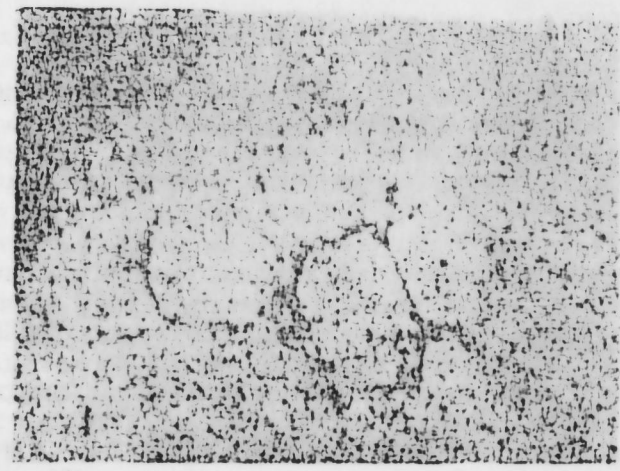


Рис. 2. Прошлифованная поверхность конкреции пирита ($\times 65$).

крупнозернистого, ближе к периферии. Наблюдаются чередование скрыто-кристаллических пиритовых зон с мелкозернистыми (рис. 2). Полностью отсутствуют сульфиды свинца и цинка. Макроскопически в некоторых конкрециях наблюдается радиально-лучистое строение. В связи с этим рассмотрим случай такого типа конкреции на примере обр. 429, представленного двумя разновидностями пирита. Первая разновидность представляет собой глобулярные выделения пирита. Глобулы сцеплены выделениями галенита и сфалерита, которые на них явно наложены. Изотопный состав глобулярного пирита представлен на рис. 4. Вторая разновидность — мелко-, крупнозернистые выделения пирита, подобно как в общей массе, слагающей колчеданную залежь.

Значение δS^{34} пирита = $+4.71\text{‰}$; для галенита и сфалерита из цемента глобулярного пирита значение $\delta S^{34} = +0.5\text{‰}$.

Резких контактов конкреций с сульфидами рудных тел не наблюдается. В приконтактовых зонах глобулы пирита разрушены, и крис-

таллический пирит, слагающий их, растаскан по всей контактовой зоне. Изотопный состав пирита с контакта аномален ($\delta S^{34} = +0.1\text{‰}$), что является результатом смещения рудообразующего пирита с конкреционным. Вариации величин δS^{34} в конкрециях характерны для образований биогенного происхождения. Так, для одних горизонтов значения δS^{34} конкреций характеризуются отрицательными величинами (до -35.1%), т. е. они обогащены изотопом S^{32} , для других — положительными (до $+26.1\%$). Рассеянный пирит из глинистого сланца, взятый из безрудного интервала, также показывает значительное обогащение изотопом S^{32} (до -7.4‰). Следует отметить, что подобный разброс в значениях δS^{34} сингенетических сульфидов (от -35.1 до $+26.1\text{‰}$) отображает локальные особенности условий их образования.

Исходя из гипотезы осадочного (биогенного) происхождения серы руд Катехского месторождения, следовало бы ожидать, что изотопные отношения серы сульфидов железа в рудном интервале должны быть идентичны таковым для пиритов конкреций вмещающих осадочных пород и найденных среди сульфидов рудных тел. Как видно из приведенных примеров, подобной аналогии не наблюдается. Сера пиритов массивных и обломковидно-массивных руд обнаружила однородный состав, а именно, величины δS^{34} изменяются в диапазоне от $+0.4$ до $+5\%$.

Подавляющее большинство исследователей, как отмечалось выше, считает, что полиметаллическое оруденение имеет глубинное происхождение. Значение δS^{34} сульфидов полиметаллов варьирует от $+0.3$ до $+3.5\text{‰}$.

При сравнении изотопных характеристик серы колчеданов и полиметаллов бросается в глаза их идентичность.

Различие источников серы сингенетических сульфидов и сульфидных руд можно продемонстрировать на примере образца 12₅ (рис. 3).

В этом штуфном образце значение δS^{34} пирита пятнисто-вкрапленной руды равно $+0.4\%$; в конкреции пирита это значение понижено до -7% , а в прожилке пирита, секущем конкрецию, $-+3\text{‰}$. Интересно, что сульфид прожилка по изотопному составу аналогичен основной массе пирита руды. Из этого образца видно, что сера руды имеет иное происхождение по сравнению с серой пиритной конкреции и была отложена после формирования конкреций (рис. 3).

Подобное заключение можно сделать, если сравнить значения δS^{34} на рис. 4. В трех случаях конкреция показывает отрицательные значения δS^{34} , в то время как пирит (FeS_2) из периферии обогащен изотопом S^{34} . Пирит периферии считается глубинным.

Все эти данные указывают на то, что источник серы рудных минералов Катехского месторождения был иной по сравнению с пиритами, рассеянными во вмещающих сланцевых толщах и образованными за счет биогенного сероводорода.

Кратко остановимся на возможности образования рудных залежей на участках встреч глеевых растворов с сероводородным геохимическим барьером.

Многие исследователи считают, что наиболее характерными для такого типа являются ураново-ванадиевые месторождения плато Колорадо (США) и свинцовое месторождение Фрейхунг (ФРГ), которые образовались при встрече растворов, несших металлы, с сероводородными водами. Изотопные данные для этих месторождений показывают, что сероводород, участвовавший в осаждении металлов, имеет биогенную природу. Так, величина δS^{34} в сульфидах урановых мес-

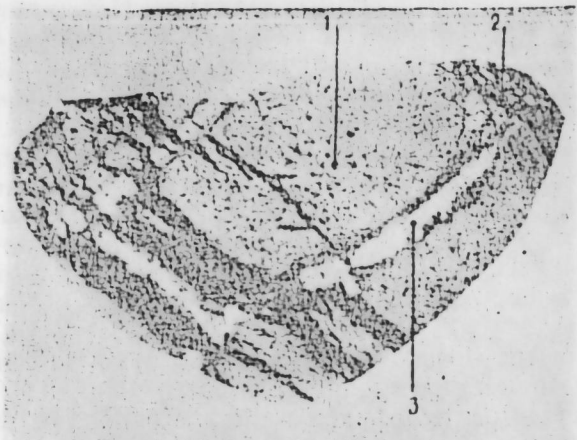


Рис. 3. Полированный штук с концентрическими и пересекающими жилами (обр. 12₅). 1—7; 2—+0,4; 3—+5%.

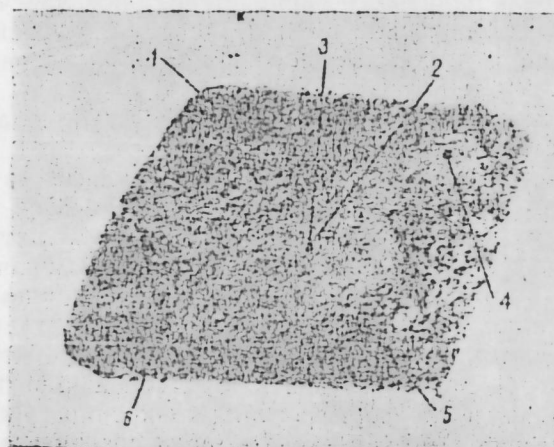


Рис. 4. Текстура обр. 429. Значения δS^{34} и места взятия проб: 1—FeS₂¹=+4,7%—пирит четко кристаллического строения; 2—FeS₂²=-8,5%—глобулы пириита, скементированные включениями; 3—ZnS² (ZnS+PbS)=+0,5%—включения PbS и ZnS, цементирующие глобулы пириита; 4—FeS₂³=-7%—глобулярный пирит; 5—FeS₂⁴=+0,1%—из контактовой зоны глобулярного и четко кристаллического пириита; 6—FeS₂⁵=-6,4%—глобулярный пирит.

торождений варьирует от 12 до -50%, по М. Л. Иенсеру (Jensen, 1965), а в свинцовом месторождении Фрейхунг от -20 до -40%, по К. Гелену (Gelen, 1965). Сера сульфидов этих месторождений сильно и в разной степени обогащена изотопом S³².

Изучение пластовых вод Северного Кавказа позволило доказать бактериальное происхождение их сероводорода (Панкина и др., 1968).

Правда, нельзя отрицать возможности частичного смешения их в отдельных случаях с губинным сероводородом, но по изотопным данным подобные случаи до сих пор не отмечались (Панкина и др., 1966).

Изотопный состав серы сульфидов вод этого района изменяется в широком диапазоне значений δS^{34} от +20,9 до -25,3%. Величина δS^{34} серы зависит от доли восстановленного сульфата: чем больше растворенного сульфата восстановлено, тем выше значения δS^{34} . Поэтому изотопный состав биогенного сероводорода сильно варьирует. И, конечно, трудно представить, чтобы из такого сероводорода могло образоваться месторождение сульфидов, сера в которых весьма однородна по изотопному составу. Таким образом, изотопные данные серы свидетельствуют против образования рассматриваемого нами месторождения на геохимическом барье.

Выводы

1. Сопоставление соотношений изотопов S³²/S³⁴ конкреций и сульфидов железа, рассеянных в глинистых сланцах, с серой пиритов из пластообразных и обломковидно-massивных рудных тел указывает на разные источники серы в сульфидах и пиритах глинистых сланцев.

2. Сульфиды Катехского месторождения, имеющие незначительный диапазон вариаций изотопов серы, очевидно, были отложены из высокотемпературного гомогенного источника.

Данная работа носит предварительный характер, исследования в этом направлении продолжаются.

ЛИТЕРАТУРА

1. Виноградов А. П., Чупахин М. С., Гриненко В. А. Изотопные отношения S³²/S³⁴ в сульфидах. Геохимия, № 4, 1965.
2. Виноградов А. П., Гриненко В. А. Причина значительной дисперсии изотопного состава осадочных сульфидов. В сб.: «Химия земной коры», т. II, изд. «Недра», М., 1964.
3. Гриненко Л. Н., Гриненко В. А. Изотопный состав серы в связи с вопросами генезиса рудных месторождений. Прага. Международный геологический конгресс, 22 сессия. Проблемы геохимии и космохимии. Изд-во «Недра», М., 1968.
4. Гриненко Л. Н., Гриненко В. А. Закономерности распределения изотопов серы и их использование в геохимических исследованиях. Геохимия, № 5, 1967.
5. Кашкаев М. А., Тамразия Г. П. Поперечные (антекавказские) дислокации Крымско-Кавказского региона. Изд-во «Недра», М., 1965.
6. Мазаев Д. Д. Об осадочно-метаморфическом генезисе мелко-сульфидного оруденения южного склона Большого Кавказа в пределах Азербайджана. Уч. зап. АГУ им. С. М. Кирова, серия геол.-географ. наук, № 6, 1963.
7. Ольт У. Изотопное фракционирование серы в геохимических процессах. Сб.: «Геохимические исследования». Изд-во ИЛ, 1961.
8. Панкина Р. Г., Мехтиева В. Л., Гриненко В. А., Чурмантеева М. Изотопный состав серы сульфатов и сульфидов вод некоторых районов Предкавказья в связи с их генезисом. Геохимия, № 9, 1966.
9. Перельман А. М. Геохимия эпигенетических процессов. Изд-во «Недра», 1968.
10. Резников В. И. О генезисе колчеданных месторождений Горного Дагестана. Избр. высших учебных заведений. Геология и разведка, № 10, 1968.
11. Смирнов В. И. Соотношение осадочных и гидротермальных процессов при формировании колчеданных руд в юрских флишонах Большого Кавказа. ДАН СССР, т. 177, № 1, 1967.
12. Устинов В. И., Гриненко В. А. Прецзионный масс спектрометрический метод определения изотопного состава серы. Изд-во «Наука», М., 1965.
13. Gehlen K. V. Schwerel-Isotope und die Genese von Erzlagerstätten. Geol. Rundschau, Bd. 55, s. 178—197, 1965.
14. Jensen M. L. Sulfur isotopes and origin of sandstone-type uranium deposits. Econ. Geol., 1958.
15. Jensen M. L. Bacteriogenic sulfur isotopic ratios in geology. Beitr. Mineral. und Petro., II, 1965, s. 405—414.

Институт геологии АН Азерб. ССР,
Институт геохимии и аналитической
химии им. Вернадского АН СССР

Поступило 4. XI 1970

ХУЛАСӘ

Әтраф чөкмә гатла синкенетик олан сульфидләр δS^{34} бөйүк вариация һүдудуна маликдир ($-35,1\text{-}36 + 26,1\text{/}_{\text{oo}}$). Бу һал күкүрдүн биокен мәншәли олмасыны көстәрир.

Лакин филиз күтләсими тәшкүл едән Fe, Pb вә Zn сульфидләр δS^{34} нисбәтән кичик вариация һүдудларына маликдир ($0,0\text{-}4,0\text{/}_{\text{oo}}$ әдәк). Бу һал исә һәмми сульфидләрни һәр һәнсү бир магматик мәнбәдән кәтирилдијинә дәлаләт елир.

M. A. Kashkai, V. A. Grinenko, N. M. Zayri

Isotopic composition of sulfur of ore sulphides
and enclosing rocks of the Katekh pyrite-polymetallic deposits
(Southern slope of the Great Caucasus)

SUMMARY

Isotopic study of sulphides from ore bodies and enclosing rocks of the Katekh pyrite-polymetallic deposits permitted to prove their following peculiarities: generally iron sulphides, lead and zinc content shows narrow range of variations for the value δS^{34} which varies from 0 up to $+4,0\text{/}_{\text{oo}}$ this is particular for the deposits, having a deep occurrence, while sulphides, syngenetic with enclosed sedimentary layers possess, on the contrary, wide range of variations of the value δS^{34} from $-35,1$ up to $+26,1\text{/}_{\text{oo}}$. Such considerable dispersion is typical for sulphides of biogenic nature.

Summarizing the preliminary investigation data, the authors came to a conclusion that sulphide-ore bodies of Katekh deposits were precipitated from solutions out coming from high-temperature homogenous source.

Л. Д. МАМЕДОВА

НОВЫЕ ПРЕДСТАВИТЕЛИ САРМАТСКОЙ ФАУНЫ
ENTOSOLENIA СЕВЕРО-ВОСТОЧНОГО АЗЕРБАЙДЖАНА

(Представлено академиком АН Азербайджанской ССР А. А. Ализаде)

Миоценовые отложения северо-восточного Азербайджана пользуются широким распространением в разнотипных структурах Прикаспийско-Кубинской области. Нефтегазоносность этих отложений потребовала тщательного исследования микрофауны для корреляции разрезов.

В результате изучения микрофaуны миоценовых отложений нам удалось выявить богатую фауну фораминифер, позволяющую дробно подразделить вмещающие их отложения.

Среди обнаруженных видов фораминифер из отложений среднего сармата были встречены представители ряда родов, в том числе *Entosolenia*.

Представители рода *Entosolenia* занимают господствующее положение в отдельных пачках, состоящих в основном из глинистых отложений.

Исследование микрофaуны сарматского яруса в окрестностях сел. Тенги, Заглы, Ханагя, долины р. Гильгильчай и др. дало возможность выявить следующие виды *Entosolenia*: *E. cubanica* Bogd., *E. irtma* Bogd., *E. horrida* Bogd., *E. karreri* Bogd.

Ниже приводится описание трех новых видов *Entosolenia*, имеющих важное научно-практическое значение для корреляции разрезов и определения возраста среднесарматских отложений.

Род *Entosolenia*, Ehrenberg, 1848

Entosolenia zagliensis L. Mamedova sp. n.

Таблица, рис. 1 а, б; 2 а, б; 3 а, б.

Голотип № 722. Микрофаунистическая коллекция Института геологии АН Азербайджанской ССР, северо-восточный Азербайджан, сел. Заглы, средний сармат.

Описание. Раковина сравнительно большая, сильно вытянутая в длину, медленно суживается к устьевому концу, в основании копьевидно заостренная, с боков сжатая. Периферический край овальный.

Устье хорошо различимое, в виде удлиненной узкой щели, расположенной терминально.

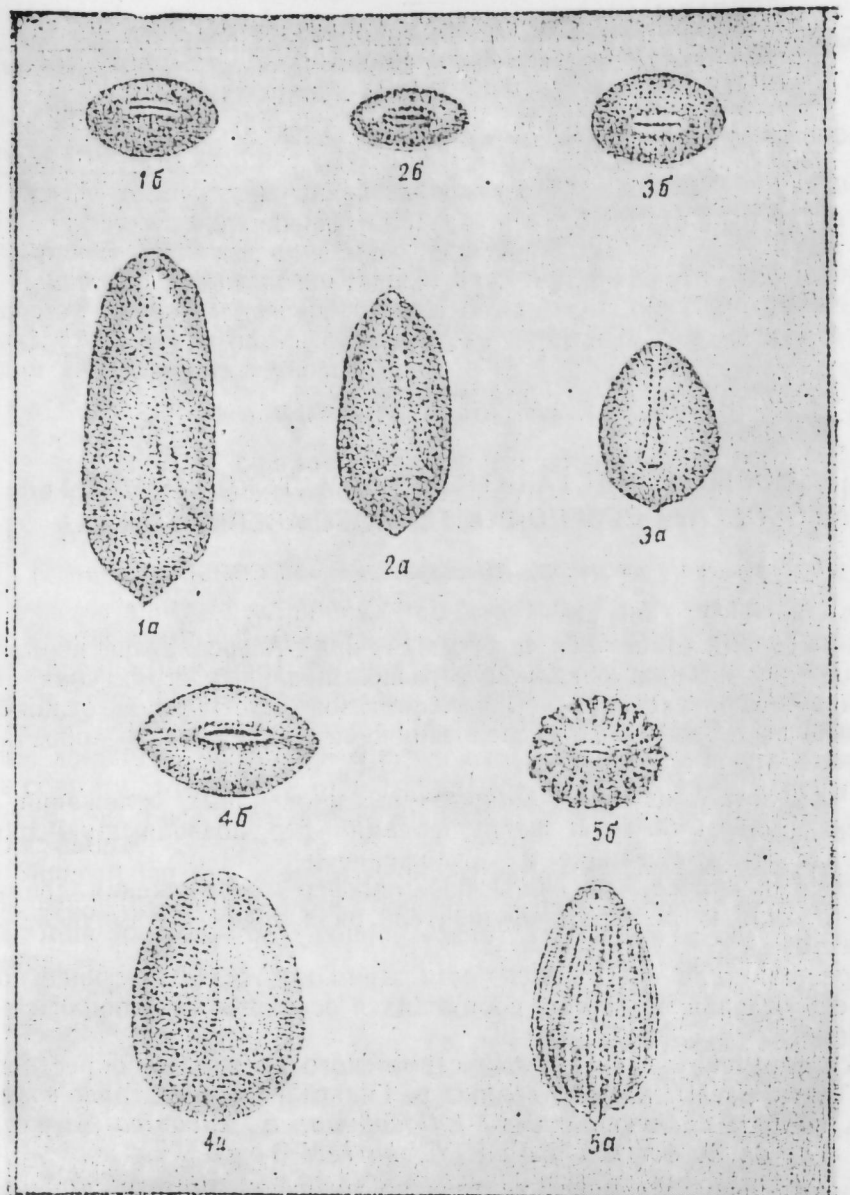


Таблица.

- Рис. 1а, б. *Entosolenia zagliensis* sp. н. Голотип № 772, северо-восточный Азербайджан, сел. Заглы, средний сармат; $\times 136$.
 Рис. 2а, б. *Entosolenia zagliensis* sp. н. Оригинал, северо-восточный Азербайджан, сел. Заглы, средний сармат; $\times 136$.
 Рис. 3а, б. *Entosolenia zagliensis* sp. н. Оригинал, северо-восточный Азербайджан, сел. Ханагя, средний сармат; $\times 136$.
 Рис. 4а, б. *Entosolenia pusulata* sp. н. Голотип № 773, северо-восточный Азербайджан, сел. Заглы, средний сармат; $\times 136$.
 Рис. 5а, б. *Entosolenia tumida* sp. н. Голотип № 774, северо-восточный Азербайджан, сел. Ханагя, средний сармат; $\times 136$.

Устьевая дудка в виде узкой длинной трубочки, которая у свободного конца расширяется в виде треугольника; длина ее составляет около 4/5 длины всей раковины.

Стенка известковистая, гладкая, стекловидно-прозрачная, тонкопористая.

Размеры: длина—0,35, ширина—0,16, толщина—0,10 мм.

Изменчивость. Проявляется она в большей или меньшей степени в копьевидной заостренности основания и характере сжатости раковины. У мелких экземпляров раковины вздуты в своей нижней части.

Сравнение. Описываемый вид имеет отдаленное сходство с *Entosolenia marginata* (Walker et Boys), описанного Венглинским из нижесарматских отложений Закарпатья, но отличается от него удлиненной формой раковины, отсутствием киля на периферическом крае, копьевидной заостренностью основания раковины.

Распространение и возраст. Встречается в глинистых отложениях среднего сармата сел. Заглы, Тенги, Ханагя северо-восточного Азербайджана.

Entosolenia pusulata L. Mamedova sp. н.

Таблица, рис. 4 а, б

Голотип № 773. Микрофаунистическая коллекция Института геологии АН Азерб. ССР, северо-восточный Азербайджан, сел. Заглы, средний сармат.

Описание. Раковина средних размеров, яйцевидно-овальной формы с довольно широким округлым основанием; к устьевому концу слегка суживается. Периферический край округлый, снабжен небольшим килем.

Устье терминальное, представляет собой узкую щель, окаймленную тонким ободком. Устьевая дудка проходит по середине раковины. Она узкая у свободного конца раздваивается, занимая приблизительно 2/3 длины всей раковины. Стенка раковины тонкая, гладкая, блестящая, тонкопористая, стекловидно-прозрачная.

Размеры: длина—0,26, ширина—0,19, толщина—0,13 мм.

Изменчивость. Форма раковин меняется от овальных до широко-овальных, почти круглых. У мелких экземпляров киль выражен яснее, чем у более крупных.

Сравнение. Описываемый вид имеет некоторое сходство с *Entosolenia mironovi* Bogd., приведенным из чокракского горизонта Западной Кубани, тем, что устьевая трубка доходит до 2/3 длины раковины и свободный конец ее раздваивается, но отличается от него присутствием на периферическом крае киля.

Распространение и возраст. Описываемый вид нередко встречается в карбонатных глинах среднего сармата сел. Заглы, в долине р. Гильгильчай северо-восточного Азербайджана.

Entosolenia tumida L. Mamedova sp. н.

Таблица, рис. 5 а, б

Голотип № 774. Микрофаунистическая коллекция Института геологии АН Азерб. ССР, северо-восточный Азербайджан сел. Ханагя, средний сармат.

Описание. Раковина удлиненная, постепенно суживается к обоим концам, наибольшая ширина в средней части ее едва сжатая с боков. С устьевой стороны почти округлая.

Устье терминальное в виде короткой, очень слабо открытой щели, окаймленная узким, едва заметным ободком.

Устьевая дудка хорошо видна при снятии тонкого слоя стенки и представляет собой тонкую изогнутую трубочку, которая сильно расширяется ближе к свободному концу, занимая почти 2/3 длины раковины.

Поверхность раковины покрыта продольными, местами слабо волнистыми ребрышками, последние занимают 4/5 длины раковины и количество их доходит до 22—26. Ребрышки периферического края, к основанию раковины несколько шиповатые. Верхняя часть раковины, ближе к устьевому концу, лишена ребер и усеяна еле заметными парами.

Размеры: длина—0,24, ширина—0,13, толщина—0,12 мм.

Изменчивость. Заметно варьирует форма раковин (от удлиненно-ovalных—редко до широко ovalных), количество ребер 22—26 на поверхности раковин, а также степень изогнутости устьевой трубы и число шипиков, расположенных на периферических ребрах, у основания раковины.

Сравнение. Этот вид близок к *Entosolenia cubanica* Bogdañowicz, описанного из отложений нижнего сармата Западной Кубани, но отличается от него наличием шипиков на периферических ребрах ближе к основанию раковины, удлиненными ребрами, которые занимают 4/5 длины раковины, сжатостью формы раковины.

Распространение и возраст. Настоящий вид встречается в глинистых отложениях среднего сармата сел. Заглы и Ханага северо-восточного Азербайджана.

ЛИТЕРАТУРА

1. Богданович А. К. О результатах изучения фораминифер миоцене Крымско-Кавказской области. Труды ВНИГРИ, сб.: «Микрофауна нефтяных месторождений Кавказа, Эфиопии и Средней Азии», 1947. 2. Богданович А. К. О новых и малоизвестных видах фораминифер из миоцена Западного Предкавказья. Труды КФВНИИ, вып. 3, геол. сб., 1960. 3. Венглинский И. В. Фораминиферы миоцена Закарпатья. Изд. АН Укр. ССР, Киев, 1958. 4. Cushman J. A. and Gray H. B. A Foraminiferal fauna from the Pliocene of Timms point, California. Shazor, Massachusetts, USA, December 10, 1946.

Институт геологии

Поступило 1. II 1969

Л. Ч. Маммэдова

Шимал-шәрги Азәрбајҹанын *Entosolenia* сармат фаунасынын јени нүмајәндәләри

ХҮЛАСӘ

Шимал-шәрги Азәрбајҹанын миоцен чөкүнүләри микрофаунасының өјрәнилмәси бу чөкүнүләрдә зәнкин фораминифер фаунасының ашкар едилемәсинә имкан йаратды. Бу фауна исә миоцен чөкүнүләринин дәгиг, стратиграфик бөлүмәсендә бөյүк рол ојнады.

Ашағыда орта сармат чөкүнүләринин тә'јин едилемәсендә вә бу чөкүнү кәсилишләринин коррелясијасында бөйүк елми-тәчрүби әһәмијәт кәсб едән уч јени нөвүн: *Entosolenia zagliensis* L. Mamed., *E. pusulata* L., Mamed. *E. tumida* L. Mamed. нөвләринин тәсвири верилмишdir.

L. D. Mamedova

New representatives of *Entosolenia* sarmat fauna in the North-Eastern Azerbaijan

SUMMARY

The rich fauna of foraminifera is revealed by the author as a result of the study of microfauna of miocene sediments in this area, among which there were the representatives of *Entosolenia* genus.

Description of three new species of *Entosolenia* is given here, which have an important scientific-practical value for the section correlation and for determination of middle sarmat deposits.

АЗӘРБАЙЧАН ССР ЕЛМЛӘР АКАДЕМИЈАСЫНЫН МӘРУЗӘЛӘРИ
ДОКЛАДЫ АКАДЕМИИ НАУК АЗЕРБАЙДЖАНСКОЙ ССР

ТОМ XXVII

№ 9

1971

УДК 549.5

МИНЕРАЛОГИЯ

А. А. АЛИЕВ

О КОЛУМБИТАХ ИЗ ПЕГМАТИТОВЫХ ЖИЛ ОДНОГО ИЗ РЕДКОМЕТАЛЬНЫХ ПРОЯВЛЕНИЙ ЮГО-ВОСТОЧНОЙ ПУСТЫНИ ЕГИПТА

(Представлено академиком АН Азербайджанской ССР М. А. Кашиевым)

Минералы группы колумбита—танталита отличаются близостью состава, физических свойств, структуры и представляют непрерывный ряд с переменным соотношением Та :Nb и Fe : Mp. В связи с этим при отсутствии химического анализа диагностика tantalо-ниобатов должна быть основана на результатах комплексных исследований.

В настоящей статье приводятся данные по изучению колумбитов, отобранных нами из пегматитовых жил одного из проявлений редкометальной минерализации Юго-Восточной пустыни Египта.

Пегматитовые тела представлены серией жил различной протяженности и мощности, вытянутые в близширотном направлении. Они приурочены к разрывным и сколовым трещинам, секущим вмещающие гранито-гнейсы и частично сланцы. Гнейсы подвержены интенсивным высокотемпературным метасоматическим изменениям с отчетливым проявлением окварцевания, микроклинизации, альбитизации, а также редкометальной минерализации. Метасоматиты отличаются полифациональностью с проявлением в них ряда редких элементов—тантала, ниobia, бериллия, лития, вольфрама, олова и т. д.

Сланцы представлены кварц-полевошпатовыми, роговообманковыми, актинолитовыми, слюдистыми и другими разностями, подверженными в различной степени метасоматическим изменениям.

Радиоактивность метасоматически измененных сланцев и гнейсов варьирует в широких пределах—от 100—300 до 3000 мк/ч. Высокие значения характерны для наиболее интенсивно переработанных редкометально минерализованных гнейсов.

Пегматитовые жилы представлены главным образом амазонитом (микроклином), кварцем, мусковитом (литионитом), альбитом. В виде хорошо образованных дипирамидальных кристаллов встречается циркон. Выделения колумбита приурочены к мелким трещинкам и межзерновым пространствам минералов, слагающих пегматитовые тела в виде единичных зерен и цепочек образований.

Изучение отдельных кристаллов колумбита показало наличие в них мелких включений микроклина, кварца и слюд. Все это позволяет

предположить образование колумбита в результате воздействия постмагматических растворов на уже затвердевшие пегматитовые тела, подвергавшиеся внутрирудным подвижкам и деформациям.

Ниже излагаются результаты изучения физических свойств, поведения в отраженном свете, травления, массовых измерений микротвердости, а также данные термического, рентгенометрического и спектрального анализов.

Колумбиты представлены в виде отдельных зерен и агрегатных скоплений размером от 1 мм до 1—1,5 см, а также крупных толстотаблитчатых, столбчатых и изометрических кристаллов длиной 1—5 см и толщиной 0,5—2 см. Отсутствие хорошо выраженных граней не позволило произвести гониометрические исследования.

Излом кристаллов колумбита раковистый, местами неровный. Хрупок. Цвет серовато-черный. Чешуя темно-коричневая, обусловленная, по-видимому, преобладанием железа над марганцем. Блеск полуметаллический. В тонких осколках не просвечивает. Удельный вес, определенный пикнометрическим методом, оказался равным 5,63. Исходя из значения удельного веса, по диаграмме, составленной В. И. Кузнецовым (1945), были найдены содержания пятиокисей ниobia и tantalа, соответственно равные 62 и 17%.

Для изучения колумбитов в отраженном свете были приготовлены полированные шлифы из образцов, содержащих различной величины зернистые выделения, а также из крупных монокристаллов (с целью получения различных срезов). Выявились следы выкрошивания и перристые участки. Некоторые срезы монокристаллов характеризуются более гладкой поверхностью.

Под микроскопом в отраженном свете колумбит характеризуется серовато-белым цветом и слабым коричневатым оттенком.

Сравнительное изучение показало, что его отражательная способность несколько выше таковой сфалерита и близка к магнетиту, что вполне согласуется с литературными данными.

Двутрение слабое, едва заметное по границам зерен. Эффект анизотропии слабый, но заметный. Внутренние рефлексы отсутствуют.

С целью выявления внутренней структуры нами было применено травление полированных шлифов плавиковой кислотой. Длительное воздействие реагентом (более 30 мин) на полированные поверхности монокристаллов колумбита позволило выявить их внутреннюю структуру. При этом в зависимости от среза менялся и характер внутреннего строения. Травление колумбитов с помощью HF в течение 15—30 мин не дало никаких результатов.

Отчетливая зональность роста по всей площади шлифа (рис. 1) была выявлена в результате травления в течение 3 ч. С своеобразное зональное строение в виде сложных многоугольников отображает условия роста кристалла. Очертания внутренних зон строго параллельны внешним, но формы геометрических фигур меняются, варьируют также ширина и четкость граней многоугольников. Строгая выдержанность расстояний между отдельными зонами не наблюдается, что свидетельствует о неодинаковой скорости роста минерала.

На некоторых шлифах путем травления в течение 2 ч, были выявлены полисинтетические двойники (рис. 2), которые участками образуют тонкое чередование полос различного оттенков. Наблюдаются также и чередование полос различной ширины.

У некоторых кристаллов при травлении в течение 45 мин было обнаружено неоднородное строение в виде неправильной формы выделений разных оттенков. При этом основной фон характеризуется более светлой окраской. В. А. Корнетова (1961) и В. А. Скворцова (1969) такое

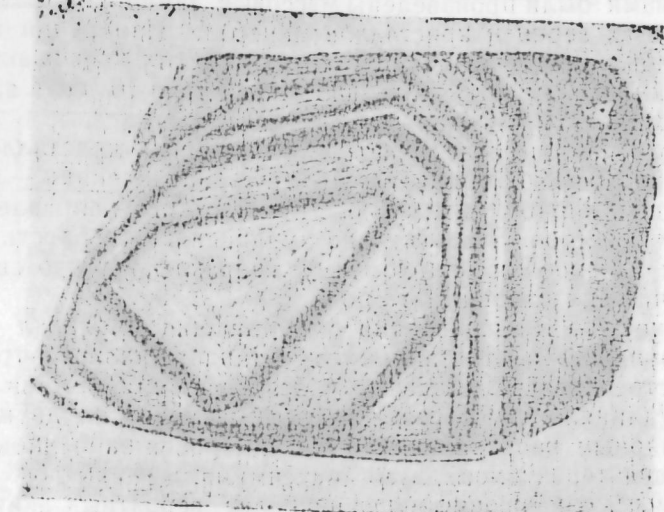


Рис. 1. Полированный шлиф. Ув. 10. Результат травления HF в течение 3 ч. Зональность роста, проявленная по всей пло- щади шлифа.

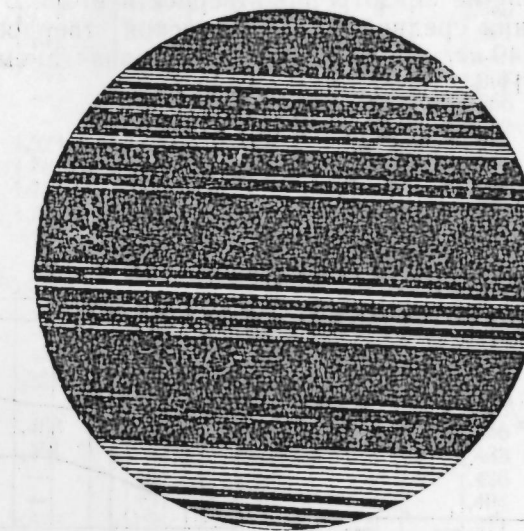


Рис. 2. Полированный шлиф (зарисовка). Увел. 90. Полисинтетическое двойникова-ние колумбита. Результат травления HF в течение 2 ч.

внутреннее строение объясняют неоднородностью состава и присутствием двух или трех разновидностей группы колумбита-танталита что, в свою очередь, должно свидетельствовать об отсутствии полной смесями минералов этого ряда.

Наши замеры микротвердости их неоднородных выделений показали весьма близкие значения. В случае, если бы мы имели участки, представленные колумбитом, tantalитом и промежуточными их разностями (как это полагает В. А. Скворцова), нам следовало бы ожидать различные значения микротвердости для каждой из этих разновидностей.

С целью выяснения абсолютных значений микротвердости ($\text{кг}/\text{мм}^2$) колумбита нами были произведены массовые замеры на разноориентированных срезах зерен и кристаллов минерала. Измерения производились с помощью прибора ГИМТ-3 в 15–20 точках образца с применением нагрузки в 100 г при длительности действия 10 сек; время опускания индентора — 10–12 сек.

Для одного из толстотаблитчатых удлиненных кристаллов колумбита микротвердость была измерена в двух направлениях — параллельно и перпендикулярно удлинению. Для каждого направления произведено по 20 замеров. Параллельно удлинению твердость оказалась меньше, чем в перпендикулярном ему направлении, что свидетельствует о наличии анизотропии 1-го рода.

Характерно, что в направлении по удлинению минерал проявляет большую хрупкость и отчетливые отпечатки получались с трудом, т. к. минерал растрескивался. В связи с этим время опускания индентора несколько удлинялось. По результатам 40 замеров по двум взаимно-перпендикулярным направлениям была построена вариационная кривая (рис. 3), характеризуемая двумя максимумами — $H_1 = 545 \text{ кг}/\text{мм}^2$ и $H_2 = 803 \text{ кг}/\text{мм}^2$, означающими два наиболее вероятных значения твердости по указанным направлениям в колумбите. Исходя из минимального и максимального значения микротвердости был определен коэффициент анизотропии твердости $K_a = 1,47$.

Массовые неориентированные замеры на различных срезах колумбитов показали наличие анизотропии твердости второго рода.

Путем вычисления средней арифметической твердость колумбита оказалась равной $749 \text{ кг}/\text{мм}^2$, что сходится со значением, полученным С. И. Лебедевой и Н. И. Разенковой^{*} (1961).

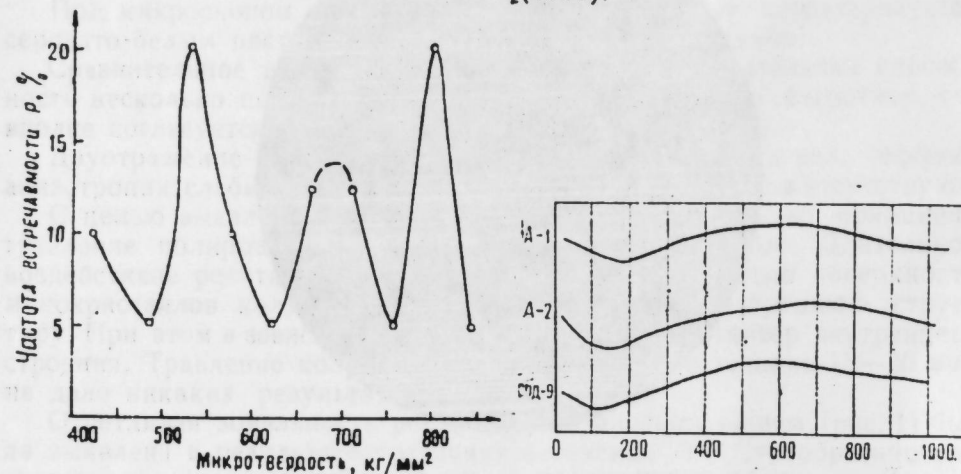


Рис. 3. Вариационная кривая твердости колумбита, построенная по результатам замеров по двум взаимно-перпендикулярным направлениям.

Рис. 4. Дифференциальные кривые нагревания колумбитов А-1 и А-2 (исследованные нами) и обр 9 (по С. А. Горжевской, Л. А. Грекуловой и Г. А. Сидоренко).

Для исследованных колумбитов получены дифференциальные кривые нагревания с характерным четким горбом, проявляющимся в температурном интервале 200–1000°C и соответствующим окислению двухвалентных железа и марганца. С целью сравнения на рис. 4

* Термические кривые сняты И. А. Бабаевым в лаборатории отдела геохимии и минералогии рудных месторождений Ин-та геологии АН Азерб. ССР.

Результаты рентгенометрического анализа колумбитов

№ линий	Колумбит А-1		Колумбит А-2		Колумбит синтетический, по В. И. Михееву		Колумбит природный по В. И. Михееву	
	1	d_a/n	1	d_a/n	1	d_a/n	1	d_a/n
1	—	—	—	—	—	—	3	4,02
2	—	—	—	—	3,734	—	—	—
3	6	3,66	6	3,60	5	3,595	7	3,66
4	—	—	5	3,22	3	3,484	—	—
5	4	3,27	—	—	—	—	5	3,29
6	3	3,16	—	—	—	—	—	—
7	3	3,03	—	—	—	—	—	—
8	10	2,95	10	2,92	10	2,909	10	2,968
9	2	2,86	—	—	—	—	2	2,862
10	1	2,80	—	—	3	2,807	—	—
11	3	2,54	—	—	2	2,552	2	2,568
12	3	2,49	3	2,462	5	2,496	5	2,494
13	—	—	—	—	5	2,445	—	—
14	—	—	—	—	2	2,408	4	2,373
15	3	2,330	4	2,345	3	2,321	—	—
16	2	2,285	2	2,235	3	2,250	—	—
17	—	—	3	2,193	7	2,195	3	2,209
18	—	—	—	—	8	2,167	—	—
19	4	2,084	5	2,041	8	2,049	5	2,093
20	5	1,985	4	1,988	3	1,971	—	—
21	5	1,950	—	—	—	—	1	1,946
22	6	1,891	—	—	3	1,907	6	1,902
23	—	—	—	—	4	1,866	—	—
24	—	—	5	1,829	3	1,852	—	—
25	6	1,824	3	1,815	5	1,790	5	1,821
26	7	1,764	8	1,757	8	1,770	6	1,767
27	8	1,730	9	1,720	8	1,705	7	1,735
28	10	1,713	9	1,699	8	1,698	8	1,712
29	—	—	—	—	9	1,685	—	—
30	—	—	—	—	2	1,642	1	1,632
31	6	1,598	5	1,598	—	—	3	1,618
32	—	—	—	—	3	1,573	—	—
33	—	—	—	—	3	1,566	—	—
34	—	—	4	1,530	1	1,557	5	1,542
35	8	1,528	—	—	8	1,513	—	—
36	—	—	—	—	1	1,483	1	1,483
37	7	1,468	4	1,461	3	1,456	—	—
38	10	1,451	9	1,435	9	1,433	9	1,457
39	—	—	1	1,425	8	1,426	—	—
40	—	—	1	1,399	1	1,404	—	—
41	5	1,373	2	1,366	2	1,371	5	1,374
42	3	1,336	—	—	5	1,352	—	—
43	—	—	—	—	3	1,317	4	1,306
44	4	1,304	2	1,304	3	1,307	—	—
45	—	—	—	—	3	1,298	—	—
46	—	—	—	—	3	1,283	1	1,280
47	4	1,250	—	—	—	—	3	1,245
48	3	1,238	1	1,246	—	—	—	—
49	3	1,210	3	1,215	—	—	3	1,213
50	9	1,186	4	1,185	—	—	4	1,185
51	5	1,148	2	1,131	—	—	4	1,134
52	6	1,127	—	—	—	—	2	1,126
53	5	1,118	—	—	—	—	—	—
54	6	1,095	4	1,093	—	—	5	1,097
55	4	1,070	4	1,0692	—	—	4	1,073
56	—	—	3	—	—	—	1	1,045
57	5	1,0270	3	1,0315	—	—	3	1,039
58	4	1,0090	—	1,0161	—	—	—	—
59	—	—	—	—	—	—	—	—

приводятся термограммы наших образцов и колумбита, исследованного С. А. Горжевской, Л. А. Грекуловой и Г. А. Сидоренко (1964). Судя по термическим кривым, исследованные образцы колумбитов характеризуются сходством химических составов.

Нами была снята дебаеграмма двух наиболее изученных образцов (A-1 и A-2). В таблице приведены интенсивности отражения и значения межплоскостных расстояний колумбитов и сравнение с эталонами. На рентгенограммах наших образцов выявлен ряд характерных линий, сходных по значениям с таковыми синтетического и природного колумбитов, исследованных В. И. Михеевым (1957).

Результаты спектрографического анализа колумбитов, произведенного любезно в спектральной лаборатории Геологического Центра Асуана доктором П. Д. Малхотра, оказались следующими (%): Nb, Ta—превладают. W~1, Mn~0,01, Ti~0,01, Zr~0,001, Y~0,001; не обнаружены—Sc, Ge, Pb, Sn, Bi, Be, Ni, Co, Mo, Ag.

Условия съемки образцов A-1 и A-2: Fe—антикатод, 30кV, 10mA D=57,3мм, d=0,5мм, h=20ч.

Результаты вышеприведенных исследований позволяют вполне определенно отнести изученные нами минералы из пегматитовых жил одного из редкометальных проявлений Юго-Восточной пустыни Египта к колумбитам.

ЛИТЕРАТУРА

1. Горожевская С. А., Грекулова Л. А.; Сидоренко Г. А. Физические свойства и состав колумбит-танталитов. Минералогический сб. Львовского гос. ун-та им. И. Франко, № 18, вып. 3, 1964. 2. Кориетова В. А. Некоторый опыт изучения минералов группы колумбита-танталита. Труды музея им. А. Е. Ферсмана АН СССР, вып. 12, 1961. 3. Кузнецов В. И. Цветные металлы, № 6, 1945. 4. Лебедева С. И., Разенкова Н. И. Исследование микротвердости минералов изоморфного ряда колумбит—танталит. Тр. Ин-та минералогии, геохимии и кристаллохимии редких элементов АН СССР, вып. 7, 1961. 5. Михеев В. И. Рентгенометрический определитель минералов. М., 1957. 6. Скворцов В. А. Минералы тантал и ниобия из редкометального пегматитового поля Сибири. «Изв. вузов, геология и разведка», № 1, 1969.]

Институт геологии

Поступило 13. III 1970

А. Э. Элиев

Мисирин чөнуб-шәрг сәһрасынын надир метал
тәзашүрләриниң бириңәки пегматиги даянтарында
јерләшән колумбитләр һаггында

ХҮЛӘСӘ

Мәгарәдә колумбит минералында экз олуимуш шүанын термик рентгенометрик һәм спектрал үсулларла тәдгигинин иәтичәләри верилышдир. Бундан башга, минералларны микросәртлиji өлчүлмүш, реактивин она көстәрди тә'сир өфрәнилмишдир. Колимбитләр айры-айры дәнәләр, сутуцивары һәм өлчүсү 1—5 см олан изометрик кристаллар шәклинде олур. Хүсуси чәкиси 5,68 г/см³-дир. Ниобиум һәм тантал-б оксид ујгуни оларыг 62 һәм 17%-и тәшкил едир. Микроскоп алтында зәиф гәнәвәјијә чаплан бозумтул-ар рәнкәдәдир. Флорид туршусу илә тә'сир етдиңде минералын зонал түрулушу яйын көрүнүр. Құллы мигдарда анирылыш әмәлийјатлан соңра колумбит үчүн орга гијмет һесабланышы һәм микросәртлијин 749 кг/м³-дә бәрібәр олдуку мүәјжәләширилмишдир. Диференциал айриләр һәм рентгенометрик тәһлилни иәтичәләри тәдгиг етдијимиз нүмүнәләрни колумбитта ујгуни қәлдијини көстәрир.

On columbites from pegmatite veins of one of the raremetal-bearing deposits of the South-Eastern desert of Egypt

A. A. Aliev

On columbites from pegmatite veins of one of the raremetal-bearing deposits of the South-Eastern desert of Egypt

SUMMARY

Pegmatite veins with columbite occur in metasomatically altered gneisses and schists. Amazonite, quartz, muscovite, lithionite and albite are closely associated with columbite. Results of X-ray, DTA, microhardness tests, etching, spectrographic and some other physical methods of investigations of columbite are given in the paper.

УДК 123

ТЕКТОНИКА

А. Б. МОШАШВИЛИ

**ХАРАКТЕР ТЕКТОНИЧЕСКИХ СИЛ, ОБРАЗУЮЩИХ
СКЛАДЧАТОСТЬ АНТИКЛИНАЛЬНОЙ ЗОНЫ
КЮРОВДАГ—НЕФТЕЧАЛА**

(Представлено академиком АН Азербайджанской ССР Ш. Ф. Мехтиевым)

В процессе развития складок антиклинальной зоны Кюровдаг—Нефтечала образуются нарушения, которые разделяют структуры на отдельные блоки, которые в дальнейшем, в пределах локальной структуры, продолжают развиваться самостоятельно, определяя мощность отложений, накапливающуюся в их пределах [4]. Характер движения блоков относительно друг друга обнаруживает такую черту, как обратимость знака движений, что весьма характерно для колебательных движений [4].

В настоящей статье попытаемся затронуть вопрос о зависимости между мощностями отложений, накапливающихся на локальном участке в пределах развития антиклинальной складки, и интенсивностью роста этой складки на примерах Кюровдаг—Нефтечалинской антиклинальной зоны Нижнеекуринской депрессии.

Если сравним карты мощностей среднего и верхнего апшерона Кюровдагской складки (рис. 1, 2), то увидим, что общее прогибание на участке этой структуры в среднеапшеронское время было больше, чем в верхнеапшеронское, а складка росла интенсивнее в верхнем апшероне. На складке Карабаглы общая мощность верхнеплиоценовых и антропогеновых отложений приблизительно равна таковой на структуре Кюровдаг и значительно больше, чем на структурах Бабазанан, Хиллы, Нефтечала. Однако дислоцировалась она в соответствующие интервалы времени меньше, чем другие структуры Кюровдаг—Нефтечалинской зоны. В то же время при сопоставлении размера прогибания в верхнеплиоцен-антропогеновое время на участке Кюровдагской складки с таковым на участках Бабазананской, Хиллинской и Нефтечалинской складок обнаруживается прямая зависимость между интенсивностью прогибания и интенсивностью роста этих складок. Величина прогибания в верхнеплиоцен-антропогеновое время на Кюровдагской складке была больше, чем на участках Бабазананской, Хиллинской и Нефтечалинской складок, и Кюровдагская складка дислоцировалась за указанное время интенсивнее, чем складки Бабазанан, Хиллы и Нефтечала. Под дислоцированностью в данном случае

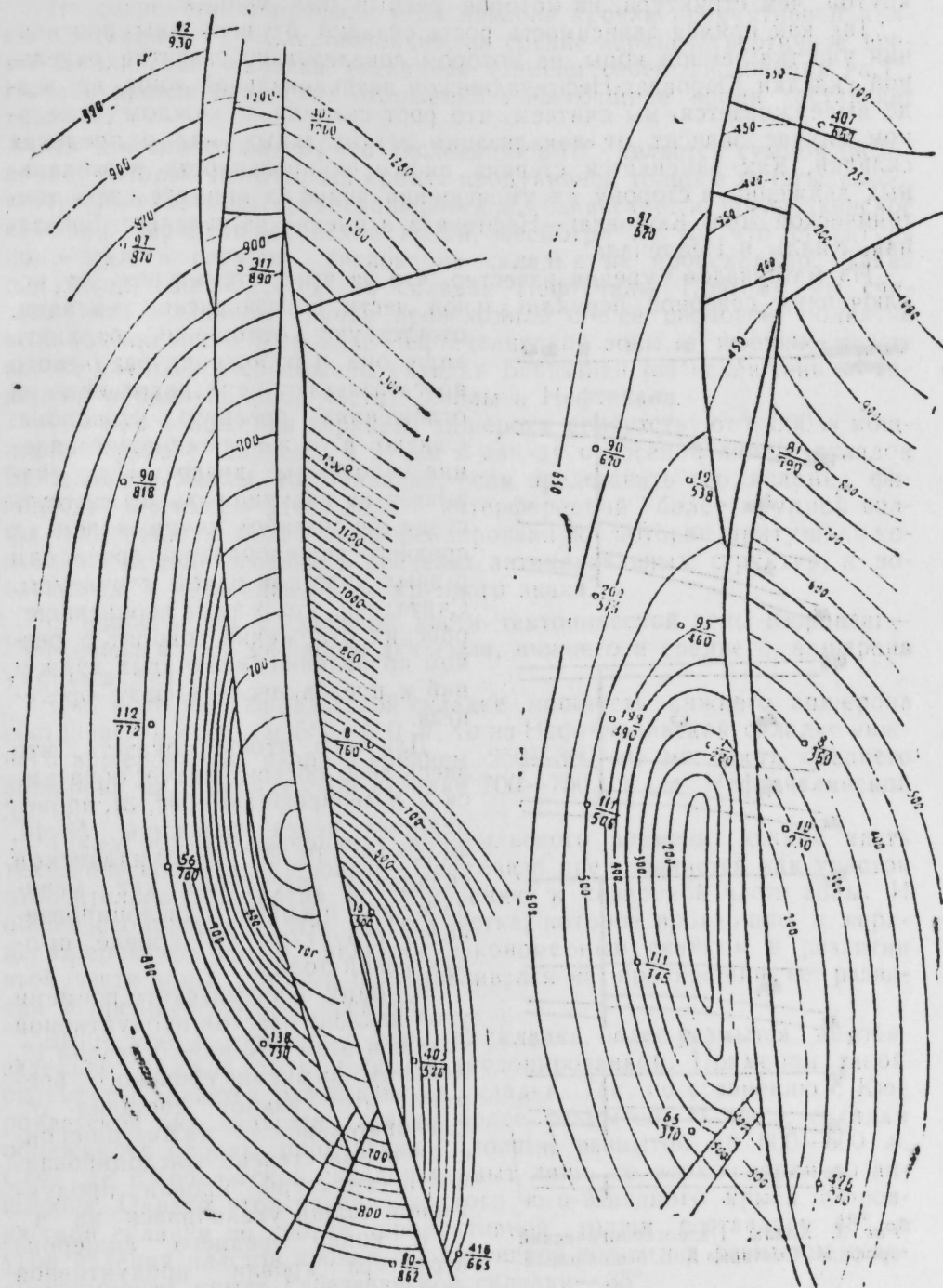


Рис. 1. Кюровдаг. Карта мощностей среднего апшерона. Составил А. Б. Мошашвили, 1966 г.

Рис. 2. Кюровдаг. Карта мощностей верхнего апшерона. Составил А. Б. Мошашвили, 1966 г.

мы понимаем увеличение угла наклона пластов, исключая из этого понятия степень размытия складки, т. к. впоследствии, мы встретимся со случаями, когда структура, более размытая, является менее кругой, чем структура, на которой размыт был меньше.

Так как прямая зависимость роста складки от величины прогибания участка земной коры, на котором локализовано развитие отдельной складки Кюровдаг-Нефтечалинской антиклинальной зоны, не всегда выдерживается, мы считаем, что рост складки в каждом отдельном случае зависит от локализации вертикальных сил в пределах складки. Как изменяется степень дифференцированности вертикальных движений в сторону их уменьшения, видно на примере части тектонической зоны Кюровдаг-Нефтечала, а именно на складках Бабазанан, Хиллы и Нефтечала.

Из материалов бурения известно, что на этих структурах, за исключением северной периклинильной части Бабазананской складки, отсутствуют отложения верхнего ашера она и отложения бакинского яруса залегают непосредственно на отложениях среднего ашераона.

Сднако в то же время сопоставление киротажных диаграмм не указывает на наличие размытия и отсутствия какой-либо пачки в верхах среднего ашераона при сравнении разных участков одной структуры. Считалось, что размыт верхнеапшеронских отложений говорит о резком проявлении складчатых движений к предбакинской фазе орогенеза.

Для того, чтобы показать, что здесь дело обстоит иначе, обратимся в палеопрофилью (рис. 3), проведенному через скважины № 44, 48, 58, 31, 19, 33, 40 Хиллинской складки и рассмотрим, как менялись во времени дислокированность структуры по кровле продуктивной толщи.

К концу акчагыльского времени угол наклона пластов продуктивной толщи в этом сечении составлял 1°. К концу нижнеапшеронского времени этот наклон составил 5°. Следовательно, за нижнеапшеронское время степень дислокированности структуры кровли продуктивной толщи увеличилась на 4°.

К концу среднего ашераона структура кровли продуктивной толщи имела наклон 9°. Следовательно, дислокация кровли продуктивной толщи увеличилась еще на 4°.

К концу бакинского времени дислокация кровли продуктивной толщи составила 10°. Мы видим, что сами бакинские отложения к концу бакинского времени имели наклон 10°. Таким образом, несмотря

на то, что в верхнеапшеронское время Хиллинская складка была выведена из под уровня моря, рост самой складки, который должен был выразиться в ее дальнейшей дислокированности, не отмечался.

На современном профиле угол наклона кровли продуктивной толщи составляет 17°. Следовательно, за средне-верхнеапшеронское время Хиллинская складка увеличила степень своей дислокации на 7°. Наклон кровли бакинских отложений в настоящее время составляет также 7°.

Из описанного видно, что дислокация в 17° является суммой дислокаций, которые испытывала кровля продуктивной толщи в акчагыльское, нижнеапшеронское, среднеапшеронское, бакинское и послебакинское время. В верхнеапшеронское время, несмотря на то, что структура подвергались размытию, дислокации складки не происходило. Такая же картина наблюдается для складки Нефтечала. Поэтому мы считаем, что в данном случае произошло общее сводовое поднятие всей южной части Кюровдаг-Нефтечалинской зоны, а именно, участка, на котором расположены складки Бабазанан (за исключением северной периклинильной части), Хиллы и Нефтечала.

Так как отложения верхнего ашераона присутствуют в 500 м мощности в районе Дайкенд, в 24 км к западу от осевой линии складок Бабазанан и Хиллы, то, очевидно, если представить это явление физически, мы имеем здесь дело с интерференцией более крупной волны колебаний на более дифференцированную, которая притушила колебания, локализованные в пределах антиклинальных структур, и вовлекла их в колебания более крупного знака.

В направлении с северной части тектонической зоны Кюровдаг-Нефтечала к югу мощности акчагыла, нижнего и среднего ашераона уменьшаются.

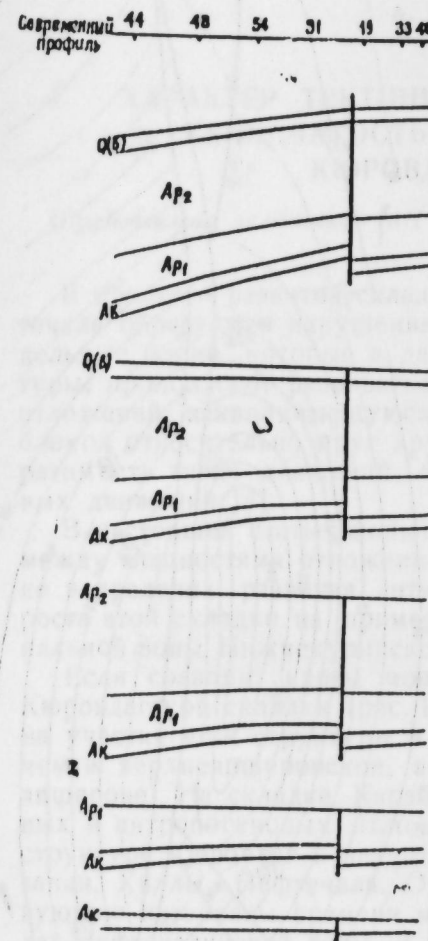
Так, если на Кюровдагской складке мощность нижнего ашераона составляет в среднем 550–600 м, то на Нефтечалинской складке нижнего ашераона она равна в среднем 250–300 м, мощность среднего ашераона на Кюровдагской складке 700–750, а на Нефтечалинской 350 м.

Таким образом, начиная с акчагыльского времени, южная часть тектонической зоны Кюровдаг-Нефтечала представляется как участок относительного поднятия по отношению к северной части зоны. И общее сводовое поднятие этого участка, которое произошло в верхнеапшеронское время, является закономерным скачком в развитии этой части зоны, который подготовился на протяжении ее развития в предшествующие времена.

Выше уже говорилось о том, что складка, более размытая, не обязательно должна быть и более дислокированной. Примером такой структуры является Бабазананская складка. Так, по сравнению с Кюровдагской она является гораздо более размытой. В своде складки обнажаются породы продуктивной толщи, размытой до 600–800 м. Свод же Кюровдагской складки размыт лишь до верхов верхнего ашераона. Однако угол падения крутого юго-западного крыла Кюровдагской складки по кровле продуктивной толщи составляет 48°, а угол падения пластов кровли продуктивной толщи на размытом северо-восточном крыле Бабазананской складки – 35°.

Такое явление связано опять-таки с характером тех сил, которые образуют складчатость тектонической зоны Кюровдаг-Нефтечала.

Дифференциация и контрастность горизонтальных движений на участке складки Кюровдаг была большей, чем в районе Бабазананской складки, где размыт связан с более общими восходящими колебатель-



ными движениями, которые могли локализоваться в пределах блоков, образованных основными продольными нарушениями.

Касаясь связи между складчатостью и поднятием на примере Большого Кавказа, В. В. Белоусов пишет: "Связь между складчатостью и поднятием настолько тесна, что сплошь и рядом наблюдается местная замена первой вторым. Очень часто фаза движений, выражаясь в одном месте складкообразованием, в других местах той же геосинклиниали проявляется только в форме поднятия без складчатости. В таких случаях мы наблюдаем разрывы, перерывы, но без углового несогласия".

Примерно такая же картина складывается с описанным выше верхнеапшеронским перерывом в осадконакоплении на складках Хиллы и Нефтечала, когда подъем был, а складчатость в это время в пределах складок не проявлялась. Фиксация явления, когда поднятие не сопровождается складчатостью, выявленного нами в пределах Нижнекуринской впадины, указывает на общую природу движений, обусловливающих эти явления, в таких разных по своей истории и структуре геоструктурных единицах, какими является Большой Кавказ и Куринская впадина.

Со всей очевидностью возникает вывод, что дело здесь не в особых складчатых движениях, которые приводят к смятию слоев в складки, а в масштабе проявления одного и того же процесса—дифференциации сил, проявляющегося в пределах определенной площади.

ЛИТЕРАТУРА

1. Белоусов В. В. Основные вопросы геотектоники. Госгеолтехиздат, 1962.
2. Белоусов В. В. Мощность отложений, как выражение режима колебательных движений земной коры. "Сов. геология", № 2—3, 1940.
3. Машавили А. Б. Тектоника и формирование складчатости антиклинальной зоны Кировзаг—Нефтечала Нижнекуринской впадины. Канд. дисс. Фонд Ин-та геологии АН Азерб. ССР, 1967.
4. Хани В. Е., Шарданов А. Н. Геологическая история и строение Куринской впадины. Изд. АН Азерб. ССР, 1952.

Институт геологии

А. Б. Машавили

Поступило 15. VII 1969

Кировдаг-Нефтечала антиклиналь зонасында гырышыглыг эмэлэктэрийн тектоник гүүвэлэрийн характеристики

ХҮЛСЭ

Тэдгигатда Ашагы Күр депрессијасынын Кировдаг-Нефтечала антиклиналь гырышыглыг зонасында гырышыгларын иикишафынын чөкүнүү эмэлэ кэлмэси илэ элагэсн арашдырылмышдыр. Мүэллиф көстэрир ки, гырышыгларын иикишафы мүэлжэн саңаёд тектоник гүүвэлэрийн дифференсајасы илэ элагэдарьддыр. Бууну да иэтничеснидэ бэ'зи наалдарда локал галхынтылар—гырышыглар, дикэр наалда исэ мурээ-кэб структур элементлэр эмэлэ кэлир. Гырышыг эмэлэ кэтирийн һэрэ-кэтлэр сэргээст категоријалы һэрэкэтлэр олмајыб, јалызыг өнтизазы һэрэкэтлэрийн кичик мигјасда тэзанхүрүдүр.

А. В. Moshavili

The character of tectonic strengths forming the folding of the anticlinal zone Kjurovdag—Neftechala

SUMMARY

In the article is considered the connection between of the folding growing and accumulating thickness. The author had come to conclusion that the differentiation of variation sometimes forms the local folds and in other cases structural elements of the more large rank.

АЗЭРБАЙЧАН ССР ЕЛМЛЭР АКАДЕМИЈАСЫНЫН МӘРҮЗӘЛӘРИ

ДОКЛАДЫ АКАДЕМИИ НАУК АЗЕРБАЙДЖАНСКОЙ ССР

ТОМ XXVII

№ 9

1971

УДК 594

ЭКОНОМИКА

Г. М. МУСАЕВ

ЭКОНОМИЧЕСКАЯ ЭФФЕКТИВНОСТЬ ПРОИЗВОДСТВА ЛЕГКИХ ЗАПОЛНИТЕЛЕЙ БЕТОНА НА БАЗЕ ОТХОДОВ НЕФТЕПЕРЕРАБАТЫВАЮЩЕЙ ПРОМЫШЛЕННОСТИ

(Представлено академиком АН Азербайджанской ССР Г. Б. Шахтахтинским)

В условиях Азербайджанской ССР вопросы, связанные с легкими бетонами, долгое время были и остаются проблемой, т. к. местные естественные легкие заполнители бетона отсутствуют, а производство искусственных организовано лишь в г. Баку, где то 76 тыс. м³ в год, что в 10 раз меньше потребности республики к 1971 г. и в 30 раз—к 1975 г.

Для удовлетворения растущих потребностей республики в легких заполнителях необходимо, помимо развития других видов легких заполнителей, организовать производство аглопорита на базе отходов нефтеперегонных заводов г. Баку (гумбрин), запасы которых на свалках составляют около 3 млн. м³. Кроме этого, ежегодно добавляется к этим запасам примерно 110—120 тыс. т.

Такие отходы представляют собой комковато-порошкообразную массу бентонитовых глин, равномерно пропитанную 30%-ными остатками индустриальных масел и 5% смол, что позволяет получить из них в смеси с обычной глиной аглопорит по простейшей технологии без затрат топлива, способствующего спеканию шихты и создающего аглопориту газопроницаемость. Этот аглопорит имеет насыпной объемный вес 450—650 кг/м³ против 1700 кг/м³ у природного тяжелого гравия и песка.

Технологическая часть производства аглопорита из гумбринов разработана разными авторами, а экономическая представляется в данной работе.

Однако производство аглопорита в Азербайджане до сего времени не организовано. А чехословацкие специалисты, изучая наш опыт по производству аглопорита из отходов нефтеперегонных заводов, выедрили его у себя. Как показывают эксперименты, такой аглопорит представляет собой легкий заполнитель с объемным весом 300—600 кг/м³, позволяющий получать легкие бетоны с объемным весом 800—1500 кг/м³ и прочностью 50—350 кг/см², т. е. для всякого рода конструктивных элементов зданий и в сейсмических условиях. Себестоимость

1 м³ аглопорита составит 2,0–2,6¹ руб. в зависимости от вида исходного сырья и производительности предприятий. Сыре для производства аглопорита в других городах Союза составляет около 25% его себестоимости, а в условиях гг. Баку, Сумгайта и Кировабада его стоимость будет незначительной, т. к. условия в этих городах позволяют располагать аглопоритовый цех непосредственно на карьере Глины, как керамзитовый цех в Баку. При этом стоимость глины складывается только из затрат, связанных с разработкой многоковшовым экскаватором, с подачей на транспортер и на ящечный подаватель, т. е., отсутствуют транспортные и погрузочно-разгрузочные расходы. Кроме этого, благодаря наличию гумбринии почти отпадут при производстве аглопорита расходы на топливо, т. к. эти отходы являются одновременно газообразователем и топливом. На других же заводах Союза, производящих аглопорит, расходы на топливо составляют более 25% себестоимости продукции. А при организации производства аглопорита на Бакинском, Сумгайтском и других кирпичных заводах Азербайджанской ССР его себестоимость будет намного ниже, чем в других районах Союза. Это доказывается следующими расчетами.

1. **Стоимость сырья:** расход глины на 1 м³ аглопорита в среднем составляет 0,55–0,70 м³. Исследование показывает, что увеличение в шихте содержания гумбринии выше 35–40% позволяет довести до конца процесс контактного скважинания и вымучивания аглопорита. Однако по мере совершенствования технологии производства аглопорита на базе гумбринии его удельный вес в составе шихты может быть снижен до 30%, при котором в составе сырья для производства аглопорита расход глины может быть несколько уменьшен, т. е. гумбриния является бентонитовой глиной, содержащей в своем составе остатки мicas (5%). При этом расход сырья на 1 м³ аглопорита будет состоять из глины — 0,53 м³ и гумбринии 0,27 м³, что даст в сумме 0,75 м³. Таким образом, расход глины на годовой объем производства аглопорита будет: $100\ 000 \times 0,53 = 53$ тыс. м³, а стоимость 1 м³ глины по заводской себестоимости Бакинского кирпичного завода составляет 0,41 руб., что на годовой объем составит: $53\ 000 \times 0,41 = 21\ 730$ руб. Расход гумбринии на годовой объем производства аглопорита составляет: $100\ 000 \times 0,22 = 22$ тыс. м³, стоимость которых заключается только в стоимости перевозок автосамосвалом на расстояние 15 км. Так как погрузка гумбринии на автосамосвал потребителя будет производиться заводами, выпускающими гумбринию бесплатно, а расходы на разгрузочные работы при перевозке его самосвалом отпадают, стоимость перевозки гумбринии автосамосвалом на 15 км составляет 1,13 руб. при объемном весе 710 кг/м³. Таким образом, стоимость перевозки 1 м³ гумбринии в Баку составляет 0,80 руб. ($1,13 \times 0,71$) и при перевозке его до г. Сумгайти (40 км) — 1,58 руб./м³. Затраты, связанные с перевозкой гумбринии на годовой объем производства аглопорита в Баку, будут равны 17 600 руб. ($22\ 000 \times 0,8$), а в Сумгайти — 34 760 руб. ($22\ 000 \times 1,58$). Таким образом, всего стоимость сырья для производства 100 тыс. м³ аглопорита в Баку составит 29 330 руб. ($21\ 730 + 17\ 600$), для 1 м³ — 0,39 руб., а в Сумгайти — 0,56 руб. против 1,66 руб. на Белостолбенском кирпичном заводе и др.

2. **Стоимость топлива:** для производства аглопорита топливо употребляется: а) как состав шихты, способствующий скважинанию шихты и создающий аглопориту газопроницаемость. На аглопоритовых предприятиях Союза для этой цели применяется в основном уголь АШ, бурый уголь и добивки, которые состоят из опилок, пагари и пр., а стоимость их и себестоимости аглопорита составляют более 25%. В условиях же гг. Баку, Сумгайта и пр., топливом такого рода служат

имеющиеся в гумбрине остатки индустриальных масел, благодаря чему он обладает теплотворной способностью 2900–3300 ккал/кг, а стоимость гумбринии учтена в стоимости сырья. При этом гранулометрический состав технологического топлива, вводимого в шихту, значительно влияет на скорость процесса агломерации и качество готовой продукции. Для создания оптимального зернового состава, который определяется размером фракций 2–5 мм — 80% и меньше 2 мм — 20%, на действующих аглопоритовых предприятиях уголь подвергается дроблению, просеиванию и т. д., что требует дополнительных затрат. При применении же гумбринии расходы такого рода отсутствуют, т. к. зерновой состав гумбринии находится в необходимых размерах, т. е. в пределах 0–5 мм; б) для сжигания шихты. На аглопоритовых предприятиях Союза для этой цели применяются дизельное топливо, солярка, керосин, мазут, стружка и т. д. А в условиях Азербайджанской ССР имеется возможность для этой цели применять природный газ, который является самым эффективным и дешевым видом топлива. Норма расхода газа на 1 м³ аглопорита составляет 5 м³, а стоимость их 0,11 руб. ($0,022 \times 5$).

3. **Расход электроэнергии** на производство 1 м³ аглопорита составляет 22 кват, а стоимость их — 0,354 руб. ($1,61 \times 22$).

4. **Заработка платы рабочих:** как фонд заработной платы, так и численность рабочих на аглопоритовых предприятиях в основном зависит от решений технологической схемы производства аглопорита. Поэтому следует в условиях Азербайджанской ССР выбрать самую эффективную схему, основанную на последних достижениях науки и техники, как, например, на Минском комбинате крупноблочных строительных конструкций, включающем одну агломерационную машину длиной 48 м и шириной 1,5 м, мощностью 100 тыс. м³ в год и более.

При определении непрерывности в рабочей силе учтены прогрессивные нормы выработки и обслуживания оборудования.

Расчет количества персонала произведен исходя из принятого режима работы цеха в 365 дней по 7 ч. При этом по списку численность всего персонала составляет 49 человек, из них: рабочих основного производства — 31, зарплата которых входит в структуру себестоимости продукции, как основная заработка платы. А годовой фонд основной заработной платы определен, исходя из принятой среднегодовой зарплаты по категориям работников на уровне, достигнутом на предприятиях легких производственных предприятий, т. е. 1080 руб. на одного рабочего, что на всех рабочих составляет 33,4 тыс. руб. (1080×31), а на производство 1 м³ аглопорита — 0,33 руб. ($33\ 400 : 100\ 000$).

5. **Начисление на зарплату** берется 6,1% от основной зарплаты, что составляет 0,02 руб./м³.

6. **Цеховые расходы.** К таким относятся: заработка платы цехового персонала и начисления по ней, расходы на содержание и эксплуатацию оборудования (зарплата дежурного персонала и начисления по ней, смазочные и обтирочные материалы), расходы на содержание зданий и сооружений (освещение, вентиляция, водоснабжение и отопление); амортизационные отчисления — в данном случае берется 6,5% от сметной стоимости производственного корпуса, галерен и склада готовой продукции, расходы на текущий ремонт принятые в размере 50% от суммы затрат на амортизацию основных фондов; износ малоценнего инвентаря; охрана труда; прочие расходы (берется 10% от всех расходов).

Цеховые расходы в целом по технико-финансовому плану Бакинского кирпичного завода составляют 193% от заработной платы рабочих, а на 1 м³ аглопорита составляет — 0,64 руб.

7. Общезаводские расходы принимаются в размере 10% от цеховой себестоимости продукции.

8. Внепроизводственные расходы берутся в размере 2,0% от заводской себестоимости продукции. Таким образом, себестоимость бакинского и сумгайтского (экспериментального) аглопорита по предварительной калькуляции автора соответственно составляет 2,04 и 2,21 руб. против 7,51 руб. у Белостолбовского, 6,75 руб.—Алма-Атинского и 5,47 руб.—у Минского кирпичных заводов.

Это является результатом того, что по многим статьям затрат себестоимость бакинского аглопорита ниже, чем на других предприятиях.

Организация производства аглопорита из отходов нефтеперегонных заводов на базе последних достижений науки и техники, а также с учетом опыта действующих предприятий по производству аглопорита даст большие экономические выгоды. Так, только одно использование отходов нефтеперегонных заводов при производстве аглопорита как топлива для спекания шихты взамен каменного угля даст экономический эффект 1,5—2,0 руб. на 1 м³ аглопорита; а на годовой объем производства (500 тыс. м³) 750 тыс.—1 млн. руб. Таким образом, использование всех запасов гумбрин, которых хватит на 30 лет для производства 500 тыс. м³ аглопорита в год, даст народному хозяйству республики экономический эффект 22,5—30 млн. руб.

Институт экономики

Поступило 20. IX 1970

Н. М. Мусаев

Нефт е'малы сәнајесинин туллантыларынан јүнкүл бетон долдуручулары истеңсалынын игдисади сәмәрәлиији

ХУЛАСӘ

Азәрбајчанда тәбии јүнкүл бетон долдуручулары јохдур. Сүн'ијолла истеңсалы исә тәкчә Бакыда, бу да 1971-чи илин тәләбатындан 10 вә 1975-чи илин тәләбатындан исә 30 дәфә аз тәшкىл едилшидир. Республикада бу тәләбаты там өдәмәје кениш имканлар вардыр. Иттисади һесабламалар көстәрир ки, нефт е'малы заводларынын туллантысы (гумбрин) аглопорит истеңсалы үчүн јахши хаммалдыр вә белә аглопоритин маја дәјәри Иттифаг сәвијјәсийдән 2—3 дәфә ашагы алынар. Бу рәгәм Бакы вә Сумгајыт шәһәрләринде мүәллифин калкулasiясына көрә 2—2,2 манат ола биләр. Белә ки, хаммалын, јана-чагын вә с. гијмети аглопоритин маја дәјәрнинде Иттифаг үзрә бөյүк мәбләг тәшкىл едир, Азәрбајчанда исә бу сәрф чүз"идир. Бакыдакы гумбрин еһтијаты илдә 500 мин м³ аглопорит истеңсал етмәк үчүн 30 илә кифајэт едәр. Бу исә халг тәсәррүфатына 30 миллион маната јахын хејир верәр.

H. M. Musayev

The economic effectiveness of production of light filling of concrete on the basis of scrub of oil-refining industry

SUMMARY

This research deals with the problem of the effectiveness of production of light filling of concrete from waste material of oil-refining industry, the stock of which is sufficient for 30 years for the production of 500 thousand m³ agloporeta a year, and which can give economical profit for about 30 million roubles.

АЗӘРБАЙЧАН ССР ЕЛМЛӘР АКАДЕМИЈАСЫНЫН МӘРҮЗӘЛӘРИ

ДОКЛАДЫ АКАДЕМИИ НАУК АЗЕРБАЙДЖАНСКОЙ ССР

ЧИЛД XXVII

№ 9

1971

УДК 581. 133

БИТКИ ФИЗИОЛОГИЈАСЫ

А. Н. Мәммәдов

МУХТАЛИФ НӘМЛИК ШӘРАИТИНДӘ МИНЕРАЛ ГИДА ЕЛЕМЕНТЛӘРИНИН ПАМБЫГ БИТКИСИНДӘ АЗОТЛУ БИРЛӘШМӘЛӘРИН МИГДАРЫНА ТӘ'СИРИ

(Азәрбајчан ССР ЕА академији M. N. Абуталыбов тәғдим етмишидир)

Бир чох тәдгигат ишләrinдә сүбүт олуимушдур ки, битки организмидә азотлу бирләшмәләрин, хүсусилә зүллаларын синтези гида режими илә сых сурәтдә әлагәдардыр [1, 2, 3, 4, 5, 6, 7, 8, 9, 10, 11, 12]. Лакин гејд етмәк лазымдыр ки, азотлу маддәләр мубадиләсінә гида элементләринин тә"сири биткиләрин су илә нә дәрәчәдә тә"мин олумасы, јә"ни торпаг нәмлиji илә билаваситә әлагәдардыр. Буну нәзәрә алараг тәдгигат ишимиздә мұхталиф торпаг нәмлиji шәраитинде азот, фосфор вә калум элементләринин мұхталиф нисбәтләринин памбыг биткисинде азотлу бирләшмәләрин мигдарына тә"сирини өјрәндик.

Тәчрүбә Азәрбајчан ССР Елмләр Академијасынын Нәбатат бағында векетасија еви шәраитинде 16 кг торпаг тутан векетасија габларында 108-Ф сортлу памбыг биткиси илә гојулмушдур. Торпағын нәмлиji онун үмуми су тутумунун 40 (минимал) вә 60 (оптимал) фази нисбәтнинде сахланылышдыр. Күбрәләр торпағын һәр килограмына мг һесабы илә тәтбиғ олуимушдур. Торпаға азот аммониум сульфат, фосфор натриум динидрофосфат вә калиум исә калиум сульфат дузу шәклиндә верилмишидир.

Үмуми азот Келдал, зүлал азоту исә Барыштејн методу илә тә"јин едилмишидир (Јермаков вә б. 1952). Јарпагларда азотун гида режимидән асылы олараг векетасија мүддәтнинде дәјишишмәси 1-чи чәдвәлдә көстәрилмишидир. Рәгәмләрдән айдын олур ки, минимал нәмлик шәраитинде минерал гида элементләри гөнчәләмә фазасында азотун мигдарына мұхталиф дәрәчәдә тә"сири едир. N₂₀₀P₁₀₀K₅₀ вә N₂₀₀P₂₀₀K₅₀ варианты үмуми азотук мигдарыны даһа чох артырыр. Зүлал азотунун синтезинә исә N₁₀₀P₂₀₀K₅₀ варианты даһа еффектли тә"сири көстәрир. Чичәкләмә фазасында үмуми вә зүлал азотунун бүтүн варианты үзәрә азалмасына баҳмајарag ганунауғуилуг әввәлки кими галышдыр. Белә ки, бу фазада да үчүнчү вә бешинчи вариантлар гејри-зүлал азотунун һесабына үмуми азотун мигдарыны даһа чох артырыр. Күман етмәк олар ки, нәмин нисбәтләрдә верилмиш гида элементләри азотун мәнимсәнилмәсінә даһа мүсбәт тә"сири едир.

$N_{100}P_{200}K_{50}$ нисбетинде күбрәләри вәрilmәси азогүн биткиләр тәрә-
финдә 1 мәнимәттәмәси илә J_{11111} , онун зұлалларын синтезинде
истиғадә олумысны хејли сүр“әгләнді”сир. Буну гозалама фазасын-
да азогүн мигдарыны иғадә едән рәгемләр дә тәсдиғ едир. Һәмин
дөврдә зұлал азогүнүн кәсеки сурәттә азалмасына баҳмтәріг, дәр-
дүңчү вариантын бигкиләринде бу мигдір нисбәтін J_{11111} сәвијједә
галмышдыр.

Минимал нәмлик шәрәнтиңе нисбәттән оптималь нәмлик шәрәнти Іарпигларда азотту бирләшмәләрнә даңа чох топламасына сәбәб олур. Хүсусиәт зұлал азогуның синтезине оптималь нәмлик шәрәнти ефекті тәсір едір. Белә шәрәнгә бечәрилмәш памбаг биткіләрінде $N_{200}P_{100}K_{50}$ $N_{100}P_{200}K_{50}$ вә $N_{200}P_{200}K_{50}$ нисбәтләріндә минерал гидролизтәрдің верилмәсін гөнчә іемде фазасында Іарпигларда азоттун даңа чох топламасының тәсір минимал нәмлик шәрәнтиндән фәрғли оларға, бу нәмликтә зұлал азоттун синтезине $N_{200}P_{200}K_{50}$ нисбәттәндә күбрәләрнә верилмәсін жаңышы тәсір көсгәрір. Бу гаунау-жүннүлгү сопракы фазаларда апарылан тәсір жиналарда да өзүнүң бүрүзә верір.

2-ЧИ ЧЭДВЭЛ

Мухталиф нэмлик шэрэгтнүүдэлээр минерал гида элементлэрийн памбыг биткисиний ноктуйдээ азотлуу бирлэшмэлэрийн мигдарына тө'сире

Вариантлар	Төрнүктердегі шарттың уздырылыш проценті	Гуру чекије көрә, %-да								
		Генчелеме фазасы		Чичекләмә фазасы		Гозалама фазасы				
		Умуми	Зұлал	Гејри- зұлал	Умуми	Зұлал	Гејри- зұлал	Умуми	Зұлал	Гејри- зұлал
$N_{100}P_{100}$	40	2,03	1,24	0,79	1,81	0,88	0,93	1,11	0,58	0,83
$N_{100}P_{100}K_{50}$		2,17	1,28	0,89	1,88	0,84	1,04	1,52	0,53	0,99
$N_{200}P_{100}K_{50}$		2,51	1,36	1,15	2,21	1,02	1,19	1,88	0,64	1,24
$N_{100}P_{200}K_{50}$		2,21	1,53	0,66	1,98	1,26	0,82	1,62	0,78	0,84
$N_{200}P_{200}K_{50}$		2,36	1,44	0,92	2,07	1,10	0,97	1,74	0,68	1,06
$N_{100}P_{100}$	60	2,21	1,44	0,77	1,96	1,12	0,84	1,62	0,83	0,79
$N_{100}P_{100}K_{50}$		2,35	1,48	0,87	2,02	1,08	0,94	1,76	0,79	0,97
$N_{200}P_{100}K_{50}$		2,72	1,61	1,11	2,3	1,21	1,15	2,06	0,94	1,12
$N_{100}P_{200}K_{50}$		2,52	1,78	0,74	2,16	1,33	0,78	1,81	1,04	0,77
$N_{200}P_{200}K_{50}$		2,66	1,87	0,79	2,29	1,46	0,83	1,94	1,16	0,78

азотунун мигдары кәсқин сурәтдә азалып ки, буны да һәмми бирләшмәләрни зұлалларын синтезинә даға өзін сәрф олумасы илә изаһ етмәк мүмкүндүр. Бу факты биткинин сопракы инкишаф фазаларында азотту мигдарыны ифадә едән рәгәмләр бир даға тәсдиғ едир. Жарпагларда олдуғу кими, көк системинде дә зұлал азотунун мигдары инкишафын сопракы фазаларында ардычыл сурәтдә азалып. Буны мејвә органларының әмәлә қәлмәси илә әлагәдер оларға азотту бирләшмәләрни һәмми органлара ахмасы вә инкишафын соң дөврләриңидә һидролиз процессинин сүрәтләнмәси нәтижесинде йүксәк молекуллу бирләшмәләрни, о чүмләлән зұлалларын парцилаимасы илә изаһ етмәк олар.

Оптимал нәмликтә бәчәрилән биткиләрдә дә мәһәс соң үч варианта көкдә азотлу маддәләрин мигдарына мүсбәт тә'сир көстәрмишdir. Лакин гејд едилемәлиидir ки, минимал нәмликтә гида элементләrinин $N_{100}P_{200}K_{50}$ иисбәтиндә верилмәси зулал азотунун синтезинә мүсбәт тә'сир көстәрирсә, оптимал нәмлик шәраптингендә $N_{200}P_{200}K_{50}$ иисбәти зулал азотунун даңа чох артмасыны тә'мин едир. Бу тә'сир сонракы фазаларда да өзүнү бүрүзэ вермишdir. Лакин $N_{100}P_{100}$ фонунда калиумун верилмәси иә яриагларда, иә дә көкдә азотлу маддәләрин мигдарында әһәмийәтли дәјишиклијә сәбәб олмамышдыр. Буна да сәбәб, Ёргин ки, Абшерон торпагларынын калиум элементи илә иисбәтән зәнккүн олмасыдыр.

Үмүмијјэтлә, азотлу бирләшмәләрин тә“Јининдән аждылашмышдырки, азот вә фосфор елементләрини мұхтәлиф иисбәтләрдә верилмәси минимал, һәм дә оптималь торпаг нәмлиji шәранитләриндә бечәрилмиш памбыг биткىләриндә азотлу бирләшмәләрин синтезинә мусбәт тә“сир көстәрир. Һәр ики нәмлик шәрантиндә зұлал азоту даға чох артап варианитдан йүксәк мәһисул көтүрүлмүшдүр.

ЭДЭБИЙЛТ

1. Алексеев А. М., Гусев Н. А. Изв. Казанск. фил. АН СССР, серия биол. и с.-х. наук*, вып. 1, 1949.
 2. Алексеев А. М., Гусев Н. А. Влияние минерального питания на водный режим растений, Изд-во АН СССР, М., 1957.
 3. Баславская С. С. Изв. АН СССР, серия биол. наук*, З, 1915.

4. Белоусов М. А. В сб.: „Водный режим растений и их продуктивность”. Изд-во „Наука”, М., 1968.
 5. Власюк П. А., Нижко В. Ф. „Агрохимия”, № 2, 1966.
 6. Гасанов А. С. Материалы I Закавказской конференции по физиологии растений. Изд-во АН Азерб. ССР, Баку, 1967.
 7. Касиарова С. А. „Изв. АН СССР, серия биол. наук”, № 2, 1933.
 8. Манаева А. Н. „Агрохимия”, № 4, 1969.
 9. Нгуен Даанг Хой Автореф., канд. дисс. Ташкент, 1968.
 10. Сафаралиева Р. А. Автореф. канд. дисс., Баку, 1967.
 11. Сулейманов И. Г., Холова Л. П. В сб.: „Водный режим растений и их продуктивность”. Изд-во „Наука”, М., 1968.
 12. Mc Neal F. H., Davis D. J. Agron. J., 46, № 8, 1954.

Ботаника институту

Алымышым 7, V 1970

А. Н. Мамедов

Влияние минерального питания на содержание азотистых соединений у хлопчатника при различных условиях водообеспеченности

РЕЗЮМЕ

В вегетационных условиях изучалось влияние различных соотношений элементов минерального питания на содержание азота у хлопчатника при 40 (минимальной) и 60% (оптимальной) влажности почвы.

Проведенные исследования показали, что при минимальной и оптимальной влажности почвы на содержание общего азота в листьях и корнях хлопчатника оказывают более эффективное влияние $N_{200}P_{100}K_{50}$.

При минимальной влажности почвы большое содержание белкового азота в листьях и корнях наблюдается у варианта $N_{100}P_{200}K_{50}$.

При оптимальной водообеспеченности отмечено большое содержание белкового азота в листьях и корнях у варианта $N_{200}P_{200}K_{50}$.

Наибольшее накопление белкового азота обеспечивает более высокий урожай хлопка-сырца.

A. N. Mamedov

The influence of the mineral nutrient on the containing of the nitrous combinations of the cotton under the differernt conditions of the ensuring

SUMMARY

It was studied by the vegetative condetions the influence of the different correlations of the mineral nutrient elements on the containing of the cotton under the minimum and optimum moisture of the soil. The conducting researches are showed, that the mineral nutrient have positively influence on the direction of the containing of the nitrous combinations by the cotton under both conditons of the soil humidity.

АЗЭРБАЙЧАН ССР ЕЛМЛЭР АКАДЕМИЯСЫНЫН МӘРҮЗӘЛӘРИ

ДОКЛАДЫ АКАДЕМИИ НАУК АЗЕРБАЙДЖАНСКОЙ ССР

ТОМ XXVII

№ 9

1971

УДК 631. 46

ПОЧВОВЕДЕНИЕ

С. А. АЛИЕВ, Р. М. КАСИМОВ

СВОБОДНЫЕ РАДИКАЛЫ НОВООБРАЗОВАННЫХ ГУМУСОВЫХ СОЕДИНЕНИЙ ПОЧВ

(Представлено академиком АН Азербайджанской ССР В. Р. Волобуевым)

В советской и зарубежной литературе изложены результаты многочисленных исследований процессов образования гумусовых соединений.

Вместе с тем природа возникновения свободных радикалов в новообразованных гумусовых веществах на различных стадиях гумификации растительной массы остается не изученной. Не выяснены изменения radicalных свойств новообразованных гумусовых веществ в процессе их конденсации и полимеризации. Для изучения этих вопросов нами использован метод электронного парамагнитного резонанса (ЭПР).

Лабораторные эксперименты проведены со свежими корнями люцерны, которые подвергались гумификации в термостате при температуре 28°C и оптимальной влажности в течение 45 дней. Через отдельные промежутки времени (исходные—5, 15, 45 дней) из гумифицированной растительной массы извлекали 0,1 н раствором NaOH гумусовые соединения. Осаждение гуминовых кислот проводили серной кислотой при pH=1.

Опыты показали, что в исходных образцах корней люцерны сигналы ЭПР не обнаруживаются. На 5-й день гумификации в выделенных из корней препаратах гуминовых кислот отчетливо наблюдаются одиночные синглетные сигналы поглощения, характерные для гуминовых кислот почв (рис. 1). Это свидетельствует о том, что формирование гумусовых веществ идет на самых ранних этапах гумификации растительной массы за счет наиболее лабильных веществ.

Возникновение неспаренных электронов в новообразованных гумусовых веществах в лабораторных опытах указывает на то, что формирование гумусовых соединений протекает при активном участии свободных радикалов.

При увеличении времени гумификации до 15 дней наблюдается отчетливый рост концентрации парамагнитных центров (ПМЦ) в исследуемых образцах. Так, на 15-й день концентрация ПМЦ возрастает в 4,5 раза по сравнению с показателями 5-дневной гумификации (таблица.) Однако последующее увеличение времени гумификации

приводит к уменьшению концентрации ПМЦ. Этот процесс сопровождается незначительным ростом ширины резонансной линии поглощения ΔH_{\max} .

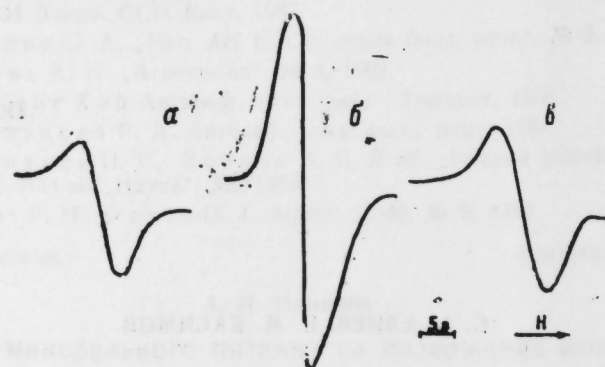


Рис. 1. Спектры ЭПР новообразованных гуминовых кислот: а—через 5 дней; б—через 15 дней; в—через 45 дней гумификации корней люцерны.

Концентрация и свойства ПМЦ в новообразованных гуминовых кислотах при гумификации корней люцерны

Длительность гумификации корней люцерны, дни	Концентрация ПМЦ, $1g \times 10^{17}$	Экспериментальная ΔH_{\max} , э	ΔH_d , э	ΔH_g , э	H_e , э	$\frac{\Delta H_g^2}{\Delta H_d \cdot H_e}$
5	0,11	5,6	4,0	4,0	3,9	1,01
15	0,48	5,6	5,2	5,8	7,0	0,93
45	0,14	6,9	5,6	5,9	6,3	0,98

Анализ формы резонансной линии поглощения методом линейных анаморфоз показывает, что процесс роста концентрации ПМЦ в новообразованных гумусовых веществах сопровождается также изменением сигнала ЭПР. На рис. 2 даны линейные анаморфозы соответственно для 5, 15, 45 дней гумификации образца. Центральная часть линии поглощения описывается лоренцевой формой, тогда как, начи-

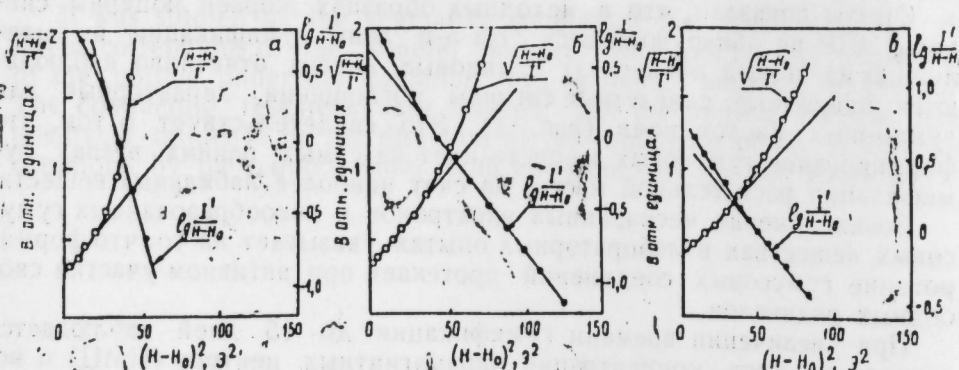


Рис. 2. Линейные анаморфозы линии поглощения новообразованных гуминовых кислот: а—через 5 дней; б—через 15 дней; в—через 45 дней гумификации корней люцерны.

ная с некоторого значения H_e , форма линии в точности соответствует гауссовой.

При 5 днях гумификации основная часть линии спектра ЭПР с $H > H_e = 4$ описывается гауссовой функцией. С увеличением времени гумификации растет H_e , достигая при 15 днях значения 7 э.

Это свидетельствует о том, что на ранней стадии гумификации обменные взаимодействия слабо выражены; в последующие сроки гумификации отмечается рост обменного взаимодействия, которое, возможно, при значительных сроках гумификации может способствовать уменьшению эффективной концентрации ПМЦ в образцах. Этому благоприятствуют развивающиеся процессы конденсации и полимеризации.

Форма и ширина линий поглощения у новообразованных гумусовых веществ схожи с формой и шириной линии сигнала ЭПР, найденной у продуктов семихинонового типа. Это подтверждают представления ряда исследователей [1—6] о возможности образования промежуточных продуктов типа семихинонов при ферментативном окислении полифенолов.

Выводы

Формирование новообразованных гумусовых веществ протекает при активном участии свободных радикалов на самых ранних стадиях гумификации растительной массы.

Новообразованные гуминовые кислоты имеют одиночные синглетные сигналы поглощения, характерные для гуминовых кислот почв.

Полимеризация новообразованных гуминовых кислот сопровождается ростом обменного взаимодействия и приводит к снижению концентрации ПМЦ. Радикально-цепной характер процессов полимеризации обусловливает рост системы гумусовых веществ и возникновение свойственных для гумусовых соединений двойных сопряженных связей ароматических ядер или семихинонов.

ЛИТЕРАТУРА

1. Конопова М. М. Процессы превращения органического вещества и их связь с плодородием почвы. „Почвоведение”, № 8, 1968.
2. Накамура Т. К. К вопросу об окислении гидрохинона лакказой. Сб.: „Свободные радикалы в биологических системах”. ИЛ, 1963.
3. Виллс S. J. Chem. Phys., № 23, 1955.
4. Flraig W., Haider K. Planta Medica. Z. Arzelpflanzenforsch., № 9, 1961.
5. Forsyth W., Quesnel V. Biochim et biophys. acta, v. 25, 1957.
6. Le Clerc A., Mondy J., Douzon P., Lissitzky S. Biochim. et biophys. acta, v. 32, № 2, 1959.

Институт почвоведения и агрохимии

Поступило 23. V 1969

С. Э. Элиев, Р. М. Гасымов

Торпагда жени әмәлә қалән һумус бирләшмәләринин сәрбәст радикалы

ХУЛАСӘ

Жени әмәлә қалән һумус маддәләринин сәрбәст радикалының мејданакәлмә тәбиғәти битки күтләсінин мұхтәлиф һумуслашма мәрһәләләріндә электрон паромагнит резонанс (ЕПР) методу илә өյрәнілмишидір.

Лабораторија мұшақидәләри көстәрмишілір ки, башланғыч јонча көкләри иүмүнәләріндә ЕПР сигналы мұшақидә олунмур. Һумуслашманың 5 күнүндә көкдән һумин түршусу ирепараты айрылдығда удуулмуш тәк синглет сигналына тәсадүф едилір. Бу да һумин түршулары учун сәчиijәвидір. Беләликлә, субут олунур ки, жени Яараан һумус маддәсі битки күтләсінин һумуслашмасының илк мәрһәләсін дә сәрбәст радикалының актив иштиракы илә асан топланан маддәнин несабына әмәлә қәлир.

Һумуслашма мүддәти 15 күнә гәдәр узадылдыгда мүшәнидә апaryлан иүмүнәләрдә сәrbəst radikalны гатылығыны артмасы нәзәрә чарпачаг дәрәчәдә олур. 5 күнүн көстәричиләrinә инсбетән 15 күнүн һумуслашмасыны мугаисә етсәк, сәrbəst radikalны гатылығыны 4—5 дәфә артдығы айдын көрүнәр.

Һумуслашма мүддәтинин тәдричән артырылмасы гарышылыглы мүбадиләнин вә сәrbəst radikalны гатылығыны йүксәлмәсінә сәбәб олунур. Гатылашма просесинин иикишафы вә полимерләшмәнин иикишафы буна әльвериши шәрант җарадыр ки, бу да һумус маддәсинин актив радикалнын тутмасы вә икигат работәнин, җаҳуд семихин онун әмәлә кәлмәси илә иәтичәләнir. Удулмуш ЕПР хәттинин анализ резонансы анаморфоз методу илә өфрәнилмишdir.

S. A. Aliev, R. M. Kasimov

The free radicals of newformation humic combinations of soil

SUMMARY

The nature of beginning the free radicals in newformation humic matters in different stages humification of plant mass were study by the method of electronparamagnetic-resonance (EPR).

Formation of a new humic matters occur in an active participation of free radicals on the very early stages humification plant mass.

АЗЭРБАЙЧАН ССР ЕЛМЛӘР АКАДЕМИЈАСЫНЫН МӘ'РУЗӘЛӘРИ

ДОКЛАДЫ АКАДЕМИИ НАУК АЗЕРБАЙДЖАНСКОЙ ССР

ТОМ XXVII

№ 9

1971

УДК 631.4

МЕЛИОРАТИВНОЕ ПОЧВОВЕДЕНИЕ

C. A. КУРБАНОВ

ИЗМЕНЕНИЯ ВЫСОТЫ УРОВНЯ ГРУНТОВЫХ ВОД ЮЖНОЙ МУГАНИ АЗЕРБАЙДЖАНСКОЙ ССР

(Представлено академиком АН Азгрбайджанской ССР В. Р. Волобуевым)

Одним из ценных в природно-хозяйственном отношении районов Азербайджана является Южная Мугань, представляющая собой зону развития высокочастных сортов хлопчатника, но на значительных массивах она характеризуется неблагоприятным состоянием земельного фонда.

В связи с этим совершенно очевидна необходимость применения мелиоративных мероприятий, направленных на оздоровление земельного фонда, в первую очередь на упорядочение неблагоприятного в настоящее время состояния и режима грунтовых вод.

На основании непосредственных наблюдений, а также имеющихся указаний ряда авторов и исследователей [1] и др., можно констатировать, что на Южной Мугани режим грунтовых вод в основном определяется орошением.

Вполне естественно, что правильная разработка мелиоративных мероприятий будет иметь место при условии знания состояния грунтовых вод, характера режима, а также факторов, слагающих их.

На основании имеющихся карт глубин залегания уровня грунтовых вод за 1938, 1950, 1963 и 1968 гг. нами определены средние изменения уровней грунтовых вод Южной Мугани (выше канала им. Азизбекова) Азербайджанской ССР. Для получения представления о среднем режиме уровня грунтовых вод за периоды 1938—1950, 1950—1963 и 1963—1968 гг. по известной формуле М. М. Крылова определялись средние изменения высоты положения их уровня.

Так, формула М. М. Крылова:

$$\Delta h = \frac{\pm (h_1 + h_2) \Delta \omega_{1-2} \pm (h_2 + h_3) \Delta \omega_{2-3} \pm \dots}{2\omega},$$

где h_1 ; h_2 —глубины до грунтовых вод, соответствующие принятым градациям на карте;

$\Delta \omega_{1-2}$; $\Delta \omega_{2-3}$ —приращение площадей к концу балансового периода в принятых градациях глубин;

ω —общая площадь района.

Знак перед скобками зависит от того, увеличилась (минус) или

уменьшилась (плюс) площадь в данной градации глубин залегания уровня грунтовых вод. По картам для каждого периода в отдельности планиметрировались площади равных глубин по принятым интервалам (1,0—3,0; 3,0—5,0; 5,0—10,0; 10,0—20,0; 20,0—40,0). Далее подсчитывалось увеличение или уменьшение площади в данной градации глубин залегания уровня грунтовых вод и определялось среднее изменение высоты положения уровня грунтовых вод по периодам а также по среднегодовой величине в пределах рассматриваемого массива.

Поэтому, прежде чем приступить к анализу изменения высоты уровня грунтовых вод Южной Мугани, мы считаем необходимым выявить факторы, влияющие на уровень грунтовых вод.

Так, результаты расчетов, приведенные в таблице, дадут нам возможность сделать выводы в отношении изменения площадей на разных уровнях грунтовых вод Южной Мугани.

Помимо рассмотрения и анализа среднего изменения высоты положения уровня грунтовых вод, по каждому периоду в отдельности, представляет интерес также и сравнительное рассмотрение по годам для одного и того же периода. Данное обстоятельство имеет большое значение при условии орошаемых площадей за отдельные годы массива, как это имеет место в практике Южной Мугани.

Так, по расчетам, результаты которых приведены в таблице, для периода 1938—1950 гг.—средние изменения уровня грунтовых вод составляют 7,283 м, а среднегодовые изменения—0,607 м.

По второму периоду 1950—1963 гг. средние изменения уровня грунтовых вод составляют 1,554 м, а среднегодовые пополнения уровня грунтовых вод—всего лишь 0,12 м. Это обстоятельство имеет большое значение при условии орошаемых площадей за отдельные годы.

Так как глубина уровня грунтовых вод от поверхности земли в первом периоде, т. е. 1938—1950 гг., по основной площади массива была более 5,0 м, поэтому и суммарное испарение имело незначительное место в общем балансе грунтовых вод.

Но при интенсивном орошении скорость подъема уровня грунтовых вод имела большое значение.

После 1950 г., т. е. в период 1950—1963 гг., как видно из таблицы, основную часть площади степи занимает высокое стояние уровня грунтовых вод, т. е. из 60% общей площади меньше 5,0 м занимает площадь со стоянием уровня грунтовых вод.

Это обстоятельство создало условия для повышения суммарного испарения, т. е. скорость суммарного испарения с поверхности грунтовых вод была значительной.

В третьем периоде—1963—1968 гг.—средние пополнения уровня грунтовых вод составляют 1,893 м, а среднегодовое изменение уровня грунтовых вод в три раза больше, чем во втором периоде, и составляет 0,368 м. Это обстоятельство имеет большое значение для земель конуса выноса р. Болгарчай.

Как нам известно, после 1963 г., т. е. в период 1963—1968 гг., на р. Болгарчай построено водохранилище, в котором собираются паводковые воды; и на фоне водохранилища увеличились орошаемые площади в Южной Мугани, выше канала им. Азизбекова.

Кроме того, немалое значение имеют фильтрационные воды из водохранилища, которые пополняются грунтовой водой, расположенной ниже площадей массива.

Необходимо также иметь в виду своеобразный характер освоения Южной Мугани из года в год на фоне канала им. Азизбекова. Мы

Изменение площадей на разных уровнях грунтовых вод в Южной Мугани

№ пп.	Расчетные периоды	Глубина залегания уровня грунтовых вод от поверхности земли, м			Изменение высоты грунтовых вод за год, м	
		1,0—3,0	3,0—5,0	5,0—10,0		
I	1938— 1950 гг.	Общая пло- щадь $\omega = 37\ 000\ га$	За 1938 г. За 1950 г.	1 365 7 500	16 620 15 500	7 690 —
		Увеличение площадей	7 800	6 135	—	—
II	1950— 1963 гг.	Общая пло- щадь $\omega = 37\ 000\ га$	За 1950 г. За 1963 г.	— 7 800 12 600	1 120 7 500 14 600	5 215 7 600 —
		Увеличение площадей	— 7 800	— 7 500 14 600	— 6 200 5 500	— — —
III	1963— 1968 гг.	Общая пло- щадь $\omega = 37\ 000\ га$	За 1963 г. За 1968 г.	4 800 —	7 100 —	1 554 —
		Уменьшение площадей	— —	— —	— —	0,12 —
		Увеличение площадей	— 12 600 22 335	— 14 600 7 965	11 200 700	— —
		Уменьшение площадей	9 735	—	— 2 400	— —
		Уменьшение площадей	—	6 635	— 5 500	— —

можем определить изменение высоты уровня грунтовых вод за 30 лет (1938—1968 гг.) в условиях Южной Мугани (выше канала им. Азизбекова) Азерб. ССР.

Так, эта величина составляет:

$$\Delta H = \Delta h' + \Delta h'' + \Delta h''' = 7,283 + 1,554 + 1,893 = 10,730 \text{ м.}$$

Определение изменения высоты уровня грунтовых вод за 30 лет, а также для каждого балансового периода, имеет большое значение при оценке мелиоративного состояния земель в условиях Южной Мугани.

Эти данные также будут использованы при прогнозировании режима грунтовых вод на проектируемом массиве орошения Южной Мугани.

ЛИТЕРАТУРА

1. Волобуев В. Р. Генетические формы засоления почв Кура-Араксинской низменности. Баку, 1965.
2. Крылов М. М. Основы мелиоративной гидрогеологии Узбекистана. Ташкент, Изд-во АН Уз. ССР, 1959.
3. Кац Л. М. Контроль режима грунтовых вод на орошаемых землях. М., 1967.

Институт почвоведения
и агрохимии

Поступило 29. XII 1969

С. А. Гурбанов

Жералты суларының сәвијә дәринлијинин
Азәрбајҹан ССР-ин Чәнуби Муган торпагларында¹
дәјишилмәси

ХҮЛАСӘ

Мә’лумдур ки, мелиорасыја етијачы ‘олан торпаглары мелиорасыја васитәсилә Іахшылашдырмаг үчүн, биринчи нөвбәдә, жералты суларының торпағыны шәрәнтинә тә’сир едән амилләрини билмәк лазымдыр.

Мәгалә жералты суларының сәвијәсінин айры-айры мүддәтләрдә, јәни 1938—1950, 1950—1963 вә 1963—1968-чи илләр арасында дәјишилмәсінә һәср едилмишdir. Бу несабатлар Чәнуби Муган торпагларының 1938, 1950, 1963 вә 1968-чи илләрдәкі һидрокеологи ахтарышлары вә жералты суларының сәвијә дәринлији хәритәләрindән истифадә едиләрек М. М. Крыловун мә’лум формулу әсасында апарылышдыр. Алымыш иәтичәләрдән Чәнуби Муган торпаглары үчүн тәтбиг едиләчәк мелиорасыја васитәсилә торпағыны шәрәнтинин Іахшылашдырылмәси ишләрindә истифадә олуначагдыр.

S. A. Kurbanov

The change of ground water level height of southern Mugan in Azerbaijan SSR

SUMMARY

This article deals with the problem of revealing the ground waters level height change of gouthier Mugan in Azerbaijan SSR. Mean change of ground waters level height in the ground of southern Mugan of Azerbaijan SSR (higher the canal named after Azizbekov) has been determined on the basis at completed maps at level bedding depth of ground Waters for 1938, 1950, 1963 and 1969 years.

АЗӘРБАЙЧАИ ССР ЕЛМЛӘР АКАДЕМИЈАСЫНЫН МӘРУЗОЛӘРИ

ДОКЛАДЫ АКАДЕМИИ НАУК АЗЕРБАЙДЖАНСКОЙ ССР

ТОМ XXVII

№ 9

1971

УДК 592.28.095

БИОХИМИЯ

А. А. РАДЖАБОВА, З. Э. БЕККЕР, Н. А. МЕХТИЕВА

СРАВНИТЕЛЬНОЕ ИЗУЧЕНИЕ МЕТОДОМ ТОНКОСЛОЙНОЙ ХРОМАТОГРАФИИ НЕНАСЫЩЕННЫХ СОЕДИНЕНИЙ ИЗ МИЦЕЛИЯ НЕКОТОРЫХ ГИФОМИЦЕТОВ

(Представлено академиком АН Азербайджанской ССР М. К. Ганиевым)

Хищные грибы из рода *Arthrobotrys* весьма близки морфологически к видам рода *Trichothecium*. Многие виды рода *Arthrobotrys* как и *Trichothecium roseum* имеют характерную розовую окраску конидий, зависящую от наличия каротиноидов, а многие их штаммы обладают способностью выделять ароматические вещества. Эти особенности приводят к мысли о наличии в их обмене сильно развитого терпеноидного цикла, что в случае *Trichothecium* подтверждается его способностью продуцировать антибиотики трихотекин, являющийся производным сесквитерпеноидов, розононолактон и розололактон, видимо представляющие собою циклические производные геранил-гераниола [6].

Это побудило нас провести сравнительное исследование веществ, могущих быть отнесенными к классу терпеноидов, накапливающихся в мицелии грибов из данных родов и других гифомицетов с помощью метода тонкослойной хроматографии.

Материал и методика исследования

Поскольку исследования продуктов метаболизма грибов с применением тонкослойной хроматографии, широко распространенной при изучении терпеноидов растительного происхождения [4], практически отсутствовали, исключая ряд работ по афлатоксинам из *Aspergillus flavus* [5], нам пришлось уделить значительное внимание разработке метода исследования. Чами были использованы методы экстракций, сходные с применявшимися при извлечении из грибов каротиноидов, стероидов и антибиотиков, образуемых *Trichothecium roseum*, и методы хроматографии, принятые для изучения этих групп соединений.

Основная отработка метода проводилась с использованием штаммов, указанных в таблице.

Культуры грибов выращивались на чашках Петри, на 5° сусле-агар при 27°C в течение 15—20 дней, после чего воздушный мицелий снижался и экстрагировался органическими растворителями из расчета 100 мл растворителя на мицелий со 100 чашек Петри. Для извлечения

Сравнение тонкослойных хроматограмм на активированном слое окиси алюминия хлороформомных экстрактов из мицелия различных видов грибов при проявлении пятен в ультрафиолетовом свете (УФ), парами йода (ФМК)

Системы для хроматографии	Вид гриба и штамм	№ хроматограммы	Способ проявления	<i>R_f</i> пятен																
				1	2	3	4	5	6	7	8	9	10	11	12	13	14	15	16	17
1 Петрол. Эфир- этилаце- тат	<i>Arthrobotrys musi- formis</i> шт. 123	21	УФ J ₂	0,02 0,04	0,05 0,07	0,08 0,12	0,13 0,17	0,20 0,23	0,29 0,32	0,34 0,40	0,42 0,45	0,49 0,52	0,54 0,57	0,58 0,63	0,68 0,74	0,83 0,86	0,89 0,96			
Этанол	<i>Trichothecium roseum</i>	23	УФ J ₂	—	—	—	—	—	—	—	—	—	—	—	—	—	—	—	—	—
Неза- креплен- ный слой	<i>Fusarium gibbosum</i>	•	УФ J ₂	—	—	—	—	—	—	—	—	—	—	—	—	—	—	—	—	—
	<i>Trichophyton gip- seum</i>	•	УФ J ₂	+	—	—	—	—	—	—	—	—	—	—	—	—	—	—	—	—
	<i>Penicillium scleroti- rum</i>	•	УФ J ₂	—	—	—	—	—	—	—	—	—	—	—	—	—	—	—	—	—
	<i>Aspergillus terreus</i>	26	УФ J ₂	—	—	—	—	—	—	—	—	—	—	—	—	—	—	—	—	—

1	2	3	4	5	6	7	8	9	10	11	12	13	14	15	16	17	18	Окисление таблицы			
II Петрол. Эфир- хлоро- форм	<i>Arthrobotrys musi- formis</i> шт. 123	27	УФ 2	ФМК	УФ 12	ФМК	УФ 8	ФМК	УФ 60	ФМК	УФ 10–12	ФМК	УФ 8–10	ФМК	УФ 12–16	ФМК	УФ 15–16	ФМК	УФ 10–16	ФМК	УФ 15–16
Закре- пленный слой	<i>Arthrobotrys</i>	•	УФ J ₂	—	—	—	—	—	—	—	—	—	—	—	—	—	—	—	—	—	—
	<i>A. kirghizica</i> шт. 121	•	УФ J ₂	—	—	—	—	—	—	—	—	—	—	—	—	—	—	—	—	—	—
	<i>A. cystospora</i> шт. 60	•	УФ J ₂	—	—	—	—	—	—	—	—	—	—	—	—	—	—	—	—	—	—
	<i>Trichothecium roseum</i>	•	УФ J ₂	—	—	—	—	—	—	—	—	—	—	—	—	—	—	—	—	—	—
	<i>Trichophyton gypseum</i>	•	УФ J ₂	—	—	—	—	—	—	—	—	—	—	—	—	—	—	—	—	—	—
	<i>Penicillium sclerotio- rum</i>	•	УФ J ₂	—	—	—	—	—	—	—	—	—	—	—	—	—	—	—	—	—	—
	<i>Fusarium gibbosum</i>	•	УФ J ₂	—	—	—	—	—	—	—	—	—	—	—	—	—	—	—	—	—	—
	<i>Aspergillus terreus</i>	•	УФ J ₂	—	—	—	—	—	—	—	—	—	—	—	—	—	—	—	—	—	—

Причесание. Цвет пятен: З—зеленый; С3—серо-зеленый; Г—голубой; П—темное пятно, поглощ. ультрафиол.; К—красно-коричневый.

были опробованы ацетон, этанол, бензол, толуол, петролейный эфир, хлороформ и 1,5% метанола в хлороформе, рекомендованные Штадлем [4] для извлечения смол. Экстракция всеми растворителями проводилась на водяной бане при температуре кипения данного растворителя в течение 3 ч.

На основании данных о широте набора экстрагируемых веществ, получаемых при контроле на тонкослойной хроматограмме, в качестве стандартного экстрагента был избран хлороформ. По окончании извлечения экстракт концентрировался до объема 5 мл и подвергался хроматографии.

Тонкослойная хроматография проводилась на стеклянных пластинках размера 13×27 см двумя способами: на незакрепленном слое окиси алюминия с активностью 2 [1] и на закрепленном слое того же сорбента, содержащем 25 г Al_2O_3 и 1,25 г CaSO_4 . В первом случае примененная система растворителей состояла из петролейного эфира (температура кипения 60°C), этилацетата и этанола (90:5:5) [1], во втором—из смеси петролейного эфира с хлороформом (1:1), используемой для хроматографии на силикагеле [4]. При хроматографировании на линию старта микропипеткой наносилось 3—5 раз по 0,05 мл экстракта, и процесс разгонки в камере с насыщением при температуре 20—25°C продолжался 45 мин—1 ч.

Полученные хроматограммы просматривались в ультрафиолетовом свете с помощью ультрахимископа УИ-1 и далее обрабатывались проявителями, принятymi для идентификации терпенов, смол и других продуктов терпенового обмена [1, 2, 3, 4]. Основными из них были, кроме свечения и поглощения в ультрафиолетовом свете, реакции с фосфорно-молибденовой кислотой и парами йода, характерные для ненасыщенных соединений изопренового строения.

РЕЗУЛЬТАТЫ И ИХ ОБСУЖДЕНИЕ

Результаты исследования, изложенные в суммированной схематической форме в таблице, показали, что данные виды грибов содержат различные наборы веществ, экстрагируемых из их мицелия хлороформом. Наиболее богаты этими веществами виды из родов *Arthrobotrys* и *Trichothecium roseum*, что особенно четко видно при хроматографии в менее полярной системе II (петролейный эфир—хлороформ), где обнаруживалось до 8 пятен у *Arthrobotrys* и до 10—у *Trichothecium roseum*. Число пятен у родов *Trichophyton*, *Penicillium* и *Aspergillus* в этой системе достигает от одного до пяти и они сконцентрированы в нижней части хроматограммы (R_f ниже 0,45). Несколько больше (6 пятен) обнаруживается у *Fusarium*, но свечение их иное, чем у *Arthrobotrys* и *Trichothecium*, например, не встречающееся у них серебристо-голубое (пятна R_f 0,05—0,07 и 0,49—0,52).

Вещества из мицелий видов *Arthrobotrys* и *Trichothecium roseum*, видимо, близки между собою, т. к. их R_f , типы свечения и реакции с йодом и фосфорно-молибденовой кислотой часто совпадают, что хорошо заметно в системе II.

В системе I (петролейный эфир—этилацетат-этанол) совпадения тоже встречаются, но пятна настолько общие у разных родов грибов, что она, очевидно, менее пригодна для выявления специфики различных сравниваемых родов.

С целью ориентации в отношении возможных классов, экстрагируемых из мицелии и выявляемых на хроматограммах веществ, было проведено сравнительное хроматографирование в тех же системах чистых препаратов различных биологически активных веществ про-

дуктов терпенового обмена. В испытанных системах в тонкослойных хроматограммах хорошо продвигался при нанесении на стартовую линию раствор, содержащий 10 мг/мл препарата, только один трихотецин, показавший в системе I пятно с R_f 0,61, дающее положительную реакцию с парами йода, а в системе II такое же пятно с R_f 0,23, дающее слабую реакцию с ФМК. Идентифицировать по нему какое-либо из веществ из мицелия исследуемых грибов не удалось, т. к. вещества со сходным R_f показали иные характеристики.

Из других соединений немного продвигался в обеих системах гризофульвиин, показавший в системе I пятно с голубым свечением и реакцией с парами йода с R_f 0,03. Пятно с тем же свечением с 0,06 в ультрафиолетовом свете розовое при обработке фосфорной кислотой, но слабо реагирующее с ФМК, получалось в системе II. Результат показывает, что среди выявляемых в этих системах данных проявителями веществ могут быть подобные трихотецину циклические сесквитерпены, а обнаружение более гидрофильных или более высокомолекулярных соединений типа натриевой соли фумагиллина или спорофузариогенина мало вероятно. Также маловероятно обнаружение среди веществ с высоким R_f соединений класса кумаринов типа гризофульвина.

Выводы

1. В хлороформенных экстрактах из мицелия 10 видов почвенных гифомицетов методом тонкослойной хроматографии на окиси алюминия можно выявить до десятка веществ непредельной природы, видимо, относящихся к разряду продуктов терпенового шунта метаболизма, близких к циклическим сесквитерпенам типа трихотецина.

2. Виды *Arthrobotrys* и *Trichothecium roseum* особенно богаты этими веществами, многие из которых, судя по уровню R_f и цветным реакциям, выявляются у этих родов общими.

Авторы приносят свою благодарность сотрудникам лаборатории биохимии Института ботаники АН Азерб. ССР проф. Н. Л. Гурвич и ст. научн. сотр. Р. Аббасову за методическую помощь в начальной стадии работы.

ЛИТЕРАТУРА

1. Ахрем А. А., Кузнецова А. И. Тонкослойная хроматография. М., 1964.
2. Горяев М., Плиева И. Методы исследования эфирных масел. Изд. АН Каз. ССР Алма-Ата, 1962.
3. Хайс Н. М. и Мацек К. Хроматография на бумаге. ИЛ, 1962.
4. Шталь Э. Хроматография в тонких солях. Изд. "Мир", М., 1965.
5. Jongen H. De Vries R. O. and de Vogel P. The occurrence and detection of aflatoxin in food, "Mycotoxins in Foodstuffs". Massachusetts, USA, 1955.
6. Miller M. W. The Pfitzer Handbook of Microbial Metabolites. N. Y.—Toronto—London, pp. 154—160, 161—165. 1961.

Сектор микробиологии

Поступило 19. VI 1969

А. А. Рәчәбова, З. Е. Беккер, Н. Э. Мәңдијева

Бә'зи һинфомитсетләри митселләриндәki дојмамыш
бирләшмәләрин назик тәбәгәли хроматографија
үсулу илә мугајисәли єрәнилмәси

ХУЛАСӘ

Мәгаләдә 10 нөв көбәләк митселинде назик тәбәгәли хроматографија үсулу илә хлороформ экстрактында 10-а яхын маддә олмасы мүәјҗәнләшдирилмишdir.

Айдын олмушдур ки, һәмни бирләшмәләр көбәләкләрин маддәләр мүбадиләси иәтичәсindә әмәлә кәлән бирләшмәләри мәһсулларына аид едила биләр. *Arthrobotrys* чинсендән олан нөвләр вә *Trichothecium roseum* көбәләжи бу бирләшмәләrlә даһа зәнкиндир.

A. A. Radjabova, Z. E. Bekker, N. A. Mekhtiva

The comparative study of unsaturated compounds of mycelium in some hyphomycetes by the method of thin-layer chromatography

SUMMARY

The facts are adduced in the article according to comparative study by method thin-layer chromatography some matters of unpolar nature, belong to class terpen, accumulating mycelium of some fungal forms *Arthrobotrys*, *Thrichotecium roseum* and other hyphomycetes.

By the method of thin-layer chromatography on the oxide of aluminum can be revealed about ten matters of unlimeted nature, some of hem are like to cyclonical sesquiterpen forms of trichothecyn type.

АЗӘРБАЙЧАН ССР ЕЛМЛӘР АҚАДЕМИЈАСЫНЫН МӘРҮЗӘЛӘРИ
ДОКЛАДЫ АКАДЕМИИ НАУК АЗЕРБАЙДЖАНСКОЙ ССР

ТОМ XXVII

№ 9

1971

УДК 581.4.

БИТКИ ФИЗИОЛОГИЯСЫ

Мүхбір үзв. М. А. ЭЛИЗАДӘ, Ж. Һ. СУЛТАНОВ

ДӘМЈӘ ШӘРАИТИНДӘ ЙЕТИШДИРИЛМИШ МУХТАЛИФ АРПА ВӘ БУГДА СОРТЛАРЫНЫН ЯРПАГЛАРЫНДА СУ ФОРМАЛАРЫНЫН ДӘЈИШИЛМӘ ХҮСУСИЙЈӘТЛӘРИ

Тәчрүбәләр 1969-чу илдә Җәлилабад рајонундакы М. Мәммәдҗаров анына колхозун саһесиндә дәмјә шәраитиндә экилмиш Ширвандәни, Паллидиум-596 вә Паллидиум -330 арпа, Шәрг вә Җәфәри бугда сортлары илә апарылыштыр. Үмуми, сәrbәст вә бирләшмиш сујун мигдары уч тәкрапла борувермә, сүнбүлләмә вә суд дөврү фазаларында Окунисова-Мариинчик үсулу илә тә'жин едилшишdir.

Арпа сортлары илә апарылан тәчрүбәләрин иәтичәси 1-чи, бугда сортларындан алышан иәтичәләр исә 2-чи чәдвәлдә верилмишdir.

Айдын олмушдур ки, Паллидиум-596 вә Паллидиум-330 арпа сортларында борувермә фазасындан суд дөврү фазасына гәдәр үмуми сујун мигдары дәјишмәмишdir. Ширвандәни арпа сортунда исә суд дөврүндә үмуми сујун мигдары азалыштыр. Һәм дә үмуми сујун мигдары Паллидиум-330 арпа сортунда дикәр иккى сортдан чох олушудур.

Бугда сортларында борувермә фазасындан суд дөврү фазасына доғру үмуми сујун мигдары азалыштыр. Борувермә вә сүнбүлләмә фазаларында Шәрг бугда сортунун ярпагларында үмуми сујун мигдары Җәфәри сортунан нисбәтән чохлуг тәшкіл етмишdir. Лакин суд дөврү фазасында Җәфәри бугда сорту биткиләринин ярпагларында үмуми сујун мигдары Шәрг сортундан артыг олмушдур.

Айры-айры арпа вә бугда сортлары үзәриндәки тәдгигатлардан айдынлашыштыр ки, векетатив инкишафын борувермә фазасындан суд дөврү фазасына кими олан мүddәтдә үмуми сујун мигдары Паллидиум-596 вә Паллидиум -330 арпа сортларында сабит галыштыр. Ширвандәни арпа сортунда үмуми сујун мигдары борунун чыхышы фазасындан суд дөврү фазасына доғру дайын азалыштыр.

Тәчрүбә заманы белә бир ганунаујғунлуғун шаһиди олдуг ки, борувермә фазасында үмуми суда бирләшмиш сујун фанзлә мигдары бутүн сортларда јүксәк олмушдур. Сүнбүл әмәләкәлмә фазасында бирләшмиш сујун мигдары азалыш, суд дөврү фазасында исә јенидән артмыштыр. Борувермә фазасында бирләшмиш сујун мигдары максимум гијметә чатыш вә сәrbәст сујун мигдары илә тәрс мүтәнасиб дәјишшишdir. Тәдгигат апарылан инкишаф фазаларындан борувермә

МУХТАЛИФ АРНА СОРТЛАРЫ ЙАРНАГЛАРЫНДА СУ ФОРМАЛАРЫНЫН МИГДАРЫ
1-ЧИ ЧЭДВЭЛ

Сортлар	Сујун формалары	1.V 1969 (борувермә)		9.V 1969 (сүнбүл- эмэләкәлмә)		28.V 1969 (сүд дөврү)	
		Јаш чәкијә кора, %-ла	Умуми су- да, %-ла	Јаш чә- кијә ко- ра, %-ла	Умуми суда, %-ла	Јаш чә- кијә ко- ра, %-ла	Умуми суда, %-ла
Паллидium- 596	Умуми сәрбәст бирләшмиш	72,5±0 47,3±0,346 25,2±3,362	100±0 65,5±2,042 34,8±2,064	— — —	— — —	72,5±0 57±2,214 15,5±2,20	100±0 78±3,138 21,7±2,02
Паллидium- 330	Умуми сәрбәст бирләшмиш	85±0 40±1,413 45±11,413	100±0 47±1,732 53±1,732	85±0 60±0 25±0	100±0 70,6±0 29,4±0	70±0 50±0 20±0	100±0 58,8±0 41,2±0
Ширвандани	Умуми сәрбәст бирләшмиш	82,5±0 62,5±1,449 20±1,449	100±0 76,1±2,121 23,9±2,117	85±0 64,2±0,83 20,8±0,83	100±0 75,5±1 24,5±0,83	79,2±0,7 65±1,44 14,2±1,61	100±0 81,8±1,85 18,2±2,27

2-ЧИ ЧЭДВЭЛ

Бугда йарнагларында мухтәлиф су формаларынын мигдары

Сортлар	Сујун формалары	2.V 1969 (борувермә)		20.V 1969 (сүнбүл- эмэләкәлмә)		8.VI 1969 (сүд дөврү)	
		Јаш чәкијә кора, %-ла	Умуми суда, %-ла	Јаш чәкијә кора, %-ла	Умуми суда, %-ла	Јаш чәкијә кора, %-ла	Умуми суда, %-ла
Шарк	Умуми сәрбәст бирләшмиш	77,5±0 45,3±3,63 31,7±3,76	100±0 59,1±4,68 40,9±4,68	72,5±0 58,3±5,07 14,2±4,93	100±0 80±6,96 20±6,96	55±0 42,5±0 14,5±8	100±0 77±0 23±0
Чәфәри	Умуми сәрбәст бирләшмиш	72,5±0 40±1,44 32,5±1,44	100±0 55,2±1,99 44,8±1,99	70±0 52,5±0 17,5±0	100±0 75±0 25±0	60±0 37,5±0 22,5±0	100±0 62,5±0 37,5±0

фазасында Паллидium-330 арна сорту мүстәсна олмагла, галан бүтүн сортларын йарнагларында сәрбәст сујун фазизлә мигдары бирләшмиш сујун умуми суда фазизлә мигдарындан чох олмушадур.

1—2-чи чәдвәлдән аյдынлашмышдыр ки, тәлгигат анарылан бүтүн фазаларда—борунуң чыхышы, сүнбүл эмэләкәлмә вә сүд дөврү фазаларында Паллидium-330 арна вә Чәфәри бугда сорту биткиләриндә һәмниша умуми суда бирләшмиш сујун фазизлә мигдары дикәр сортларын биткиләриндән јүксәк олмушадур. Бирләшмиш сујун мигдары чох олан биткиләр гураглыга давамлыдыр.

Паллидium-330 арна сортунуң биткиләри Паллидium-596, Ширвандани арна сортундан, Чәфәри бугда сортунуң биткиләри исә Шәрг бугда сортунуң биткиләриндән даһа чох бирләшмиш суја малик олдугу үчүн гураглыга даһа давамлыдыр.

Кенетика вә селексија институту

Алымышдыр 29. XII 1969

М. А. Али-заде, Я. Г. Султанов

Особенности изменений форм воды в листьях сортов зерновых, выращенных в условиях богары

РЕЗЮМЕ

В полевых условиях на богаре высевались сорта пшеницы Шарк (районированная) и Джифары, сорт ячменя Ширвандани (районированый), Паллидium-596 и Паллидium-330. В разные сроки вегетации определялось содержание общей, свободной и связанной воды в листьях, снятых с определенного яруса. Было установлено, что Джифари по содержанию связанной воды в листьях превосходит районированный сорт Шарк, а у сортов ячменя сорт Паллидium-330 превосходит по этим показателям сорт Ширвандани. Делается заключение о сравнительно высокой засухоустойчивости сортов Джифари и Паллидium-330.

Ali-zade M. A., Sultamov J. G.

The peculiarities of the alterations of the forms of water in the leaves of the cereals sorts, cultivated in the conditions without irrigation

SUMMARY

Study 2 sorts of the wheat and 3 sorts of the barley. Determined the content of the total, free and connective water in the leaves. Established what the sort Jafari by the content of the connective water exceed of the district sort Chark. The most high content of the connective water be notable by the barley sort Pallidum-330.

ТОРПАГ ЕРОЗИЯСЫ

УДК 631—459

Мүхбир үзү К.Э.ӘЛӘКБӘРОВ, Ш.Г.ҚҰСЕЈНОВ

**ЕРОЗИЯДА УГРАМЫШ ТОРПАГЛАРДА
СӘПИЛМИШ ЧОХИЛЛИК ПАХЛАЛЫ ОТ БИТКИЛӘРИНИН
КӨК КҮТЛӘСИННИН ТОРПАГДА ТОПЛАНМАСЫ**

Бөйүк Гафгазын шимал-шәрг йамачында Јерләшән Дәвәчи рајону республикамыздың һевандарлығын, тәрәвәзчилийн вә багчылыгын иштесив иккинағы үчүн эн әлверишиләр аразиләрдән биридир. Бу саңа-да ерозија һадисесинин баш бермәси иәтичәсийнде кәнд тәсәрүфатына Іярарлы бир соң торпаг саңа-ләрдиң сыралады чыхмыш вә оналардан йүк-сәк мәңсүл алмаг мәһідудлашмышдыр. Одур ки, бурала тәдгигат апар-маг вә торпаг еrozијасына гарыш мұбориша тәдбириләриниң һазырламағ начиб бир мәсәлә кими гарышыча чыхмышдыр.

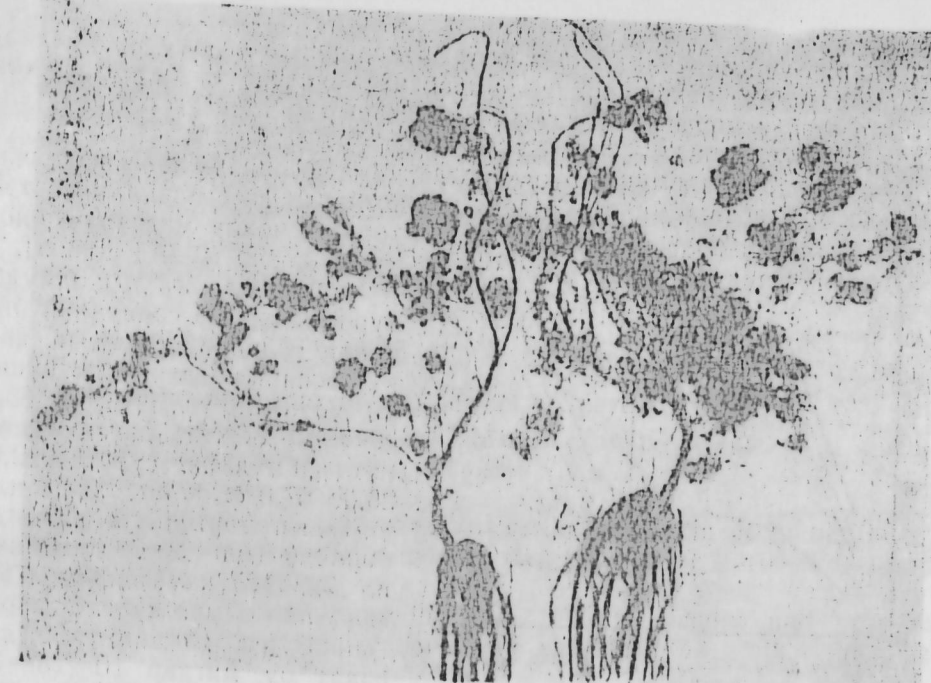
Торпаг еrozијасына гарыш мұбориша тәдбириләриниң һазырламасы мәгәеди илә Дәвәчи рајонун Пирәбәнділ сүдчүлүк совхозу аразисин-да чохиллик пахлалы от биткиләрниң ибарат саңа-да тәчрүбә апа-рылараг мүәжжәи иәтичәләр чыхарылымышдыр. Тәчрүбәләр әсасен орта дәрәчәдә еrozија уграмыш, бозғырлашмыши гәнівәji даг-меншә торпаг-ларында, йаз вә пајыз фәсилләрниң хашанын Іонча илә гарышыны вә онларын тәк сәнииләрниң ибарат саңа-да гојулмушдур.

Мә'лум олмушдуң ки, бу биткиләр торпагы иәники көвдәләри, һәтта көкләри наситәсилә еrozија уграмагдан мұваффәгијәтлә мұдафиә едә билир.

Пахлалы от биткиләри торпага һәр ил күлли мигдарда биокүтлә үст гатларында յағыларыг, алт гатларда дөргө үфғи յағылымыш көкчүк-ләрни мигдары азапыр (хүсусән Іончаны), аны көкләр исә шағули истигимәтдә дағы дәрәни гатларда кедир. Бу да һәмин биткиләрин рүту-бәт вә алт гатларда олар гидрологияндән истифада етмәсингә шә-рант յарадыр.

Чохиллик пахлалы от биткиләрниң көк күтләсін әсасен торпагын үст гатларында յағыларыг, алт гатларда дөргө үфғи յағылымыш көкчүк-ләрни мигдары азапыр (хүсусән Іончаны), аны көкләр исә шағули истигимәтдә дағы дәрәни гатларда кедир. Бу да һәмин биткиләрин рүту-бәт вә алт гатларда олар гидрологияндән истифада етмәсингә шә-рант յарадыр.

Чохиллик пахлалы от биткиләрниң көк күтләсін әсасен торпагын



I-чи шәкил. Хашаның 2-чи ил көк системи.

Чохиллик пахлалы от биткиләрниң еrozија уграмыш торпагда
көк күтләсінин топланмасы (на/сент-лә)

Сәнни мүлдәті	Варианттар	Нұмұна котүрүлән пәләр	Нұмұнашын көтүрүлдүй жағдайы, см-да		
			0—10	20—20	20—30
Іюнь, 1966	иәзарәт (тәбии от саңа-сан)	1966	7,50	1,20	1,20
		1967	12,75	10,25	5,75
		1968	13,83	11,30	6,82
	хаша	1966	17,15	9,00	5,25
		1967	48,00	22,50	7,75
		1968	53,00	25,30	10,25
	Іонча	1966	10,50	7,00	4,25
		1967	38,25	15,50	8,25
		1968	41,00	10,40	9,50
	хаша+Іонча	1966	14,75	4,75	3,25
		1967	43,75	17,00	11,50
		1968	45,00	18,50	12,30
Пајыз, 1966	иәзарәт (тәбии от саңа-сан)	1967	8,60	3,50	2,40
		1968	9,75	4,30	3,50
	хаша	1967	22,00	10,50	6,25
		1968	49,60	25,50	11,63
	Іонча	1967	13,50	10,00	6,75
		1968	39,15	16,60	9,00
	хаша+Іонча	1967	18,00	9,25	5,25
		1968	44,00	19,20	11,90

кил едири. Бу һал әкилмеш дикәр от биткиләриндә дә мүшәнилә единишdir. Һәмmin биткиләрин јерли шәрайтдә үстүнлүгү одур ки, көк күтләсін әсасен торпағын үст гатында топланып вә торпағы сәттін јуулмадан горујур.

Тәчүбәләр көстәрмишdir ки, бурада пајызды сәпилән хаша вә јончанын көк күтләсінин мигдары илдән-илә артмагла јаз сәпининә нисбәтән торпаға чохлу мигдарда биокутлә верир (2-чи шәкил).

2-чи шәкил. Иллик пахлалы от биткиләринин көк күтләсінин торпагда топланмасы (0–30 см-дә һавада гуру чакиси). 1—иазарәт; 2—хаша; 3—јонча; 4—хаша+јонча.

Лакин пајыз сәпининин бириңчи или хаша алтында 39,3, иккичи или 86,6, јонча алтында уйғун сурәттә 30,25–65,0, хаша илә јонча алтында исә 31,5–75,10 сант/га олмушдур. Нәзарәт саһәдә (от әкилмәши тәбии саһәдә) бу мигдар 10–28–32 сант/га-ны тәшкил етмишdir.

Лакин пајыз сәпининин бириңчи или хаша алтында 39,3, иккичи или 86,6, јонча алтында уйғун сурәттә 30,25–65,0, хаша илә јонча алтында исә 31,5–75,10 сант/га олмушдур. Нәзарәт саһәдә (от әкилмәши тәбии саһәдә) көк күтләсінин мигдары мұвағиғ оларғ 14,0–17,5 сант/га иди.

Көрүндүү кими, нәзарәт саһәдә дә тәбии от биткиләринин көк күтләсінин мигдары илдән-илә артмышдыр. Бунун сәбәби тәчүрүбә саһәсінин горунмасы вә һәмmin биткиләрин мәһв едилмәмәсидir. Бунуна әлагәдәр, тәбии от өртүү бәрпа олунмуш, иәтичәдә исә торпагда көк күтләсінин мигдары артмышдыр. Лакин әкилмеш чохиллик пахлалы от биткләринин көк күтләсі тәбии саһәжә нисбәтән 5–6 дәфә чох олмушдур. Бу да һәмmin биткиләрин үстүнлүгүнүү көстәрән ән башлыча амилләрдәндир.

Тәчүбәнин иәтичәсіндән айылашмышдыр ки, ерозија уграмыш торпагларда биокутләнин мигдарыны артырмаг, онда чүрүнүү маддәләри яритмаг вә ejini заманда, ерозија просесинин гарышсыны алмаг үчүн һәмmin торпагларда чохиллик пахлалы от биткиләринин әкилмәсінин бөյүк ролу вардыр. Хаша биткиси һәмmin саһәдә јаҳшы инкишаф етдијиндән вә јончаја нисбәтән торпагда даңа чох көк күтләсі вердијиндән бу биткинин кениш саһәләрдә әкилмәси мәсләһәтдир.

Ерозија белмасы

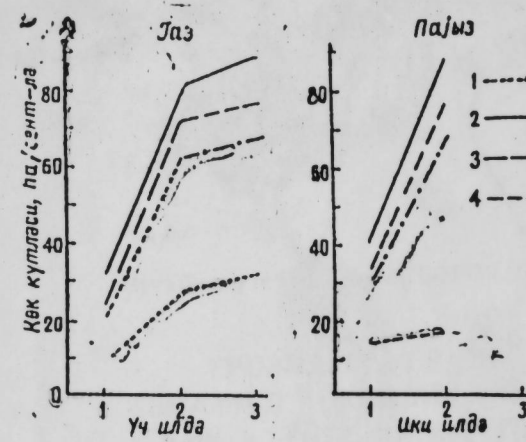
Алыннышдыр 17. III 1970

К. А. Алекперов, Ш. Г. Гусейнов

Накопление корневой массы на посевах многолетних бобовых трав на эродированных почвах

РЕЗЮМЕ

На среднеэродированной разности горно-лесной коричневой остеиной почвы Дивичинского района были заложены опыты с посевом эспарцета, люцерны и их смеси, в два срока — весенний и осенний.



Опытами установлено, что более 50% корневой массы накапливается в верхнем 0–10-сантиметровом слое почвы.

Многолетние бобовые травы на второй и третий годы дают большие корневые массы по сравнению с первым годом своего развития.

Общее количество ее на опытном участке было в 5–6 раз больше, чем в контроле (естественная растительность).

Как видно из изложенного, многолетние бобовые травы из года в год накапливают большое количество корневых остатков, тем самым способствуют повышению плодородия почв и создают зернистую структуру.

K. A. Alekperov, S. G. Guseynov

Accumulation of root hears of perennial bean nervs in the erosion soils of sowing areas.

SUMMARY

In this article an account of experiments results an accumulation of poot heaps by perennial herbs in the erosian soils in the North—Easentern of Great Caucasus is given.

Perennial bean herbs accumulate a lot of root remains and year bu year they promote the rise of soils fertility and build the grain structubne

ШЭРГШҮНСЛҮҮ

ӘБҮЛФӘЗ РӘНІМОВ

ЭБДИ ШИРВАНИ, ІАХУД ЭБДИ БАКУЈІ

(Азәрбајҹан ССР ЕА академики Ә. Ә. Әлизадә тәгдим етмисидир)

Экәр орта әсрләрдә йазылыш тәзкирәләри, тарих китабларының вә мұасир тәдгигат әсәрләрини нәзәрдән кечирсәк, мин илдән артыг тарихе малик Бакы шәһәриндә онларла алим вә шаирин јетишдијинин шаһиди оларыг. Мә'лумдур ки, һәмн алымләр, шаирләр өз әсәрләрини әсасән әрәб, фарс дилләриндә йазыш, әксәрийїтинин әсәрләри дөврүмүзә гәдәр бүтүнлүклә қәлиб чатмамыш, чох аз бир һиссәси чап вә тәрчүмә олунмушдур. Бу алим вә шаирләрин әксәрийїтинин һәјат вә јарадычылығы һаггында һеч бир тәдгигат иши апарылма-мышдыр.

Гејд етмәк лазымдыр ки, если Бакыдан олан алым вә шаирларни бә'зиләри мүхтәлиф сәбәбләре көрә өз дөгма јурдларындан айрылып Яхын вә Орта Шәргин бир сыра шәһәрләринә мүһачирәт етмиш, бәтәндән узагларда Яашајыб юратмышлар. Буна көрә дә әслән бакылы алым вә шаирләрин һәјаты, дөгулдуғу јер нағгында мәнбәләрдә бә'зән зиддијәтли гејдләре, мә'лумата раст кәлирик.

Тәдгигатчы мә'хәзләрдә һәр һансы бир алым вә шаирин бакылы олмасы һаггында мә'лумата тәсадүф етдиңдә ejni адлы, яхуд ejni тәхәллүслү сәнәткарларын hәјат вә յарадычылығыны диггәтлә изләмәли, мүгајисә етмәли, соңра нәтичә чыгармалыдыр. Мүгајисә заманы hәмин алым вә шаирләrin мұасиrlәrinин вә онлара нисбәтән яхын бир дөврдә յашајанларын гејдләри әсас көтүрүлмәлидир. Чүнки һәр һансы бир мүәллиф өз мұасири һаггында даһа дәгиг мә'лumat верә биләр.

Эслэн бакылы олан вэ мәңсубијїети һаггында зиддијїетли мә'лүм верилэн шаирләрдән бири дә Әбди Бакујидир. Шаирин дөгүлдуғы ил, ады вэ атасынын ады мә'лүм дејилдир. Әбди онун тәхәллүсү, Бакуји исә нисбәсі, жәнни мәңсуб оддуғу һөри билдірілді.

Эбди нағында илк дәфә гејд едән алимләримиздән бири А. Бакы-
хановдур. О, „Күлүстани-ирәм“ адлы әсәриндә азәрбајчанлы алим вә
шәирләрдән бәһс едәркән Эбди Ширвани нағында յазмышдыры: „Пак
е'тигадлы зәриф бир киши олмушдур. Хәттат вә көзәл тәб'ә малик
олмагла бәрабәр шәтрәнч ојууну да jaxшы оңармыш“!¹

А. Бакыханов шаирин шे'рләриндән нымунә оларға фарсча „Мән“ рәдиофли гәзәлиндән бир бејт вермишdir.²

¹ А. Бакытханов. Құлустани-ірәм, Бакы, 1951, сәх. 217.
² Женә орада.

2 Јенс орада.

Тәдгигат иәтичәсинаң мә’лүм олмушшур ки, А. Бакыханов Әбди һаггындакы мә’луматы Әмин Әһмәд Разинин һичри 1002 (1593—1594)-чи илдә јаздығы „Һәфт иглим“ әсәриндән көтүрмушшур.³ „Һәфт иглим“-дә Әбдинин ше’рләриндән икى бејт нұмуна е верилшишdir. Һәмин икى бејтдән бири елә „Мән“ рәлифли гәзәллиң бејтидир ки, А. Бакыханов бу бејти өз әсәринде нұмуна е верилшишdir.

Мәһәммәдәли Тәрбијәт Әбди Ширваниң һағында бәһс едәркән көстәрир ки, о, хош хәтлә յазар, յашы шаһмат ојнајарды. Ширин дилли, көзәл сөзлү шаир или. Гәзәл յазмагда өз дөврүндә әвәзсиз олмуш вә гәзәлчilikдә Әһли Ширазаниң үслубуну давам етдиришишdir. Әбди Ширваниң һичри 975-чи илдә, тәгрибән 40 յашларында Тәбризин յахынылығында вәфат етмишишdir.¹

М. Тәрбијәт шаири ше'рләриндән 4 бејт нүмүнә вермишdir. Нүмүнәнин 3 бејти шаири „Нәбүд“ рәдифли гәзәлиидән, бир бејт исә „Һәфт иглим“ вә „Күлүстәни-ирәм“ дә нүмүнә верилмиш „Мән“ рәдифли гәзәлии бејтидир.⁵ Демәли, Эмин Эһимәд Рази, А. Бакыханов вә М. Тәрбијәт ейни шаир һаггында мә'лумат вермишdir.

Шәргин Әбәргүн. Исфанаи, Бухара, Тәбриз, Гонабад, Һејдәрабад, Рәж. Рәшт, Сәмәрғәнд, Бакы, Шүштәр, Шираз, Нишапур, Һерат вә с. шәһірләrinдә дөгүлмүш 20-дән артыг шаир өз шे'рләrinни Әбди тәхәллүсү илә јазмышдыр⁶. Бунларын тәгребән јарысы XV—XVII әсрләрдә јашамышдыр. Әбди тәхәллүслү шаирләрдән ялныз бир нәфәри—Хачә Зејналабидин Әли (Нәвиди) Әбди бәј Ширази (1515—1580) Низами әдәби мәктәбинин дағамчысы кими шеһрәт тапмышдыр. Чүники о, Низами „Хәмсә“си мугабилиндә уч „Хәмсә“ јаратмышдыр.

Әбди тәхәллүсү шаирләгүн әксәрийјәти өз ше'рләrinи фарсча жазмышдыр. Чох аз шаир бә'зән өз ана дилиндә—азербајчан, түрк, өзбек дилләриндә бир кечә гәзәл жаратмышдыр. Хачә Зејналабидин Әли (Нәвиди) Ширази истисна олмагла, Әбди тәхәллүсү шаирләрлән һеч биригинин һәјат вә жарадычылығы тәдгиг едилмәмиш вә ше'рләри топланыбы чап олунмамышдыр. Буна көрә дә Әбди тәхәллүсү илә жазылмыши һәр һансы бир лирик ше'рә раст қәлдикдә онун һансы Әбди тәрә-финдән жазылдығыны тә'жин етмәк чох җетиңдир. Әлбеттә, әкәр Әбди тәхәллүсү илә орта әсрләрдә жазылмыш бүтөв бир ше'р диванына раст қәлсәк вә һәмин диванды тәзкирәчиләрни нұмуна вердижи бейтләри тапсаг, бу заман һәмин диванын һансы Әбдијә мәхсус олдуғуну тә'жин едә биләрик. Белә бир мејарла нағгында бәһс олунаң Әбдинин ширванлы, յахуд бакылы олмасыны субут етмәк мүмкүндүр.

Ширваншаһларының идарә етдији әрази орта әсрләрдә йазылмыш мұхтәлиф әсәрләрдә Ширван қими јад едилдијиндең бу әразидә Іашајан алим вә шаирләрин бә'зиләринин Шамахыда дөгулмамаларына бахмајараг, онлара Ширвани иисбәси верилмишdir. Тәсадүфи дејиллар ки, Эмин Эһмәд Рази бешинчи иғлим дахил етдији Ширван нағында үмуми мә'лumat вердикдән соңра бу шаһлығын шәһәрләре сырасында Бакы, Әрәш, Шамахы вә Гәбәлә барәдә мә'лumat вермишdir⁷. Эмин

^۳ امین احمد رازی، «هفت اقلیم»، جلد سوم با تصحیح و تعلیق حواد فاضل، تهران، ص ۲۹۷.

محمد علی تربیت، «دانشمندان آذربایجان»، تهران، ۱۳۱۴ ش؛^۴ ۲۶۸-۲۶۹

5 Јенэ·орада.

^٦ خیامپور، «فرهتگ سخنواران»، تبریز، ۱۳۴۰ ش، ص ۳۸۲-۳۸۳.

⁷ Эмили Эймад Рази, Һәфт иглім, III чылд, сәх. 268—269.

Эһмәд Рazi Ширваншаһларының әразисинде јетишмиш шаирләрдән бәһс
еңдәркән онлардан бә'зиләринин, о чүмләдән Эбдинин нарадан олмасы
нағгында бир шеј йазмамышдыр⁸. Демәли, Эминиң Эһмәд Рazi нағгында
бәһс едилән бу Эбдини аичаг Ширван әразисинде јетишмиш бир
шаир кими вермишdir.

шайр кими бермешдир.
Элауддөвлө Ками Гэзвинийн үичри 973 (1565—1566)-чу илдэ Жаз-
маға башладығы „Нәфаисул-мәасир“ адлы тәэкирәснидэ Әбди Бакуји
адлы бир шаирдән бәһс олуңур. Қөстәрилир ки, Әбди Бакуји хош
тәбиэтли, пак ётигадлы бир киши иди. Онун көзәл ше’р йазмаг га-
былийжети варды. О, настә’лиг хәттини көзәл йазар вә յахши шаһмат
ојнајарды. Бир мүддәт Кабулда Нәгшбәндиләрин хидмәтиндә олмушшур.
Нәһајэт, Килаңа кәлмиш вә Килаң һакими Ханәһмәд она бөյүк һөрмәт
қәстәрмишдир. Ханәһмәд онунла сөһбәт едәр вә шаһмат ојнајармыш.
Әбди Бакуји үичри 964-чу илдэ Гэзвинә кәлмиш вә бир илдән сон-
ра вәфат етмишдир⁹.

Ками Гэзвинин шаирийн мүхтэлиф ше'рлэрийдэй 24 бэйт нүүмнэ вер-
миш вэ 31 бэйтгүй бир „Сагинамэ“ синий эсэрийн салмышдыр¹⁰. „Сагинамэ“
дэй сонира Ками Гэзвинин өз һэмжерлисий һэмдүүллах Гэзвининийн „Нүзгээт-
үл-гүлүб“ эсэрийн эсасланыраг бир дахаа Бакы шэхэри һаггында
мэ'лумат вермишдир¹¹.

Ками Гэзвининий нүүмнэ вэрийн 24 бејтийн ичарисиндэ Эмийн Эхмэд Ризи, А. Бакыханов вэ М. Тэрбијэтиний нүүмнэ вэрийн "Мэн" радиофильгээний бејтийн дэвшир. Демэли, тэр дөрд мүэллийн ежийн шандын бэхжүүтэй шандын бэхжүүтэй.

„Нәфисүл-мәасир“дәки мә’луматын иисбәтән кенишшлиji, кәтирилән нұмунаеләр чохлуғу вә һәмчинин мәнтиги мұһакимәjә әсасланараг демек олар ки, Ками Гәзвинни Һиндистана кетмәмишдән әvvәл һичри 964 (1556—1557)-чү илдә Гәзвинә қалмыши. Әбди илә шәхсән көрушмүш вә тәэскирәсіндә нұмуна вердиji ше’рләри билаваситә шаирии өзүндән алмышдыры.

Мәһәммәд Гүдрәтүллаһ Гүпамуji „Нәтајиҹүл-әфкар“ адлы тәзкирәсендә Молла Эһди Бакуji адлы бир шаирдән баһе сәдәркән көстәрмишdir ки, Молла Эһди Бакуji Иранни нәстә'лиг хәттини јашы зарды. Өз вилајәтиндән Кабула сәјәхәт етмиш вә Ханәһмәд Киланинин иәвазинине наил олмушdir. О, һичри 9 һәм 10-чи илдә вәфат етмишdir.¹² Мәһәммәд Гүдрәтүллаһ шаирин ше'рләринә нүмунә олараг „Мән“ рәдифли гәзәлининдән Ками Гәзвини, Эмини Эһмәд Рави вә башгаларынын нүмунә кәтирдији бејти вермишdir. Демәли, һинд алиминин Молла Эһди Бакуji Иранни дејә тәгдим етдији шаир елә Эбди Бакуилир.

Гејд етмәк лазыымдыр ки, Иран алымләриндән мәрһүм Сәид Нәфиси соң әсәриндә бир нечә Әбди тәхәллүсү шаир һәггында мә'лumat вермишdir. О, Әбди Ширвани һәггында мә'лumat вераркән көстәрмешdir ки, хошхәтли, шаһматда устад вә суфи хасијәтли иди, Әбди Ширази үслубунда устаданә гәзәлләр Іазарды. 40 йашларында, һичри 975-чи илдә Тәбриздә вәфат етмишdir.¹³

⁸ Эмий Эймэд Раzi. Һафт иглим, III, чилд, сәһ, 297.

«**کامى قزوينى، نيفايس الماثر**»، вәрәг, 136а, б. Өзбекистан ССР Елмләр Академијасы Биоруни анына Шәргшүнаслыг Институтунун китабханасындаки әлжазамынын (инв. №800) шәхен китабханамыздаки фотосурәти.

10. Јенэ орада, вэрэг 1366—1376.

“Ками Гээвийн. Нэфансүл-мэасир, вэрэг 137 б.

^{۱۲} محمد قادر اللہ گوپاہوی، «نتایج الافکار»، بمبئی، ۱۳۳۶ ش، ص ۴۶۶
^{۱۳} سعید نعیسی، «تاریخ نظم و نثر در ایران و در زبان فارسی تا پایان
^{۱۴} دهن هجری» جلد ۲، تهران، ۱۳۴۴ ش، ص ۷۰۱

Проф. Сәид Нәфиси Әһди Бакуји һаггында бәһс етдикдә յазыр ки, хошхәтли иди вә иәстә́лүг хәттини йаҳши җазарды. Бакыдан Кабула вә соңра Килана кетмиши вә Ханәһмәдин һүсн-рәғбәтини газамышдыр. Һичри 965-чи илдә вәфат етмишидир. О, гәзәл җазарды¹⁴. Проф. Сәид Нәфиси һаггында бәһс етдији шаирләрин, о чүмләдән Әбди Ширвани вә Әһди Бакујинин ше'рләриндән иүмүнә вермәшишdir. Лакин шубнә јохдур ки, о, бир нечә Әбди тәхәллүслү шаир һаггында сәһиф, зидлијәтли мә’лumat вердији кими,¹⁵ ejni бир шаир—Әбди Бакуји барадә дә йанлыши олараг Әбди Ширвани вә Әһди Бакуји сәрлөвһәләри алтында ики дәфә бәһс етмиш вә онлары ики мұхтәлиф шаир кими танытдырышмышдыр.

Бұтүн Іұхарыдақылара іекуи вурараг демәк олар ки, Әбди Бакуји һағында иисбәтән кениш, дәғиг мә'лumat верән вә ше'рләриндән да-ха чох нұмунә көстәрән онуи мұасири Ками Гәзвининин вердији мә'лу-мат даңа е'тибарлы вә дүзкүндүр. Даңа дөгрүсү, сонракы мүәллифләрин әсәрләриндә Әбди Ширвани, յаҳуд Әбди Бакуји кими танытдырылан шаир Әбди Бакујидир. Лирик шаирләrimizdән бири олай Әбди XVI әсрин әvvәлләриндә Бакы шәһәrinde анадан олмушшур. О, кәнч յаш-ларында Кабула кедиб, мәшіур Нәғшбәни тәрігәтинин мүрилләриндән олмуш; сонра исә Килана кәлмиш вә Килан һәкими Ханәһмәд ханын рәғбәтини газанмышдыр. Өз дөврүндә шаһмат ојунунун ән յаҳши усталарындан бири несаб олунаи Әбди Бакуји һичри 964 (1556—1557) чү иллә Сәфәви дөвләтини пәjtahты олай Гәзвин шәһәрине кәлмиш вә орада бир ил յашадыгдан сонра вәфат етмишидир.

Жаңын өз Орта Шарг Халгалары Институту

Алымышиш 12. XII 1968

Абульфаз Рагимов Абди Ширвани или Абди Бакуи

PE3IOME

В статье рассматривается вопрос о происхождении поэта-лирика XVI в. Абди Бакуи.

Ряд антологов и исследователей ошибочно именуют Абди Бакуи — Абди Ширвани или же Ахди Бакуи. Автор, основываясь на точных сведениях современника поэта — Ками Газвиини, научно доказывает, что Абди является выходцем из Баку.

A. H. Rahimov

Abdi shirvani or abdi Bakui
SUMMARY

The paper deals with one of the Azerbaijan poets of the 16th century, who is known under the name of Abdi Shtrvant or Abdi Bakul. In the paper it is stated that the poet was from Baku by his origin.

И. Саид Назиев и көстөрүлән әсәри, с. 702

14 Сәйд Нәфиес и көтөрмөлөрдөрдөн берилгандар
15 Бу негсанлар нағында бах: Ебүлфәз Рәhimов. Сәйд Нәфиес, Иран-
да иң фарс дилинде наәм иш наәр тарихи, „Азәрбајҹан: ССР Еллар Академијасынын
Хәбәрләри”, № 1 (тарих, фәлсәфә иш һүгүг серијасы), 1968, с. 118—126.

On the time of rise of the state of Atropatena

SUMMARY

There exists an opinion in scientific and school literature, that the state of Atropatena arose after the catastrophe of Ahemenids, or after the destruction of the imperia of Alexandr the Great. The information by Polibee and other ancient authors enables us to consider that the state of Atropatena existed before these events.

МУНДЭРИЧАТ

Ријазијјат

И. К. Худавердијев. Бир синиф икничи тәртиб, саг тәрәфи гејри-хәтти оператор олан һиперболик типли тәнликләр үчүн гојулмуш гарышыг мәсәләнин тәдгиги 3

Б. С. Маммәдова. Бир синиф јүксәк тәртибли гејри-хәтти параболик типли тәнликләр үчүн соңлу областда гојулмуш бир өлчүлү гарышыг мәсәләнин умумиләшмиш вә классик һәлләрнин тәдгиги 8

Јарымкечирничиләр вә диелектрикләр физикасы

М. Д. Хомугова. Рекомбинасијон дајаиыгсызлыгына малик јарымкечирничиләр олан дөврдә дәјишеш чәрәjanын јарима имканлары һагында 14

Физика

Ф. Џ. Элијев, И. К. Каrimов, Ф. Р. Гочајев, Е. И. Калинин, Е. С. Крупников. CuS јарымкечирничисинин назик тәбәгәсисини ифрат-кечирчилији 18

М. И. Элијев, З. А. Чәфәров. Јүксәк лекирә олуныш CaSb кристалла-рында фонопларын сәпилмәси 20

Механика

Т. К. Н. Шантактийски. Актив-титрәмә үсүлүнүп мұхтәлиф мөйкәмлик вә деформасијалы хассәләрә малик олан бетонлара тә'сирі 24

Електротехника

Ч. М. Җуварлы, Г. А. Миронов. Симметрик магнитләшмә характеристикалы гејри-хәтти индуктивлијии дөврәде бағлайма режиминде чут һармоникләрнин јаримасы 29

Үзви кимја

Ф. В. Маммәдов, Ф. М. Тағыјева, Г. С. Колесников, Г. Т. Куркенидзе. Бутилкаучук вә акрилонитрил эсасында чалаг биркәполимерин синтези вә тәдгиги 33

С. Ч. Мендијев, Е. Т. Сүлејманова, М. Р. Мусајев, Л. И. Гасымов, М. И. Мирнәсанова. Һидроароматик алденидләрни метил-тилкетоила конденсләшмәси һагында 37

Гејри-үзви кимја

Р. Ә. Әбдулраһимова, П. Ф. Рязадә, А. Ә. Әбдуллаһимов. $(\text{NaAlO}_2 + \text{NaOH}) - \text{NaVO}_2 - \text{Na}_3\text{PO}_4 - \text{H}_2\text{O}$ вә $(\text{NaAlO}_2 + \text{NaOH}) - \text{Na}_2\text{SO}_4 - \text{Na}_3\text{PO}_4 - \text{H}_2\text{O}$ системинин һәллолмасынын 25°C -дә изотерми 41

Нефт қеолокијасы

Академик Ш. Ф. Мендијев, В. З. Симхажев. Ашагы Күр дүзәнилијинин аномал тәэзиги (Күровдағ ятагы үзрә) 47

Кеокимја

М. Э. Гашгай, В. А. Гриценко, Н. М. Заири. Катех колчедан-полиметал јатағы филизләриндә вә әтраф сүхурларында сульфидләрин күкүрдләринн изотоп тәркиби (Бөйүк Гафгазын чөнуб әтәји)	51
Палеонтология	
Л. Ч. Маммадова. Шымал-шәрги Азәрбајҹанын <i>Entosolenia</i> сармат фаунасынын жени нұмајәндәләри	59
Минералогия	
А. Э. Элијев. Мисирин чөнуб-шәрг сәһрасынын иадир метал тәзаһүрләриниң бириндәки пегматит дамарларында ярләшән колумбитләр нағында	63
Тектоника	
А. Б. Мощавили. Күровдаг-Нефтчала антиклинал зонасында гырышыгылыш әмәләкәтирең тектоник гүввәләрин характеристи	70
Итисадијјат	
Н. М. Мусаев. Нефт е'малы сәнајесиниң туллантыларындан јүнкүл бетон долдуручулары истеңсалының итисади сәмәрәлилији	75
Битки физиологиясы	
А. Н. Маммадов. Мұхтәлиф іемлик шәрәнтиндә минерал гида элемент-ләриниң памбығ биткисинде азотлу бирләшмәләрниң мигдарына тә'сирі	79
Торпагшұнаслығ	
С. Э. Элијев, Р. М. Гасымов. Торпагда жени әмәлә кәлән һумус бирләшмәсінин сәрбест радикалы	83
Мелиоратив торпагшұнаслығ	
С. А. Гурбанов. Жералты суларын сәвијјә дәренилијинин Азәрбајҹан ССР-ин Чәнуби Муган торпагларында дәјишилмәсі	87
Биокимја	
А. А. Рәчәбова, З. Э. Бекке, Н. Э. Мендиева. Бә'зи һифомит-сеттәрнің митселләрдәki дојмамыш бирләшмәләрниң назик тәбәгәлі хроматография үсулу иле мұгајисәли өјрәнілмәсі	91
Битки физиологиясы	
М. А. Элизадә, Џ. Н. Султанов. Дәмжә шәрәнтиндә жетишдирилмиш мұхтәлиф арпа вә бүғда сортларының ярпагларында су формаларының дәјишилмә хүсусијәтләри	97
Торпаг ерозијасы	
К. Э. Эләкбәров, Ш. Г. Һүсейнов. Ерозија уғрамыш торпагларда сәпілмеш чохиллик пахлалы от биткиләринин көк күтләсінин торпагда топламасы	100
Шәргшұнаслығ	
Әбулфәз Рәнимов. Әбди Ширвани, жаҳуд Әбди Бакуи	104
Тарих	
З. Ямпольски. Атропатена дәвләтинин јарандасы дөврү нағында	108

СОДЕРЖАНИЕ

Математика

К. И. Худавердиев. Исследование смешанной задачи для одного класса гиперболических уравнений второго порядка с нелинейной операторной правой частью

3

Б. С. Мамедов. Исследование обобщенного и классического решений одномерной смешанной задачи в конечной области для одного класса нелинейных параболических уравнений высокого порядка

8

Физика полупроводников и диэлектриков

М. Д. Хомутова. О возможности появления переменного тока в цепи с полупроводниковым образцом, обладающим рекомбинационной неустойчивостью

14

Физика

Ф. Ю. Алиев, И. Г. Керимов, Ф. Р. Годжаев, Е. И. Калинина, Е. С. Крупников. Сверхпроводимость пленки полупроводника CuS

18

М. И. Алиев, З. А. Джагаров. О рассеянии фононов в легированных кристаллах GaSb

20

Механика

Т. К. Шахтахтинский. Исследование влияния процессов виброактивации на прочностные и деформативные свойства бетонов

24

Электротехника

Ч. М. Джуварлы, Г. А. Миронов. Возникновение четных гармоник в режиме включения нелинейной индуктивности с симметричной характеристикой намагничивания

29

Органическая химия

Ф. В. Мамедов, Ф. М. Тагиева, Г. С. Колесников, Г. Т. Гургенидзе. Синтез и исследование привитого сополимера на основе бутилкаучука и акрилонитрила

33

С. Д. Мехтиев, Э. Т. Сүлейманова, М. Р. Мусаев, Л. И. Касумов, М. И. Миргасanova. О конденсации гидроароматических альдегидов с метилэтилкетоном

37

Неорганическая химия

Р. А. Абдулрагимова, Р. Ф. Рязаде, А. А. Абдурагимов. Изотермы растворимости систем $(\text{NaAlO}_2 + \text{NaOH}) - \text{NaNO}_3 - \text{Na}_3\text{PO}_4 - \text{H}_2\text{O}$ и $(\text{NaAlO}_2 + \text{NaOH}) - \text{Na}_2\text{SO}_4 - \text{Na}_3\text{PO}_4 - \text{H}_2\text{O}$ при 25°C

41

Геология нефти

Академик Ш. Ф. Мехтиев, В. З. Симхазев. Об аномальных давлениях Нижнекуринской впадины (на примере месторождения Кюровдаг)

47

Геохимия

Академики М. А. Кащакай, В. А. Гриценко, Н. М. Заири. Изотопный состав серы сульфидов и вмещающих пород Катехского колчедано-полиметаллического месторождения в Азербайджане (Южный склон Большого Кавказа)

51

Палеонтология	
Л. Д. Мамедова. Новые представители сарматской фауны <i>Entosolenia</i>	59
северо-восточного Азербайджана.	
Минералогия	
А. А. Алиев. О колумбитах из пегматитовых жил одного из редкometальных проявлений Юго-Восточной пустыни Египта.	63
Тектоника	
А. Б. Машвили. Характер тектонических сил, образующих складчатость антиклинальной зоны Кюровдаг — Нефтчала	70
Экономика	
Г. М. Мусаев. Экономическая эффективность производства легких заполнителей бетона на базе отходов нефтеперерабатывающей промышленности.	75
Физиология растений	
А. Н. Мамедов. Влияние минерального питания на содержание азотистых соединений у хлопчатника при различных условиях водообеспеченности.	79
Почвоведение	
С. А. Алиев, Р. М. Касимов. Свободные радикалы новообразованных гумусовых соединений почв.	83
Мелиоративное почвоведение	
С. А. Курбанов. Изменения высоты уровня грунтовых вод Южной Мугани Азербайджанской ССР.	87
Биохимия	
А. А. Раджабова, З. Э. Беккер, Н. А. Мехтиева. Сравнительное изучение методом тонкослойной хроматографии ненасыщенных соединений из мышечного гифомицетов.	91
Физиология растений	
М. А. Ализаде, Я. Г. Султанов. Особенности изменений форм воды в листьях сортов зерновых, выращенных в условиях богары.	97
Эрозия почв	
К. А. Алекперов, Ш. Г. Гусейнов. Накопление корневой массы на посевах многолетних бобовых трав на эродированных почвах.	100
Востоковедение	
Абульфаз Рагимов. Абди Ширвани или Абди Бакуи.	104
История	
З. И. Ямпольский. О времени возникновения государства Атропатена.	108

Сдано в набор 9/XI-71 г. Подписано к печати 15/II-1972 г. Формат бумаги 70×108 1/16.
Бум. лист. 3,63. Печ. лист. 9,93. Уч.-изд. лист. 8,3. ФГ 03009. Заказ 743
Тираж 770. Цена 40 коп.

Типография им. Рухуллы Ахундова Государственного Комитета Совета Министров
Азербайджанской ССР по печати. Баку, Рабочий проспект, 96.

ПРАВИЛА ДЛЯ АВТОРОВ

1. В «Докладах Академии наук Азербайджанской ССР» помещаются краткие сообщения, содержащие законченные, еще не опубликованные результаты научных исследований, имеющих теоретическое или практическое значение.

В «Докладах» не публикуются крупные статьи, механически разделенные на ряд отдельных сообщений, статьи полемического характера без новых фактических данных статии с описанием промежуточных опытов без определенных выводов и обобщений, работы непринципиальные, описательного или обзорного характера, чисто методические статьи, если предлагаемый метод не является принципиально новым, а также статьи по систематике растений и животных (за исключением описания особо интересных для науки находок).

Статьи, помещаемые в «Докладах», не лишают автора права последующей публикации того же сообщения в развернутом виде в других изданиях.

2. Поступающие в «Доклады» статьи рассматриваются Редакционной коллегией только после представления их академиком по специальности. Каждый академик может представить не более 5-ти статей в год.

Статьи членов-корреспондентов Академии наук Азербайджанской ССР принимаются без представления.

Редакция просит академиков при представлении статьи указывать дату получения ее от автора, а также наименование раздела, в котором статья должна быть помещена.

3. В «Докладах» публикуется не более трех статей одного автора в год.

4. В «Докладах» помещаются статьи, занимающие не более четверти авторского листа — около 6—7 страниц машинописи (10 000 печатных знаков), включая рисунки.

5. Все статьи должны иметь резюме на английском языке; кроме того, к статьям, написанным на азербайджанском языке, должны иметь: резюме на русском языке и наоборот.

6. В конце статьи должны быть указаны название научного учреждения, в котором выполнена работа, и номер телефона автора.

7. Опубликование результатов работ, проведенных в научных учреждениях должно быть разрешено дирекцией научного учреждения.

8. Статьи (включая и резюме), должны быть напечатаны на машинке через два интервала, на одной стороне листа и представляются в двух экземплярах. Формулы должны быть вписаны четко и ясно, при этом прописные буквы должны быть подчеркнуты (черным карандашом) двумя черточками снизу, а строчные — сверху, буквы греческого алфавита надо обводить красным карандашом.

9. Цитируемая в статье литература должна приводиться не в виде подстрочным списком, а общим списком (вподбор), в алфавитном порядке (по фамилии автора), в конце статьи с обозначением ссылки в тексте порядковой цифрой. Список литературы должен быть оформлен следующим образом:

а) для книг: фамилия и инициалы автора, полное название книги, номер тома, город, издательство и год издания;

б) для статей в сборниках (трудах): фамилия и инициалы автора, название статьи, название сборника (трудов), том, выпуск, место издания, издательство, год, страница;

в) для журнальных статей: фамилия и инициалы автора, название статьи, название журнала, год, том, номер, (выпуск), страница.

Ссылки на неопубликованные работы не допускаются (за исключением отчетов и диссертаций, хранящихся в научных учреждениях).

10. На обороте рисунков должны быть указаны фамилия автора, название статьи и номер рисунка. Отпечатанные на машинке подписи к рисункам представляются на отдельном листе.

11. Авторы статей должны указывать индекс статьи по Унифицированной десятичной классификации (УДК) и прилагать реферат для «Реферативного журнала».

12. Авторы должны избегать повторения одинаковых данных в таблицах, графиках и в тексте статьи.

Ввиду небольшого объема статей выводы помещаются лишь в необходимых случаях.

13. В случае представления двух или более статей одновременно необходимо указывать желательный порядок их помещения.

14. Корректура статей авторам как правило не посыпается. В случае посыпки корректуры допускается лишь исправление ошибок типографии.

15. Редакция выдает автору бесплатно 15 отдельных оттисков статьи.

СОВЕТСКАЯ АЗБУКА

Советская азбука — это не просто книга для чтения, это целый мир знаний и интересов. В ней собраны материалы по истории, географии, экономике, политики, науке, технике, культуре и многим другим темам. Книга написана в доступном и интересном для детей и юношества стиле. Важной особенностью советской азбуки является то, что она не только передает информацию, но и воспитывает патриотические чувства и любовь к родине. Книга поможет вам лучше узнать нашу страну и ее величие, а также научиться читать и писать русский язык. Советская азбука — это не просто книга, это настоящий помощник в обучении и развитии.